

АЗЭРБАЙЧАН ССР ЕЛМЛЭР АКАДЕМИЈАСЫ  
АКАДЕМИЯ НАУК АЗЕРБАЙДЖАНСКОЙ ССР

---

# МЭРҮЗЭЛЭР ДОКЛАДЫ

ТОМ ХХII ЧИЛД

4

---

АЗЭРБАЙЧАН ССР ЕЛМЛЭР АКАДЕМИЈАСЫ НЭШРИЛЛАТЫ  
ИЗДАТЕЛЬСТВО АКАДЕМИИ НАУК АЗЕРБАЙДЖАНСКОЙ ССР

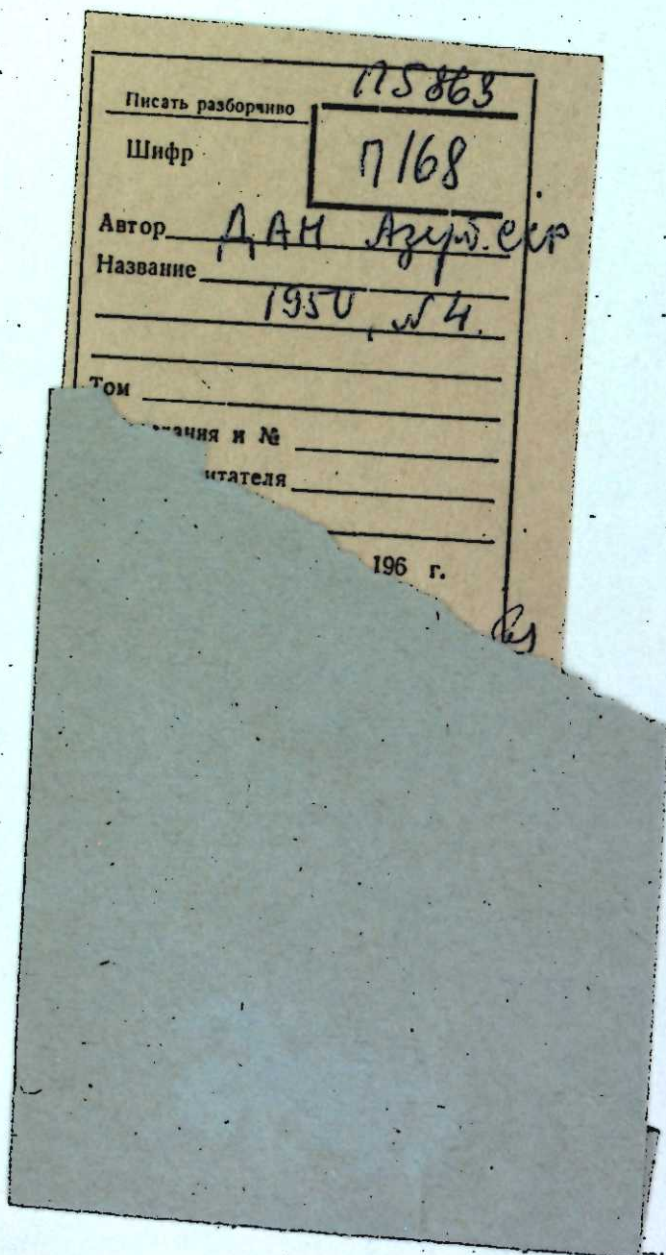
Бакы—1966—Баку

АЗЭРБАЙЧАН ССР ЕЛМЛӘР АКАДЕМИЈАСЫ  
АКАДЕМИЯ НАУК АЗЕРБАЙДЖАНСКОЙ ССР

# МӘРУЗӘЛӘР ДОКЛАДЫ

ТОМ XXII ЧИЛД

№ 4



АЗЭРБАЙЧАН ССР ЕЛМЛӘР АКАДЕМИЈАСЫ НӘШРИЈАТЫ  
ИЗДАТЕЛЬСТВО АКАДЕМИИ НАУК АЗЕРБАЙДЖАНСКОЙ ССР  
БАКЫ—1966—БАКУ

МАТЕМАТИКА

С. Я. ЯКУБОВ

ИССЛЕДОВАНИЕ ЗАДАЧИ КОШИ ДЛЯ ДИФФЕРЕНЦИАЛЬНЫХ  
УРАВНЕНИЙ ГИПЕРБОЛИЧЕСКОГО ТИПА В БАНАХОВОМ  
ПРОСТРАНСТВЕ

(Представлено академиком АН Азербайджанской ССР З. И. Халиловым)

1. Рассмотрим квазилинейное уравнение

$$\frac{d^2u(t)}{dt^2} + A(t)u(t) = f\left(t, u(t), \frac{du(t)}{dt}\right) \quad (1)$$

с начальными условиями

$$u(0) = u_0, \quad u'(0) = u_1, \quad (2)$$

где  $u(t)$ —вектор-функция со значениями из банахова пространства  $E$ .

Решением задачи (1)–(2) на  $[0, T]$  будем называть дважды непрерывно дифференцируемую на  $[0, T]$  функцию  $u(t)$ , удовлетворяющую при каждом  $t \in [0, T]$  уравнению (1) и начальным условием (2), обладающую кроме того тем свойством, что функции  $A(t)u(t)$ ,

$A^{\frac{1}{2}}(t)\frac{du(t)}{dt}$  непрерывны на  $[0, T]$ . Под  $A^{\frac{1}{2}}(t)$  мы здесь и в дальней-

шем понимаем любой квадратный корень из оператора  $A(t)$ , т. е.

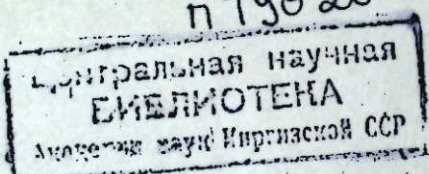
$$A^{\frac{1}{2}}(t) A^{\frac{1}{2}}(t) = A(t).$$

Целью этой статьи является доказать разрешимость задачи (1)–(2) в банаховом пространстве при таких предположениях, которые позволяют охватить гиперболические уравнения. Изучение уравнения (1) в банаховом (а не в гильбертовом) пространстве позволяет рассмотреть в приложениях гораздо более широкий класс квазилинейных уравнений в частных производных гиперболического типа. Аналогичные результаты для частных случаев уравнения (1) получены в [1, 2].

При помощи замены  $V_1(t) = \frac{1}{2} \left[ iA^{\frac{1}{2}}(t)u(t) + u'(t) \right]$  и  $V_2(t) = \frac{1}{2} \left[ -iA^{\frac{1}{2}}(t)u(t) + u'(t) \right]$  задача (1)–(2) сводится к эквивалентной задаче Коши для уравнения первого порядка

РЕДАКЦИОННАЯ КОЛЛЕГИЯ: З. И. Халилов (главный редактор), Ш. А. Азиз-  
беков, В. Р. Волобуев, Д. М. Гусейнов, И. А. Гусейнов, М. А. Дадашзаде (зам. глав-  
ного редактора), М. А. Далин, Ч. М. Джуварлы, С. М. Кулиев, М. Ф. Нагиев (зам.  
главного редактора), М. А. Топчибашев, Г. Г. Зейналов (ответственный секретарь).

Адрес: г. Баку, Коммунистическая, 10. Редакция «Докладов Академии наук  
Азербайджанской ССР».



$$\frac{dV(t)}{dt} + A(t)V(t) = F(t, V(t))$$

$$V(0) = V_0,$$
(3)

где

$$V = \begin{pmatrix} V_1 \\ V_2 \end{pmatrix}, V_0 = \begin{pmatrix} \frac{1}{2} [iA^{\frac{1}{2}}(0) + u_1] \\ \frac{1}{2} [-iA^{\frac{1}{2}}(0) + u_1] \end{pmatrix}, A(t) = \begin{pmatrix} iA^{\frac{1}{2}}(t) & 0 \\ 0 & -iA^{\frac{1}{2}}(t) \end{pmatrix}$$

и

$$F(t, V) =$$

$$= \begin{pmatrix} \frac{1}{2} [A^{\frac{1}{2}}(t)A^{-\frac{1}{2}}(t)(V_1 - V_2) + f(t, -iA^{-\frac{1}{2}}(t)(V_1 - V_2), V_1 + V_2)] \\ \frac{1}{2} [-A^{\frac{1}{2}}(t)A^{-\frac{1}{2}}(t)(V_1 - V_2) + f(t, -iA^{-\frac{1}{2}}(t)(V_1 - V_2), V_1 + V_2)] \end{pmatrix},$$

после чего к задаче (3) применяются результаты работы [3, 4].

**Теорема 1.** Пусть выполнены следующие условия:

1°. Оператор  $A^{\frac{1}{2}}(t)$  имеет не зависящую от  $t$  всюду плотную область определения  $D(A^{\frac{1}{2}}(t)) = D(A^{\frac{1}{2}})$ , и выполняется оценка

$$\|R(i\lambda, A^{\frac{1}{2}}(t))\| \leq \frac{1}{|\lambda|}$$

при всех действительных  $\lambda^*$ ;

2°. Оператор-функция  $A^{\frac{1}{2}}(t)A^{-\frac{1}{2}}(0)$  дважды сильно непрерывно дифференцируема на  $[0, T]$ ;

3°.  $u_0 \in D(A(0))$ ,  $u_1 \in D(A^{\frac{1}{2}})$ ;

4°. Оператор  $f(t, A^{-\frac{1}{2}}(0)V_1, V_2)$  на топологическом произведении  $[0, T] \times S(A^{\frac{1}{2}}(0)u_0, R) \times S(u_1, R)$ , где  $R$ -некоторое число, имеет непрерывные по совокупности переменных частные производные  $f_i(t, A^{-\frac{1}{2}}(0)V_1, V_2)$ ,  $f_{v_i}(t, A^{-\frac{1}{2}}(0)V_1, V_2)$  ( $i=1, 2$ ) (последние производные понимаются в смысле Фреше), удовлетворяющие по  $V_i$  ( $i=1, 2$ ) условию Липшица ( $f_i(t, A^{-\frac{1}{2}}(0)V_1, V_2)$  — по норме пространства  $E$ ,

\* Условие 1° является необходимым и достаточным условием для того, чтобы  $iA^{\frac{1}{2}}(t)$  порождал группу ограниченных операторов с нормой  $\left\|e^{itA^{\frac{1}{2}}(0)}\right\| \leq 1$ .

$f'_{v_i}(t, A^{-\frac{1}{2}}(0)V_1, V_2)$  — по норме пространства линейных операторов над  $E$ .

Тогда существует и притом единственное решение задачи (1)–(2) на некотором отрезке  $[0, t_0] \subset [0, T]$ , которое может быть найдено методом последовательных приближений.

При наличии линейной оценки у нелинейного оператора  $f(t, A^{-\frac{1}{2}}(0)V_1, V_2)$  доказывается нелокальная теорема существования и единственности.

**Теорема 2.** Пусть выполнены условия 1°, 2°, 3°, 4° теоремы 1, притом условие 4° имеет место при любом  $R$ . Пусть, далее существует число  $K > 0$ , такое, что в топологическом произведении  $[0, T] \times E \times E$  имеет место оценка

$$\|f(t, A^{-\frac{1}{2}}(0)V_1, V_2)\| \leq K(1 + \|V_1\| + \|V_2\|). \quad (4)$$

Тогда задача (1)–(2) имеет и притом единственное решение на  $[0, T]$ .

**Замечание 1.** Неравенство (4) нужно для получения априорных оценок  $\|A^{\frac{1}{2}}(t)u(t)\| \leq C$ ,  $\|u'(t)\| \leq C$ . Однако нелокальные теоремы могут быть получены и без (4), лишь бы были известны эти априорные оценки.

2. Рассмотрим линейное неоднородное уравнение

$$\frac{d^2u(t)}{dt^2} + A(t) \frac{du(t)}{dt} + B(t)u(t) + C(t)u(t) = f(t). \quad (5)$$

Из теоремы 2 вытекает следующая

**Теорема 3.** Пусть выполнены следующие условия:

1°. Оператор  $B^{\frac{1}{2}}(t)$  имеет не зависящую от  $t$  всюду плотную область определения  $D(B^{\frac{1}{2}}(t)) = D(B^{\frac{1}{2}})$ , и выполняется оценка

$$\|R(i\lambda, B^{\frac{1}{2}}(t))\| \leq \frac{1}{|\lambda|}$$

при всех действительных  $\lambda$ ;

2°. Оператор-функция  $B^{\frac{1}{2}}(t)B^{-\frac{1}{2}}(0)$  дважды сильно непрерывно дифференцируема на  $[0, T]$ ; оператор-функции  $A(t)$  и  $C(t)B^{-\frac{1}{2}}(0)$  сильно непрерывно дифференцируемы на  $[0, T]$ ;

3°. Вектор-функция  $f(t)$  непрерывно дифференцируема на  $[0, T]$ ;

4°.  $u_0 \in D(B(0))$ ,  $u_1 \in D(B^{\frac{1}{2}})$ .

Тогда задача (5)–(2) имеет единственное решение на  $[0, T]$ .

Задачи (1)–(2) и (5)–(2) в гильбертовом пространстве другими методами рассмотрены соответственно в работах [5–7] и [8–10].

Отметим, однако, что наши теоремы и для случая гильбертова пространства являются новыми и не вытекают из результатов упомянутых работ.

**Замечание 2.** Условия, наложенные нами на оператор  $A(t)$  (а в случае линейного уравнения на операторы  $A(t)$ ,  $B(t)$  и  $C(t)$ ) таковы, что задачу Коши можно ставить не только вперед, но и назад, что как раз и отражает специфичность гиперболических уравнений.

3. В качестве приложения рассмотрим следующую задачу Коши.

Найти функцию из пространства  $C^2(\Omega)$ ,  $\Omega = \{ |t| < T, -\infty < x < +\infty \}^*$ , удовлетворяющую квазилинейному уравнению гиперболического типа

$$\frac{\partial^2 u(t, x)}{\partial t^2} - \frac{\partial^2 u(t, x)}{\partial x^2} = f(t, x, u(t, x), \frac{\partial u(t, x)}{\partial x}, \frac{\partial u(t, x)}{\partial t}) \quad (6)$$

и начальным условиям

$$u(0, x) = u_0(x), \quad u_t(0, x) = u_1(x). \quad (7)$$

Рассмотрим в пространстве  $C[-\infty, +\infty]$  оператор

$$Au(x) = -\frac{d^2 u(x)}{dx^2},$$

с областью определения  $D(A) = \{u(x); u(x) \in C^2[-\infty, +\infty]\}$ . В [11] доказано, что оператор  $-iA^{\frac{1}{2}} = \frac{du(x)}{dx}$  с областью определения  $D(A^{\frac{1}{2}}) = \{u(x); u(x) \in C^1[-\infty, +\infty]\}$  порождает группу  $e^{-itA^{\frac{1}{2}}}$  сдвигов в пространстве  $C[-\infty, +\infty]$ , причем  $\|e^{-itA^{\frac{1}{2}}}\| = 1$ . Взяв за основу эти соображения и теоремы 1 и 2 этой заметки, доказываем следующую теорему.

**Теорема 4.** Пусть выполнены следующие условия:

1°. Функция  $f(t, x, v_1, v_2, v_3)$  непрерывна вместе со своими первыми производными по  $t$  и всем  $v_i$  в области  $\{ |t| < T, -\infty < x < \infty, |v_i| < R, i = 1, 3 \}$ , причем эти производные кроме того удовлетворяют по всем  $v_i$  условию Липшица;

2°.  $u_0(x) \in C^2[-\infty, +\infty]$ ,  $u_1(x) \in C^1[-\infty, +\infty]^{**}$ ;

Тогда, при некотором  $t_0 \in [0, T]$  задача (6)–(7) в пространстве  $C^2(\Omega_1)$ ,  $\Omega_1 = \{ |t| < t_0, -\infty < x < +\infty \}$  имеет единственное решение\*\*.

Если же функция  $f(t, x, v_1, v_2, v_3)$  кроме перечисленных условий в топологическом произведении  $\Omega_2 = \{ |t| < T, -\infty < x < +\infty, |v_i| < \infty \}$  имеет линейную можоранту, т. е.

$$|f(t, x, v_1, v_2, v_3)| \leq C \left[ 1 + \sum_{i=1}^3 |v_i| \right],$$

то задача (6)–(7) в пространстве  $C^2(\Omega_3)$ ,  $\Omega_3 = \{ |t| < T, -\infty < x < +\infty \}$  имеет единственное решение.

\*  $C[-\infty, +\infty]$  – есть пространство всех непрерывных функций вещественной переменной, для которых существуют оба предела  $\lim_{x \rightarrow \pm\infty} u(x)$ .

\*\* Очевидно, между  $R$  и начальными данными должно существовать соотношение  $R > \max \left( |u_0(x)|, |u_1(x)|, \left| \frac{du_0(x)}{dx} \right| \right)$ .

## ЛИТЕРАТУРА

1. Хилле Э., Филлипс Р. Функциональный анализ и полугруппы. ИЛ, 1962.
2. Якубов С. Я. ДАН Азерб. ССР\*, 1964, т. XX, № 4. З. Като Т., Journ. Math. Soc. Japan, 5, № 2, 1953. 4. Красносельский М. А., Крейн С. Г., Соболевский П. Е. ДАН СССР\*, 1956, III, № 1. 5. Browder F. E., Math. Zeitschr., 80, № 3, 1962. 6. Browder F. E. and Straus's W. A. Pacif. Journal of Math., 13, № 1, 1963. 7. Мамедов Я. Д. ДАН СССР\*, 1964, т. 158, № 1. 8. Вишник М. И. Математический сборник, 39(81), 1956, 51–148. 9. Ладыженская О. А. Математический сборник, т. 45, вып. 2 (87), 1958, 10. Дергусов В. И., Якубович В. А. ДАН СССР\*, т. 151, № 6, 1963, 1264–1267. 11. Даффорд Н. и Шварц Дж. Т. Линейные операторы. ИЛ, 1962.

Институт математики и механики

Поступило 10.VII 1965

С. Я. Якубов

Банах фәзасында һиперболик тип диференсиал тәнликләр үчүн Коши мәсәләсинин һәлли

## ХУЛАСЭ

Мәгаләдә (1)–(2) мәсәләси өјрәнилүр. Бурада  $u(t)$  гијмети  $E$  Банах фәзасындан олан ахтарылан вектор-функция,  $A(t)$  исә фәзада тә'сир едән гејри-мәһдуд оператордур.  $A(t)$  үзәринә гојулан шәртләр һиперболик тип хүсуси тәрәмәли диференсиал тәнликләри тәддиг өтмәјә имкан верир.

Мәгаләдә иккинчи тәртиб квази-хәтти һиперболик тип хүсуси тәрәмәли диференсиал тәнликләр үчүн гојулмуш Коши мәсәләсинин һәллини варлығы вә йеканәлији верилмишdir.

Р. А. БАЙРАМОВ

## ДВЕ ТЕОРЕТИКО-ГРУППОВЫЕ ТЕОРЕМЫ

(Представлено академиком АН Азербайджанской ССР З. И. Халиловым)

Напомним необходимые определения. Пусть  $G$ —произвольная группа. Замыканием  $[K]_G$  в группе  $G$  множества  $K \subseteq G$  называется совокупность всевозможных произведений (в смысле операции группы  $G$ ) элементов из  $K$ .

Подгруппа  $M$  группы  $G$  называется максимальной в  $G$ , если  $M \neq G$  и  $[M + \{g\}]_G = G$  при любом  $g \in G/M$  (знак  $+$  означает объединение непересекающихся множеств). Из определения, однако, не следует, что всякая группа обладает максимальными подгруппами. Конечная группа имеет максимальные подгруппы, причем каждая подгруппа содержится в некоторой максимальной подгруппе. Существуют и бесконечные группы с таким свойством.

Скажем, что система подгрупп  $N_i$  ( $i \in I$ ) группы  $G$  образует неприводимое покрытие для ее подгруппы  $M$ , если:

$$a) M \subseteq \bigcup_{i \in I} N_i, \quad b) M < \bigcup_{i \in I} N_i \quad (i \in I)$$

**Теорема 1.** Если подгруппы  $N_i$  ( $i \in I$ ) группы  $G$  образуют неприводимое покрытие для ее подгруппы  $M$ , то:

$$a) M = \bigcap_{i \in I} (M \cap N_i) + \left( \bigoplus_{\substack{j \in J \\ |J| > 2}} M \cap ((\bigcap_{i \in I} N_i) / (N_j)) \right);$$

$$b) \text{ если } M \cap ((\bigcap_{i \in I} N_i) / (N_j)) \neq \Lambda, \text{ то } M \cap ((\bigcap_{i \in I} N_i) / (N_j)) = \Lambda$$

$$v) m = |M \cap (\bigcap_{i \in I} N_i)| \leq m_1 = |M \cap ((\bigcap_{i \in I} N_i) / N_1)| \leq$$

$$\leq m_{i_1, i_2} = |M \cap ((\bigcap_{i \in I} N_i) / (N_{i_1} N_{i_2}))| \leq m_{i_1, i_2} \leq \dots (i_1, i_2, i_3, \dots \in I)$$

$$m_{i_1, i_2, \dots, i_k} \geq m_1 + m_{i_2} + \dots + m_{i_2, \dots, i_{k-1}} \quad (k \in I)$$

( $|X|$  означает мощность множества  $X$ ,  $\Lambda$ —пустое множество).

**Доказательство.**  $M \cap (\bigcap_{i \in I} N_i)$  всегда непусто, так как содержит единицу  $e$ . В силу неприводимости покрытия  $\{N_i, i \in I\}$  для подгруппы

$M$  имеем  $M \cap (\bigcap_{i \in I} N_i) / (\bigcap_{i \in I} N_i) \neq \Lambda$  ( $i \in I$ ). Поэтому, если бы  $M$  пересекалась с некоторым множеством  $(\bigcap_{i \in I} N_i) / N_j$ , то  $M$  не содержалась бы в  $UN_j$ . Тогда справедливость пункта а) следует из равенства:

$$M \cap (\bigcap_{i \in I} N_i) = M \cap ((\bigcap_{i \in I} N_i) / (UN_j)) + \left( \bigoplus_{\substack{j \in J \\ |J| > 2}} M \cap ((\bigcap_{i \in I} N_i) / (N_j)) \right), \quad (J \subseteq I, |J| \geq 2)$$

Если бы нарушался пункт б), то  $M$  не содержалась бы в  $UN_j$ . Справедливость пункта в) следует из того, что умножение любого элемента подгруппы на любой элемент из ее дополнения в группе выводит из подгруппы. Теорема доказана.

В случае  $|I|=3$ , т. е. когда подгруппы  $N_1, N_2, N_3$  образуют неприводимое покрытие для подгруппы  $M$ , имеем кроме того:

$$|M \cap (N_1 / (N_2 N_3))| = |M \cap (N_2 / (N_1 N_3))| = |M \cap (N_3 / (N_1 N_2))|.$$

**Замечание.** Теорема представляет интерес для групп, обладающих с неприводимыми покрытиями  $\{N_i, i \in I\}$ , такими, что любые пересечения  $\bigcap_{j \in J} N_j$  нетривиальны. Такой группой будет, например, симметрическая группа  $\sigma_m$  (группа всех взаимно-однозначных отображений произвольного множества  $M$  на себя); в  $\sigma_m$  существуют подгруппы, обладающие неприводимыми покрытиями в классе максимальных подгрупп  $\sigma_m(m)$ ,  $m \in M$  ( $\sigma_m(m)$ —подгруппа всех отображений из  $\sigma_m$ , не подвижных в точке  $m \in M$ ). Для группы  $\sigma_n$  аналогичная теорема доказывается в работе автора [3].

**Теорема 2.** Если подгруппы  $N_i$  ( $i \in I$ ) группы  $G$  образуют неприводимое покрытие для максимальной в  $G$  подгруппы  $M$ , то  $M \subseteq \bigcap_{i \in I} N_i$ .

**Доказательство.** Назовем локализатором множества  $K \subseteq G$  в множестве  $UN_i$  и обозначим через  $L(K, UN_i)$  совокупность всех элементов  $g \in G$  таких, что  $g \cdot K \subseteq UN_i$ ,  $K \cdot g \subseteq UN_i$ . Очевидно,

$$L(M, \bigcap_{i \in I} N_i) = \bigcap_{i \in I} L(M \cap N_i, UN_i) \quad (*).$$

Далее имеем  $L(M \cap N_i, UN_i) \supseteq N_i$ . Следовательно, в силу равенства

(\*) выполняется:  $L(M, \bigcap_{i \in I} N_i) \supseteq \bigcap_{i \in I} N_i$ . Если  $(\bigcap_{i \in I} N_i) / M \neq \Lambda$ , т. е. существует  $g \in (\bigcap_{i \in I} N_i) / M$ , то  $g \in L(M, \bigcap_{i \in I} N_i) / M$ . Тогда  $[M + \{g\}]_G = G$ , что противоречит максимальности  $M$  в  $G$ . Следовательно,  $(\bigcap_{i \in I} N_i) / M = \Lambda$ , т. е.

$M \supseteq \bigcap_{i \in I} N_i$ . Однако в силу неприводимости покрытия  $\{N_i, i \in I\}$  для  $M$  имеем  $M \neq \bigcap_{i \in I} N_i$ , т. е.  $M \supsetneq \bigcap_{i \in I} N_i$ . Теорема доказана.

## ЛИТЕРАТУРА

1. Ходл. М. Теория групп. ИЛ, М., 1962. 2. Курош А. Г. Лекции по общей алгебре. Физматгиз, 1962. 3. Байрамов Р. А. К проблеме полноты в симметрической подгруппе конечной степени. Дискретный анализ, Новосибирск, № 7, 1966.

Институт математики  
Сибирского отделения наук

Поступило 2. III 1966

Р. А. Байрамов

## Ики нэзэри-груп теорем

### ХУЛАСЭ

Мэгалэдэ верилмиш группун мүэйжэн алт групларынын хассэлэри тэдгиг олунур. Тэдгигатын нэтичэс ики теорем шэклиндэ ифадэ олунмушдур.

АЗЭРБАЙЧАН ССР ЕЛМЛЭР АКАДЕМИЯСЫНЫН МӨРҮЗЭЛЭРИ

ДОКЛАДЫ АКАДЕМИИ НАУК АЗЕРБАЙДЖАНСКОЙ ССР

ТОМ XXII

№ 4

1966

## МАТЕМАТИКА

А. Д. ДЖАБРАИЛОВ

## НЕКОТОРЫЕ СВОЙСТВА ДИФФЕРЕНЦИРУЕМЫХ ФУНКЦИЙ

(Представлено академиком АН Азербайджанской ССР З. И. Халиловым)

Пусть  $E^n$   $n$ -мерное евклидово пространство точек  $x=(x_1, \dots, x_n)$ . Если  $h=(h_1, \dots, h_n)$  данный вектор, то пусть  $h^e=(h_j^e, \dots, h_n^e)$ , где  $h_j^e=h_j$  при  $j \in e$  и  $h_j^e=0$  при  $j \notin e$ ,  $e$ —любое подмножество множества  $e_n \{1, \dots, n\}$ .

Пусть  $f$  определена в  $E^n$  и задан вектор  $r=(r_1, \dots, r_n)$  с положительными компонентами. Допустим  $r_j=r_j+\alpha_j$ , где  $r_j$  — целая часть  $r_j$ , так что  $0 < \alpha_j < 1$  ( $j=1, \dots, n$ ).

Положим для каждого  $e$  из  $e_n$

$$f^{(\bar{r}^e)}(x) = \frac{\partial}{\bar{r}_1^e} \cdots \frac{\partial}{\bar{r}_n^e} f(x),$$

**Определение.** Скажем, что  $f \in S_p^{(r)} W(E^n)$ , если для любого  $e$  из  $e_n$  существует обобщенное производное в смысле С. Л. Соболева [1]  $f^{(\bar{r}^e)}(x) \in L_p(E^n)$  ( $p \geq 1$ ,  $\bar{r}=(\bar{r}_1, \dots, \bar{r}_n)$ ), и конечен интеграл

$$I_e(f) = \left( \int_0^\infty \cdots \int_0^\infty \| \Delta^{\omega e^*}(t) f^{(\bar{r}^e)} \|^p dt_1^{\omega_1} \cdots dt_n^{\omega_n} \right)^{\frac{1}{p}},$$

где

$$\omega = (\underbrace{1, \dots, 1}_{n}), \Delta^{\omega e^*}(t)f = [\prod_{j \in e^*} \Delta_j(t_j)]f,$$

$\Delta_j(t_j)f=f(x_1, \dots, x_j-t_j, \dots, x_n)-f(x)$ ,  $e^*$  — множество таких индексов  $j$  из  $e$ , что при  $j \in e^*$   $r_j$  нецелое. Норму в этом пространстве возьмем следующим образом

$$\|f\|_{S_p^{(r)} W(E^n)} = \sum_{e \in e_n} \left( \|f^{(\bar{r}^e)}\|_{L_p(E^n)} + I_e(f) \right).$$

Замыкание множества гладких финитных функций по норме (1) обозначим через  $S_p^{(r)} W(E^n)$ .

Пространство  $S_p^{(r)} W$  при целых  $r_i$  ( $i=1, \dots, n$ ) было определено С. М. Никольским [2].

**Теорема 1.** Пространства  $S_p^{(r)} W(E^n)$  и  $S_p^{(r)} W(E^m)$  при  $1 < p < \infty$  совпадают.

Пусть  $v = (v_1, \dots, v_n)$  — вектор с целыми неотрицательными компонентами,  $m$  — натуральное число, не превосходящее  $n$ ,  $1 < p < q < \infty$  и  $\epsilon = (\epsilon_1, \dots, \epsilon_n)$ , где  $\epsilon_j = 1 - \left(\frac{1}{p} - \frac{1}{q}\right) \frac{1}{r_j} - \frac{v_j}{r_j} > 0$  ( $j = 1, \dots, m$ ) и  $\epsilon_i = 1 - \frac{1}{pr_i} - \frac{v_i}{r_i} > 0$  ( $i = m+1, \dots, n$ ).

**Теорема 2.** Пусть  $f \in S_p^{(r)} W(E^n)$  и  $\rho = (\rho_1, \dots, \rho_m)$ , где  $0 < \rho_j \leq \epsilon_j r_j$ , если  $\rho_j$  и  $r_j$  одновременно нецелые и  $0 < \rho_j < \epsilon_j r_j$  если хотя бы один из  $\rho_j$  и  $r_j$  целый.

Тогда при любых фиксированных  $x_{m+1}, \dots, x_n$

$$f^{(v)}(x) = \frac{\partial^{v_1}}{\partial x_1^{v_1}}, \dots, \frac{\partial^{v_n}}{\partial x_n^{v_n}} f(x) \in S_q^{(\rho)} W(E^m),$$

причем имеет место неравенство

$$\|f^{(v)}\|_{S_q^{(\rho)} W(E^m)} \leq C \|f\|_{S_p^{(r)} W(E^n)},$$

где  $C$  — постоянное не зависящее от  $f$ .

Утверждение этой теоремы для краткости обозначим так:

$$S_p^{(r)} W(E^n) \rightarrow S_q^{(\rho)} W(E^m).$$

В этих обозначениях имеет место также:

**Теорема 3.**

$$S_p^{(r)} W(E^n) \rightarrow S_q^{(\rho)} B(E^m),$$

где  $\begin{cases} 0 < \rho_j \leq \epsilon_j r_j & \text{если } r_j \text{ — нецелый} \\ 0 < \rho_j < \epsilon_j r_j & \text{если } r_j \text{ — целый} \end{cases} \quad \} (j=1, \dots, m).$

**Теорема 4.**

$$S_p^{(r)} B(E^n) \rightarrow S_q^{(\rho)} B(E^m), \text{ где } 0 < \rho_j \leq \epsilon_j r_j (j=1, \dots, m).$$

**Теорема 5.**

$$S_p^{(r)} B(E^n) \rightarrow S_q^{(\rho)} H(E^m), \text{ где } 0 < \rho_j \leq \epsilon_j r_j (j=1, \dots, m).$$

**Теорема 6.**

$$\text{где } \bigcap_{i=1}^N S_p^{(r^i)} B(E^n) \rightarrow S_p^{(r)} H(E^n),$$

$r^i = (r_1^i, \dots, r_n^i)$  ( $i=1, \dots, N$ ) — векторы с положительными компонентами,  $\gamma = \sum_{i=1}^N \lambda_i r^i$ ,  $\lambda_i \geq 0$  ( $i=1, \dots, N$ ),  $\sum_{i=1}^N \lambda_i \leq 1$ .

Пространство  $S_p^{(r)} B(E^n)$  ранее определено в заметке автора [6]. Определение пространства  $S_p^{(r)} H$  смотрите в работе С. М. Никольского [4].

Теорема 2 при целых  $r_i$  ( $i=1, \dots, n$ ),  $1 < p = q < \infty$  и при  $m = n - 1$  для некоторых конечных областей [2, 3] доказана С. М. Никольским [2].

Теорема 4 при более жестких условиях ранее была дана в заметке автора [6].

Пользуясь случаем приношу глубокую благодарность профессору Л. Д. Кудрявцеву, под руководством которого выполнена настоящая работа.

## ЛИТЕРАТУРА

1. Соболев С. Л. Некоторые применения функционального анализа в математической физике. Л., 1950.
2. Никольский С. М. Мат. сб. 61 (103), 2, 1963.
3. Кудрявцев Л. Д. Труды Матем. ин-та АН СССР, т. 55, 1959.
4. Никольский С. М. Сибирский матем. журнал, 1963, т. IV, № 6.
5. Ильин В. П. и Солонников В. А. Труды Матем. ин-та АН СССР, 64, 1962.
6. Джабраилов А. Д. ДАН СССР, 1964, т. 159, № 2.

Институт математики и механики

Поступило 1. IX 1965

А. Ч. Чебраильов

## Дифференциалланан функцијаларын бәзи хассәләри

### ХҮЛӘСӘ

Мәгаләдә компонентләри  $r_i \gg 0$  ( $i=1, \dots, n$ ) олан  $r = (r_1, \dots, r_n)$  вектору үчүн  $S_p^{(r)} W$  функционал фәзасы тә'жин олунур. Бундан башга, мәгаләдә бу фәзадан көтүрүлмүш функцијалардан өтрү сәрхәд хассәләриндән бәһс едилir.

Ейни заманда, нәмин фәза илә С. М. Николскини  $S_p^{(r)} H$  вә мүэллифин гурдуғу  $S_p^{(r)} B$  фәзалары арасындакы әлагә өјрәнилмишdir.

РАЗРАБОТКА НЕФТЯНЫХ  
И ГАЗОВЫХ МЕСТОРОЖДЕНИЙ

М. Т. АБАСОВ, Ф. Г. ГАСАНОВ, Ф. Г. ОРУДЖАЛИЕВ

**О ФИЛЬТРАЦИИ ГАЗОКОНДЕНСАТНОЙ СМЕСИ**

(Представлено академиком АН Азербайджанской ССР З. И. Халиловым)

В настоящей статье рассматривается фильтрация газоконденсатной смеси при второй фазе разработки с учетом реальных свойств газа и конденсата\*.

Выпишем дифференциальные уравнения движения газоконденсатной смеси в пористой среде [1]:

$$\nabla \left\{ \frac{k_r(\rho_k)P\beta}{\mu_r(P)zP} [1 - C(P)\bar{\gamma}(P)] \nabla P \right\} + \nabla \left[ \frac{k_k(\rho_k)S_k(P)}{\mu_k(P)a_k(P)} \nabla P \right] = -m \frac{\partial}{\partial t} \left\{ \frac{(1-\rho_k)P}{z(P)} \beta [1 - C(P)\bar{\gamma}(P)] + \frac{\rho_k S_k(P)}{a_k(P)} \right\}; \quad (1)$$

$$\nabla \left[ \frac{k_k(\rho_k)}{\mu_k(P)a_k(P)} \nabla P \right] + \nabla \left[ \frac{k_r(\rho_k)PC(P)\beta}{\mu_r(P)z(P)} \nabla P \right] = -m \frac{\partial}{\partial t} \left[ \frac{\rho_k}{a_k(P)} + \frac{(1-\rho_k)P}{z(P)} \beta C(P) \right]; \quad (2)$$

где  $k_r$  и  $k_k$  — фазовые проницаемости, соответственно для газа и конденсата;

$\mu_r$  и  $\mu_k$  — вязкости, соответственно для газа и конденсата (с растворенным газом);

$\gamma_r$  — удельный вес газа;

$P$  — давление;

$S_k$  — растворимость газа в конденсате;

$a_k$  — объемный коэффициент конденсата;

$\beta$  — коэффициент температурной поправки;

$z$  — коэффициент сжимаемости газа;

$C$  — содержание конденсата в газовой фазе;

$m$  — пористость;

$\rho_k$  — насыщенность пор жидким конденсатом;

$\bar{\gamma}$  — отношение удельных весов конденсата в жидкой и газовой фазе в нормальных условиях;

$t$  — время.

Для простоты в соответствии с [1], начальная газонасыщенность принимается равной единице, а давление однофазного состояния газоконденсатной смеси равным начальному пластовому давлению.

Связь между насыщенностью пор конденсатом и давлением на контуре находится из условия:

$$\Delta P|_{t=t_k} = 0$$

и описывается следующим дифференциальным уравнением:

$$\begin{aligned} \frac{d\rho_{kk}}{dP_k} &= \left[ \frac{1}{\psi(\rho_k)} + P \frac{\mu_k(P)}{\mu_r(P)} \beta \frac{C(P)a_k(P)}{z(P)} \right] \left\{ (1-\rho_k)\beta \left[ \frac{P^2 - C(P)\bar{\gamma}(P)}{z(P)} \right]' + \right. \\ &\quad \left[ \frac{1}{a_k(P)} - \frac{P\beta C(P)}{z(P)} \right] \left\{ \frac{\mu_k(P)}{\mu_r(P)} a_k(P) \frac{P\beta}{z(P)} [1 - C(P)\bar{\gamma}(P)] + \right. \\ &\quad \left. \left. + \rho_k \left[ \frac{S_k(P)}{a_k(P)} \right]' \right\} - \left\{ \frac{\mu_k(P)}{\mu_r(P)} a_k(P) \frac{P\beta}{z(P)} [1 - C(P)\bar{\gamma}(P)] + \right. \\ &\quad \left. \left. + \frac{S_k(P)}{\psi(\rho_k)} \right\} + \left\{ \frac{P\beta}{z(P)} [1 - C(P)\bar{\gamma}(P)] - \right. \\ &\quad \left. \left. + \frac{S_k(P)}{\psi(\rho_k)} \right\} \left\{ (1-\rho_k)\beta \left[ \frac{P C(P)}{z(P)} \right]' + \rho_k \left[ \frac{1}{a_k(P)} \right]' \right\}, \right. \\ &\quad \left. - \frac{S_k(P)}{a_k(P)} \right\} \left[ \frac{1}{\psi(\rho_k)} + P \frac{\mu_k(P)}{\mu_r(P)} \beta \frac{C(P)a_k(P)}{z(P)} \right], \end{aligned} \quad (3)$$

где '' означает производную по  $P$ .

Полагая в каждый момент времени вдоль линии тока газоконденсатный фактор постоянным, имеем

$$\begin{aligned} \Gamma_k(t) &= \frac{\bar{\mu}(P_k)a_k(P_k) \frac{P_k\beta}{z(P_k)} [1 - C(P_k)\bar{\gamma}(P_k)] + \frac{S_k(P_k)}{\psi(\rho_k)}}{\frac{1}{\psi(\rho_k)} + \bar{\mu}(P_k) \frac{P_k C(P_k)\beta a_k(P_k)}{z(P_k)}} = \\ &= \frac{\bar{\mu}(P)a_k(P) \frac{P\beta}{z(P)} [1 - C(P)\bar{\gamma}(P)] + \frac{S_k(P)}{\psi(\rho_k)}}{\frac{1}{\psi(\rho_k)} + \bar{\mu}(P) \frac{P C(P)\beta a_k(P)}{z(P)}}, \end{aligned} \quad (4)$$

Следуя [16], вводим новую функцию

$$H = \int \left\{ \frac{F_r(\rho_k)}{\mu_r(P)} \frac{P\beta}{z(P)} [1 - C(P)\bar{\gamma}(P)] + \frac{F_k(\rho_k)S_k(P)}{\mu_k(P)a_k(P)} \right\} dP + C. \quad (5)$$

Тогда в соответствии с [4], можно записать следующие выражения для дебита газа:

\* Основное содержание статьи изложено в отчете ИРН и ГМ АН Азерб. ССР за 1964 г.

при плоско-радиальной фильтрации

$$q_r = \frac{2\pi kh(H_k - H_c)}{\ln \frac{r_k}{r_c} - \frac{1}{2}}; \quad (\text{при } r_c^2 \ll r_k^2) \quad (6)$$

при линейной фильтрации

$$q_r = \frac{2bh(H_k - H_c)}{l}, \quad (7)$$

где  $k$ ,  $h$ ,  $b$ ,  $l$  — соответственно проницаемость, мощность, ширина и длина пласта;

$r_k$ ,  $r_c$  — радиусы соответственно контура питания и скважины;  
 $H_k$ ,  $H_c$  — значения функции  $H$  на контуре питания и скважине.

Исходя из равенства средних и контурных значений насыщенности и давления, время, соответствующее  $q_r$ , можно определить из балансового уравнения для газа [2]:

$$t = \Omega \int_{P_k}^{P_0} \frac{1}{q_r} \left\{ \beta(1 - \rho_{kk}) \left[ \frac{P_k}{z(P_k)} [1 - C(P_k) \bar{\gamma}(P_k)] \right]' + \right. \\ \left. + \rho_{kk} \left[ \frac{S_k(P_k)}{a_k(P_k)} \right]' - \left[ \frac{P_k \beta}{z(P_k)} [1 - C(P_k) \bar{\gamma}(P_k)] - \frac{S_k(P_k)}{a_k(P_k)} \right] \frac{d\rho_{kk}}{dP_k} \right\} dP_k, \quad (8)$$

где  $\frac{d\rho_{kk}}{dP_k}$  дается зависимостью (3).

Ниже приводятся некоторые результаты расчетов для следующих условий (близких к свите VII горизонтов месторождения Карадаг).

Количество растворенного в газе конденсата определялось из зависимости

$$C(P) = C_0 \left( 1 - \frac{P_0 - P}{P_0 - P_m} \right),$$

где  $C_0$  — начальное конденсатосодержание, равное  $3 \cdot 10^{-4} \text{ м}^3/\text{м}^3$ ;

$P_0$  — начальное пластовое давление, равное 400 ат;

$P_m$  — давление максимальной конденсации, равное 60 ат.

Объемный коэффициент конденсата определялся по следующей формуле работы [17]:

$$a_k(P) = 1 + (0,142 - 0,104\gamma_{k20}) \frac{S_k(P)}{22,41} + \Delta a_t;$$

где  $\Delta a_t$  — температурная поправка (в нашем случае  $\Delta a_t = 0,063$ );

$\gamma_{k20}$  — удельный вес конденсата в нормальных условиях.

В соответствии с [3]  $\bar{\gamma}$  определялось по формуле:

$$\bar{\gamma} = \frac{\gamma_k}{M_k} 22,41 \frac{293}{273},$$

где  $\gamma_k$  — удельный вес конденсата,  $\text{кг}/\text{м}^3$ ;

$M_k$  — молекулярный вес конденсата,  $\text{кг}/\text{моль}$ .

Коэффициент растворимости газа в конденсате принимался равным единице [11]. Значение  $\beta = 0,8$ .

Ввиду отсутствия экспериментальных исследований, зависимость вязкости конденсата от количества растворенного газа и давления была получена экстраполяцией графика Карлтона Била [18, 7] для вязкости газонасыщенных нефтей. Вязкость дегазированного конденсата при температуре пласта была принята равной 0,4 сп. Оценка ее была произведена по данным вязкости индивидуальных углеводородов [15], входящих в состав конденсата. При этом учитывался групповой химический состав конденсата.

Значения  $z(P)$ ,  $\gamma_k(P)$ ,  $M_k(P)$ ,  $\mu_r(P)$  и  $\mu_k(P)$  в соответствии с [9, 12, 10, 17] приведены на рис. 1.

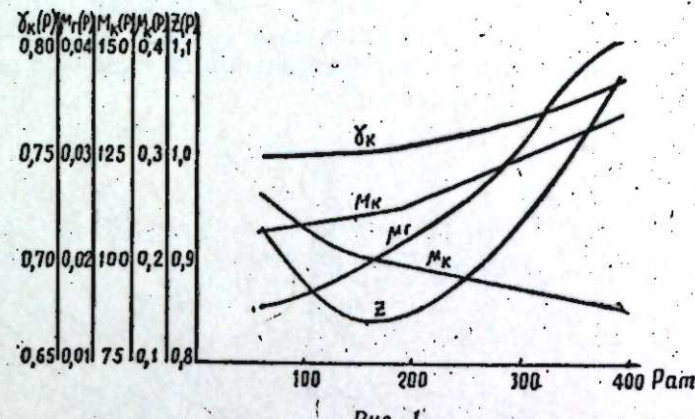


Рис. 1

Ввиду отсутствия специальных исследований по определению фазовых проницаемостей при фильтрации газоконденсатной смеси в расчетах принимались два различных вида зависимостей для  $F_r(\rho_k)$  и для  $F_k(\rho_k)$  (рис. 2). При этом имелось в виду, в какой-то степени оценить влияние этих зависимостей на основные показатели процесса фильтрации.

В первом случае использовались кривые Викова-Ботсета [7], исходящие из 0 и 1, а во втором — кривые фазовых проницаемостей принимались прямыми:

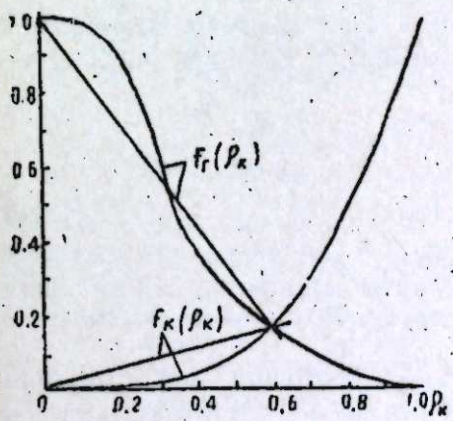


Рис. 2

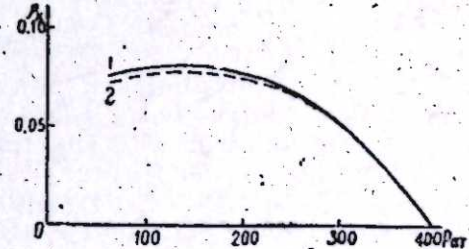


Рис. 3

$$F_r = 1 - 1,356097 \cdot \rho_k; \quad F_k = 0,269919 \rho_k; \quad (0 \leq \rho_k \leq 0,6).$$

Результаты расчетов по формуле (3) представлены на рис. 3: кривыми 1 и 2, соответствующими первому и второму виду зависимостей фазовых проницаемостей от насыщенности. Из их сопоставления видно, что в пределах рассмотренных нами исходных данных характер

кривых фазовых проницаемостей мало влияет на количество выпадающего на контуре пласта конденсата. Наиболее интенсивное выпадение конденсата на контуре с падением давления соответствует начальному периоду разработки. Затем, кривая насыщенности постепенно выполняется и примерно при  $P_k = 140$  атм рост насыщенности прекращается. В дальнейшем, насыщенность несколько уменьшается, что объясняется, по-видимому, частичным испарением выпавшего конденсата.

Следуя [5], построим зависимость подинтегральной функции выражения (5) от давления для различных значений контурного давления (рис. 4 и 5). Кривые рис. 4 соответствуют фазовым проницаемостям, взятым по кривым Викова-Ботсета, а рис. 5—по прямым. Их совместное рассмотрение показывает, что влияние характера кривых фазовых проницаемостей на зависимость подинтегральной функции от давления существенно.

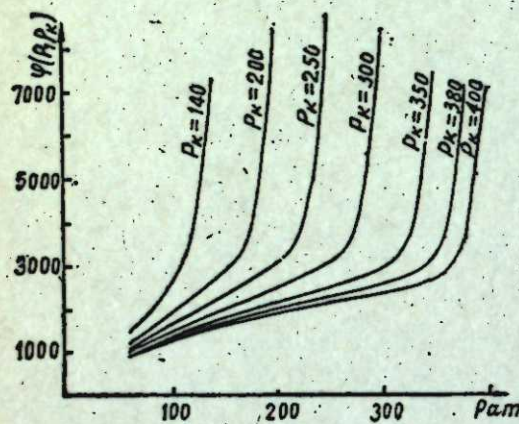


Рис. 4

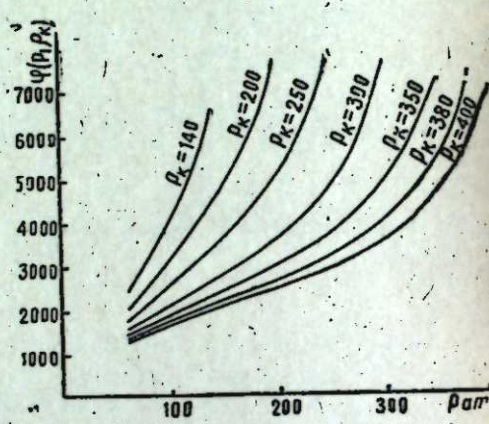


Рис. 5

Однако общим для них (что очень важно) является возможность в определенных пределах значений перепада давления представить подинтегральную функцию в виде:

$$\varphi(P, \rho_k) = \frac{F_r(\rho_k)}{\mu_r(P)} \frac{P^3}{z(P)} [1 - C(P)\bar{\gamma}(P)] + \frac{F_k(\rho_k)S_k(P)}{\mu_k(P)a_k(P)} = AP^2 + BP + C. \quad (10)$$

В этом случае погрешность для кривых рис. 4 при  $\Delta P \leq 40$  атм, лишь в отдельных точках достигала пяти процентов, а для кривых рис. 5 при  $\Delta P \leq 100$  атм—трех процентов. При этом с уменьшением  $\Delta P$  погрешность уменьшается.

Следует отметить, что в условиях эксплуатации свиты VII горизонтов месторождения Карадаг  $\Delta P$  не превышало 40 атм.

Подставляя в (10) значения  $P_k$ ,  $P_c$  и  $P_{cp} = \frac{P_k + P_c}{2}$  и соответствующие им  $\rho_{kk}$ ,  $\rho_{kc}$  и  $\rho_{kcp}$ , можно определить коэффициенты  $A$ ,  $B$ ,  $C$ .

$$A = \frac{2[\varphi(P_k, \rho_{kk}) + \varphi(P_c, \rho_{kc}) - 2\varphi(P_{cp}, \rho_{kcp})]}{(P_k - P_c)^2}; \quad (11)$$

$$B = \varphi(P_{cp}, \rho_{kcp}) \frac{4(P_k + P_c)}{(P_k - P_c)^2} - \varphi(P_k, \rho_{kk}) \frac{P_k + 3P_c}{(P_k - P_c)^2} -$$

$$-\varphi(P_c, \rho_{kc}) \frac{3P_k + P_c}{(P_k - P_c)^2}; \quad (12)$$

$$C = \varphi(P_k, \rho_{kk}) \frac{P_c(P_k + P_c)}{(P_k - P_c)^2} + \varphi(P_c, \rho_{kc}) \frac{P_k(P_k + P_c)}{(P_k - P_c)^2} - \varphi(P_{cp}, \rho_{kcp}) \frac{4P_k P_c}{(P_k - P_c)^2}, \quad (13)$$

где  $\rho_{kcp}$ — определяется из следующего выражения

$$\Gamma_k = S_k(P_{cp}) = \frac{\bar{\mu}(P_{cp})a_k(P_{cp})P_{cp}[1 - C(P_{cp})\bar{\gamma}(P_{cp}) - C(P_{cp})\cdot\Gamma_k]}{z(P_{cp})}; \quad (14)$$

Тогда

$$H_k - H_c = \frac{A}{3}(P_k^3 - P_c^3) + \frac{B}{2}(P_k^2 - P_c^2) + C(P_k - P_c). \quad (15)$$

Значения коэффициентов  $A$ ,  $B$  и  $C$  могут быть определены также и на основании промысловых исследований скважин согласно выражения:

$$\frac{q_1}{M} = \frac{A}{3}(P_k^3 - P_{ci}^3) + \frac{B}{2}(P_k^2 - P_{ci}^2) + C(P_k - P_{ci}), \quad (16)$$

где

$$M = \frac{2\pi kh}{\ln \frac{r_k}{r_c} - \frac{1}{2}}.$$

Следует отметить, что некоторые газоконденсатные месторождения эксплуатируются при депрессиях порядка 10 атм. (Например, объект ПК-верхи месторождения Зыря). Тогда функцию (10) для соответствующего перепада давления можно представить в виде прямой линии.

Отметим, что приведенный в статье прием позволяет рассмотреть и другие задачи фильтрации газоконденсатной смеси.

## ЛИТЕРАТУРА

1. Абасов М. Т., Гасанов Ф. Г. АНХ, № 10, 1963.
2. Абасов М. Т., Гасанов Ф. Г., Оруджалиев Ф. Г. Отчет лаборатории разработки ИРНиГМ АН Азерб. ССР, 1964.
3. Абасов М. Т., Джалилов К. Н. Вопросы подземной гидродинамики и разработки нефтяных и газовых месторождений. Азербнефтешр, 1960.
4. Глобовский М. М. Труды ВНИИ, вып. XIX, 1959.
5. Зиновьев Л. А. Труды ВНИИ, вып. VI, 1954.
6. Крылов А. П. и др. Проектирование разработки нефтяных месторождений. Гостоптехиздат, 1962.
7. Маскет М. Физические основы технологии добычи нефти. Гостоптехиздат, 1963.
8. Николаевский В. Н. Изв. АН Азерб. ССР, серия геолог.-геогр. наук и нефти, 1965, № 1.
9. Отчет лаборатории Нефтепромысловой геологии ИРН и ГМ АН Азерб. ССР, 1963.
10. Отчет лаборатории термодинамики пластовых систем ИРН и ГМ АН Азерб. ССР, 1962.
11. Отчет лаборатории теоретических основ теплотехники АзИНХ, 1958.
12. Покровский К. В., Разамат М. С. Изв. ВУЗ, Нефть и газ, 1962, № 9.
13. Розенберг М. Д. Изв. АН СССР, ОТН, 1952, № 10.
14. Розенберг М. Д., Желтов Ю. П., Шокринский Г. Ю. Добыча нефти (теория и практика). Ежегодник, 1963.
15. Физические свойства индивидуальных углеводородов. Под. ред. проф. В. М. Татевского. М., 1960.
16. Христианович С. А. ПММ, т. V, вып. II, 1941.
17. Цатурянц А. Б. Докт. дисс., 1964.
18. Carlton Beal. Petroleum Technology, 1964, № 3.
19. Kniazeff U., Naville S. Revue Inst. Franc. Pétrole 1962, № 5.

Институт проблем глубинных нефтегазовых месторождений

Поступило 1.III 1965

## ХУЛАСӘ

Мәгаләдә газ үчүн Христианович функциясына охшар, ejni заманда тәзілгән ifадә едилмәси мүмкүн олан хүсуси функцияны дахил етмәклә, газконденсат гарышынын һәрәкәтинә аид мүәллифләrin алдыглары диференциал тәникләрин һәлли верилмишdir.

Фаза көдиричилијинин тә'жини үчүн мүәjjәn тәдгигат олмадынындан газконденсат гарышынын сүзүлмәси несабатында  $F_r(\rho_k)$ , вә  $F_k(\rho_k)$  асылылығы ики мұхтәлиф (мүмкүн гәдәр фәргли) шәкилдә гәбул олунмушdur. Бејүк фәргә бахмајараг, тәзілг дүшкүсүнүн мүәjjәn һәдләриндә iәр ики нал үчүн интегралалты функцияны ашағыдақы кими кестәрмек мүмкүн олмушdur:

$$\varphi(P, \rho_k) = AP^2 + BP + C.$$

Алымыш нәтижә газконденсат гарышынын һесабат схемини садәләштирмәjә имкан верир. Геjd етмәк лазымдыр ки, әмсалларын гиjmәти аналитик вә набелә туууларын тәдгигиндән тә'жин едилә биләр.

РАЗРАБОТКА НЕФТЯНЫХ  
И ГАЗОВЫХ МЕСТОРОЖДЕНИЙ

Ш. Н. АЛИЕВ

**ВЛИЯНИЕ УГЛА НАКЛОНА ПОДЪЕМНОЙ ТРУБЫ  
НА ПОКАЗАТЕЛИ РАБОТЫ ВОЗДУШНОГО ПОДЪЕМНИКА**

(Представлено академиком АН Азербайджанской ССР С. М. Кулевым)

Нашиими предыдущими исследованиями установлено, что угол наклона подъемных трубок в деформации пузырьков играет доминирующую роль [1].

Наклонная поверхность стенки трубы деформирует пузырек, и последний теряет свою естественную форму и сплющивается. Миделево сечение пузырька с ростом угла наклона трубы уменьшается, и оно достигает наименьшего значения при угле наклона трубы порядка  $40 - 60^\circ$ . Поэтому в интервале значений угла от нуля до  $40 - 60^\circ$  с ростом угла наклона скорость всплывания пузырька в неподвижной жидкости также возрастает. При этом величина этой скорости превышает таковую при вертикальном положении трубы на 30%. Этот факт установлен экспериментально [1].

В целях определения влияния угла наклона колонки на скорость движения двух фаз при их совместном движении (вода и воздух) нами проведены серии экспериментов на установке, схема которой приводится на рис. 1.

Колонка была прикреплена к специальному станине, позволяющей держать ее вертикально и при необходимости придать колонке наклонное положение под углом в  $15, 30, 45, 60, 75^\circ$  к вертикали. Таким путем был установлен контроль за работой эрлифта.

Нормальная работа воздушного подъемника достигалась как в вертикальной, так и в наклоненной до  $75^\circ$  колонке.

Визуальные наблюдения показали, что при лифтингании жидкости с помощью сжатого воздуха последний входит в башмак подъемной трубы в виде группы пузырьков. Этот комплекс пузырьков в трубке приобретает стесненное движение. В вертикальном подъемнике пузырьки всплывают по середине трубы. В наклонных же трубах, в отличие от вертикальных, как отдельные, так и комплекс пузырьков в целом, по мере своего движения вверх стремится прижаться к верхней стенке подъемника и перемещаться по верху водо-воздушной смеси.

Первая серия опытов соответствовала ряду подъемников разной длины (разного наклона), но при постоянном значении величины превышения устья над башмаком (рис. 1).

Вторая серия опытов соответствовала ряду подъемников одинаковой длины с различными углами наклона (см. рис. 1).

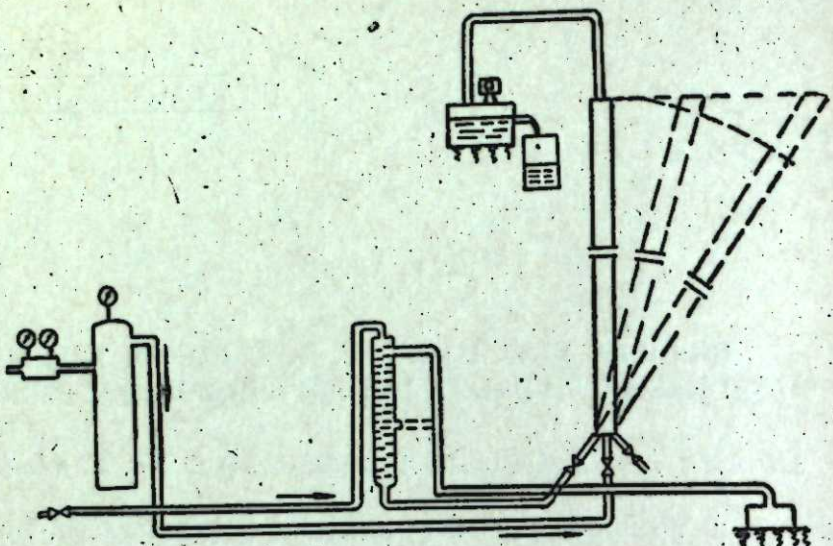


Рис. 1

По результатам экспериментов построены кривые зависимости  $Q = f(V_0)$  для каждого положения подъемника. На каждой из кривых определена точка, соответствующая оптимальному режиму работы подъемника. В тех случаях, когда на нижнем конце колонки величина

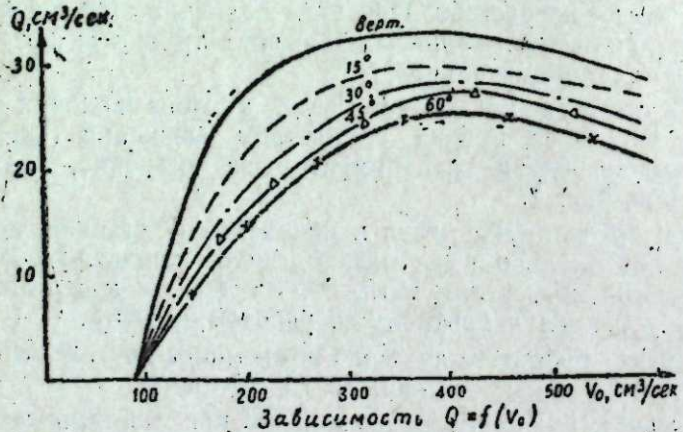


Рис. 2

давления от столба смеси остается постоянной (первая серия опытов), независимо от угла наклона колонки начало выброса жидкости происходит при одном и том же расходе рабочего агента (рис. 2). При этом с увеличением угла наклона колонки количество жидкости, извлекаемой при оптимальном режиме ее работы, уменьшается. Так, если производительность вертикальной колонки за единицу времени

при оптимальном режиме принять за 100%, то в подъемниках, имеющих угол наклона 15, 30, 45 и 60 градусов, производительность составляет соответственно 90, 85, 80 и 75%. Вследствие этого возрастают значения оптимальных удельных расходов рабочего агента; так, с ростом угла наклона колонки до 60 градусов удельный расход воздуха по сравнению с вертикальным положением возрастает до 40%.

В тех случаях, когда длина колонки оставляется постоянной (2-я серия опытов), начало выброса жидкости происходит при различных значениях рабочего агента, причем с увеличением угла наклона подъемника количество рабочего агента, соответствующее началу выброса жидкости, уменьшается (рис. 3). Например, количество рабочего агента, соответствующее точке выброса в колонке, расположенной под углом 75 градусов, составляет половину значения этого показателя для вертикальной трубы.

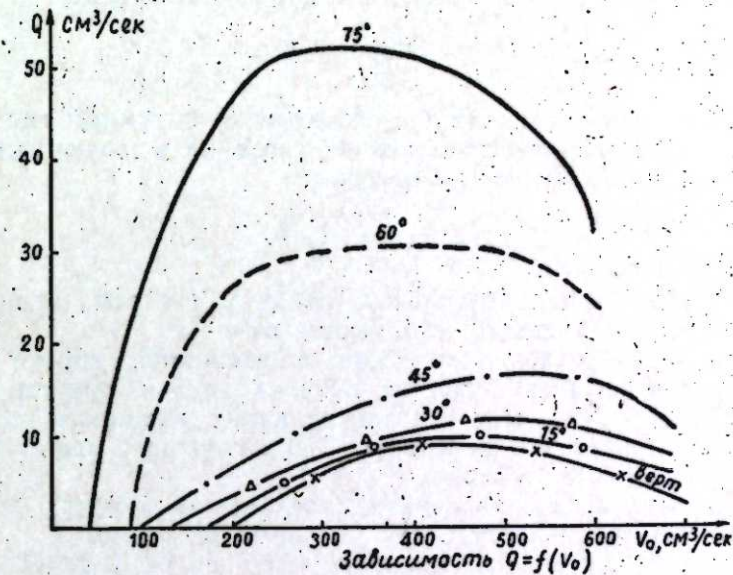


Рис. 3

В этом случае в лифте, находящемся под углом 75 градусов, по сравнению с вертикальным лифтом, значение оптимальной производительности ( $Q_{опт}$ ) возрастает более чем в три раза и во столько же раз уменьшается оптимальное количество рабочего агента ( $V_{опт}$ ).

Увеличение диаметра трубы с 19 до 25 мм приводит к росту оптимальных расходов рабочего агента примерно в 2 раза.

Были проведены также эксперименты в колонке, верхняя половина которой имела вертикальное положение, а нижняя половина менялась под углом от 0 до 45°. При таком положении определялось влияние изменения угла наклона нижней части колонки на производительность лифта при постоянном расходе рабочего агента. Оказалось, что увеличение угла наклона нижней части колонки до 45° приводит к росту производительности лифта, и она оказывается выше производительности вертикальной колонки.

Было определено также влияние угла наклона колонки на величину относительного скольжения воздуха при совместном его подъеме с жидкостью.

С этой целью вначале определяли истинную скорость по методике [2, 3], путем одновременного закрытия двух быстродействующих кранов, находящихся на подводящей и отводящей линиях колонки, прекращали доступ в колонку и выход из нее воды и воздуха. После установления высоты столба воды и воздуха в колонке определялась площадь поперечного сечения колонки, занятая водой, ( $f_{ж}$ ), из следующего выражения:  $f_{ж} = f \cdot \frac{h_{\Phi}}{l}$ , где

$f$  — площадь сечения колонки;

$l$  — длина колонки;

$h_{\Phi}$  — высота столба одной фазы в колонке.

Зная величину  $f_{ж}$ , и определив из кривой  $Q = f(V_0)$  значения оптимальной производительности лифта, а также соответствующего ей расхода рабочего агента для различных положений колонки, рассчитывали истинную скорость каждой фазы по формулам:

$$W_{ж} = \frac{Q_{ж}}{f_{ж}}, \quad W_r = \frac{V_r}{f_r}$$

По найденным значениям  $h_{\Phi}$  рассчитывали объемный вес смеси при наличии относительного скольжения воздуха в зависимости от угла наклона колонки следующим образом:

$$\gamma_{cm} = \frac{h_{\Phi} \cdot \gamma_{ж}}{l}$$

Результаты экспериментальных работ и расчеты, произведенные по ним, позволяют сделать следующие выводы:

1. При лифтингании жидкости в наклонной трубке удельный расход рабочего агента зависит от угла наклона трубы. С ростом угла наклона трубы от вертикали величина удельного расхода возрастает; это приводит к снижению КПД наклонного лифта по сравнению с вертикальным лифтом.

При прочих равных условиях, увеличение диаметра подъемника приводит к еще большему росту удельных расходов.

2. С увеличением угла наклона колонки от 0 до 60° скорость подъема для жидкости снижается более чем в 1½ раза, а для воздуха почти во столько же раз возрастает. При этом объемный вес смеси увеличивается почти в 1½ раза.

#### ЛИТЕРАТУРА

1. Алиев Ш. Н. О влиянии угла наклона трубы на скорость всплыивания пузырька. „Изв. АН Азерб. ССР, серия физ.-техн. и матем. наук”, 1964, вып. 5.
2. Муравьев И. М., Крылов А. П. Эксплуатация нефтяных месторождений. Гостоптехиздат, 1949.
3. Багдасаров В. Г. Теория, расчет и практика эргазлифта. Гостоптехиздат, 1947.

АзНИИ ДН

Поступило 24.IV 1965

Ш. Н. Элиев

Бору майллийинин ишләк акентин хүсуси сәрфинә тә'сирি

#### ХУЛАСӘ

Майли гујулара ендирilmиш галдырычы борулар гују көвдәсиини шәклини алып вә онларын майллиji газлы маје гарышынын галдырылmasына тә'сир едир. Һәмин тә'сир иңәрәмәк учун апарылмыш тәчрүбә ишләриндән ашагыдағы иәтичеләри чыхармаг олар:

1. Галдырычы боруларын майллиji ишләк акентин мигдарына тә'сир көстәрир. Майллик артдыгда ишләк акентин хүсуси сәрфи артыр вә бунула әлагәдар олараг, галдырычынын фајдалы иш әмсалы азалыр. Башга шәртләр ејни олдугда галдырычы борулар диаметринин артмасы ишләк акентин хүсуси сәрфинин даһа да јүксәлмәсini сәбәб олур.

2. Майллик бучагынын 0°-дән 60°-јә гәдәр артмасы мајенин галхма сүр'етинин 1,5 дәфә азалмасына вә hава сүр'етинин тәхминән о гәдәр чох алмасына сәбәб олур. Бунула әлагәдар олараг, гарышыны хүсуси чәкиси дә 1,5 дәфә артыр.

Г. Б. АБДУЛЛАЕВ, Я. И. НАСИРОВ, Т. Г. ОСМАНОВ

## ИССЛЕДОВАНИЕ ТЕРМОЭЛЕКТРИЧЕСКИХ СВОЙСТВ НЕКОТОРЫХ ТВЕРДЫХ РАСТВОРОВ $\text{SnTe}-\text{Cu}(\text{As}, \text{Sb}, \text{Bi})\text{Te}_2$

Исследование термоэлектрических свойств многокомпонентных систем в литературе посвящено много работ. Настоящая работа посвящена исследованию поведения  $\text{SnTe}$  в твердых растворах  $[\text{SnTe}]_{1-x} - [\text{CuAsTe}_2]_x$ ,  $[\text{SnTe}]_{1-x} - [\text{CuSbTe}_2]_x$  и  $[\text{SnTe}]_{1-x} - [\text{CuBiTe}_2]_x$  при значениях  $x = 0,01 \div 0,10$ . Соотношения компонентов взяты в молярных процентах. Необходимо отметить, что указанные системы можно рассматривать и как твердые растворы  $\text{SnTe}-\text{Cu}_2\text{Te}-\text{AS}_2(\text{Sb}_2, \text{Bi}_2)\text{Te}_2$ .

Все образцы были однофазными и однородными. В зависимостях физических параметров от состава при комнатной температуре в указанных твердых растворах наблюдаются некоторые аномалии.

Концентрация носителей тока ( $n$ ) в твердых растворах значительно ниже, чем в  $\text{SnTe}$  и обнаруживает минимум в системах  $\text{SnTe} - \text{Cu}(\text{Sb}, \text{Bi})\text{Te}_2$  при  $x=0,01$ , а в системе  $\text{SnTe}-\text{CuAsTe}_2$  при  $x \approx 0,03$ , затем наблюдается незначительный рост  $n$  по составу (рис. 1).

Зависимость термоэдс ( $\alpha$ ) от состава при комнатной температуре также обнаруживает экстремум (рис. 2) в составах при  $x = 0,01$ , незначительно уменьшается (к составам  $x = 0,03$ ) и монотонно возрастает с увеличением % содержания  $\text{Cu}(\text{As}, \text{Sb}, \text{Bi})\text{Te}_2$  в твердых растворах.

В зависимостях электропроводности от состава при комнатной температуре никаких аномалий не было обнаружено. Электропроводность непрерывно падает с увеличением концентрации  $\text{Cu}(\text{As}, \text{Sb}, \text{Bi})\text{Te}_2$  в сплавах. Подвижность носителей тока также обнару-

живает максимум при  $x = 0,01$  для всех систем, причем величина ее тем больше, чем больше молекулярный вес второго компонента ( $\text{CuAsTe}_2$ ,  $\text{CuSbTe}_2$  и  $\text{CuBiTe}_2$ ) твердого раствора.

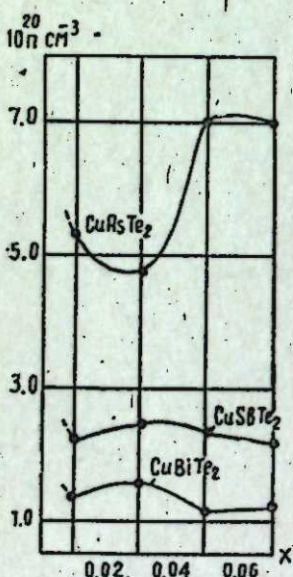


Рис. 1. Зависимость концентрации носителей тока от состава.

Теплопроводность решетки ( $\chi_p$ ) непрерывно снижается от  $\text{SnTe}$  до составов твердых растворов с  $x = 0,05$  для систем  $\text{SnTe}-\text{CuSbTe}_2$  и  $\text{SnTe}-\text{CuBiTe}_2$  и затем медленно возрастает, а для системы  $\text{SnTe}-\text{CuAsTe}_2$  резко возрастает при  $x=0,01$  и затем непрерывно уменьшается по разрезу (рис. 3).

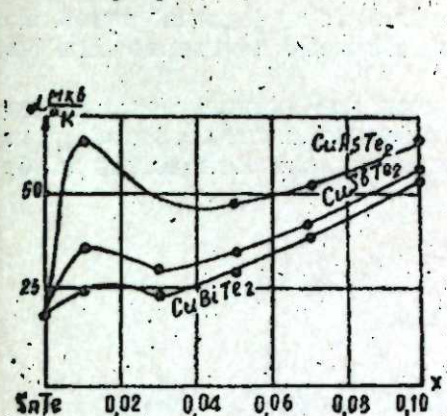


Рис. 2. Зависимость термоэдс от состава.

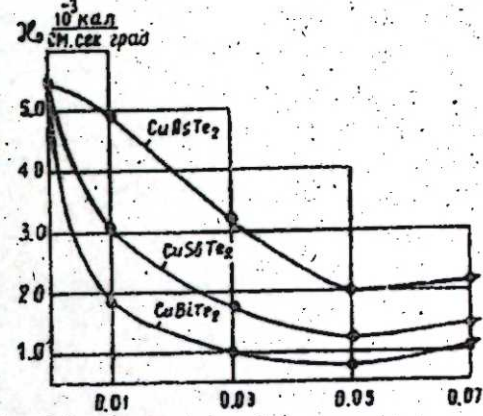


Рис. 3. Зависимость теплопроводности решетки от состава.

Анализ температурных зависимостей электропроводности и термоэдс показывает, что модель сложной валентной зоны, присущей теллуриду олова [1, 2], сохраняется в исследованных нами твердых растворах, причем ширина щели между зонами  $\Delta e$  изменяется по мере роста  $x$ .

Полученные результаты можно объяснить, на наш взгляд, качественно следующим: при образовании системы многокомпонентных твердых растворов на основе  $\text{SnTe}$  с малым содержанием второго компонента, в данном случае  $\text{Cu}(\text{As}, \text{Sb}, \text{Bi})\text{Te}_2$ , может произойти два процесса:

- атомы или группа атомов уменьшают концентрацию "дефектов" из-под олова в  $\text{SnTe}$ , чем и объясняется уменьшение концентрации носителей тока и некоторый рост термоэдс;
- при образовании твердых растворов возникают новые дефекты, связанные с природой данного твердого раствора, что приводит при преобладании второго процесса к росту концентрации носителей тока и уменьшению теплопроводности решетки.

## ЛИТЕРАТУРА

- Brebrick R. F., Strauss A. J. "Phys. Rev.", 131, 2, № 1, 104, 1963.
- Lubell M. S., Maretsky R. "J. Electrochemical Soc", № 10, № 6, 520, 1963.

Институт физики

Поступило 19. XI 1965

Г. Б. Абдуллаев, Я. И. Насиров, Т. К. Османов

$\text{SnTe}-\text{Cu}(\text{As}, \text{Sb}, \text{Bi})\text{Te}_2$  бэрк мәһмүлларынын  
термоэлектрик хассаларинин тәндиги

## ХУЛАСЭ

Олчулар  $[\text{SnTe}]_{1-x} - [\text{Cu}(\text{As}, \text{Sb}, \text{Bi})\text{Te}_2]_x$  системинде тәркиби  $x = 0,01 \div 0,07$  олан бирфазалы вә бирчинсли нүүмнэлэрд үзәриндэ апарылышыр. Бүтүн нүүмнэлэрдэ истиликечирмэ эмсалы, электрик-кечирмэ, термо ЕhГ вә хол сабитинин тәркибдэн асылылығы өјренил-

мишдир. Бүтүн параметрлэрдэ аномал дэјишмэ мүшәнидэ олунмушдур. Бу аномалиялар кејфијётчэ ашағыдақы кими изаһ олуна билэр. SnTe әсасында дүзәлдилмиш чохкомпонентли бәрк мәһлүлларда Cu(As, Sb, Bi)Te<sub>2</sub> компонентинин кичик фазларинде 2 наисэ кедэ билэр:

а) атом, яхуд атомлар группу SnTe-дакы „бош јерләри“ тута билэр ки, јукдашыјычыларын сыхлығынын азалмасы вә термо ЕhГ-нин артмасыны буунла изаһ етмәк олар.

б) бәрк мәһлүлларын әмәлә кәлмәси илә әлагәдар оларат јени „дефектләр“ јарана билэр ки; јукдашыјычыларын сыхлығынын артмасыны ( $x > 0,03$ ) вә гәфесин истилик кечирмәсинин азалмасыны да буунла айдыналашдырмаг олар.

## ЭЛЕКТРОХИМИЯ

З. И. АШУРЛЫ, В. Г. БАБАЯН, М. А. БАГИРОВ,  
Ч. А. ФАТАЛИЗАДЕ

## ПОЛИМЕРИЗАЦИЯ ПРОПИЛЕНА В ЭЛЕКТРИЧЕСКОМ РАЗРЯДЕ

(Представлено академиком АН Азербайджанской ССР М. Ф. Нагиевым)

В настоящее время проявляется большой интерес к проблеме полимеризации газообразных мономеров под действием электрического разряда.

Результаты некоторых исследований в этой области даются в монографии [1]. Из недавно проведенных исследований заслуживает внимания патент Д. Акерлофа на новый способ получения полиэтилена из смеси этилена с  $BCl_3$  в электрическом разряде при нормальных условиях [2]. В. Н. Зайченко и другие при действии электрического разряда на этилен при низких давлениях получили твердый полимер [4].

Задачей данной работы является установление некоторых закономерностей процесса полимеризации пропилена в электрическом разряде: выхода продуктов реакции от приложенного электрического напряжения, времени воздействия разряда и продолжительности опыта.

### МЕТОДИКА ИССЛЕДОВАНИЯ

Для исследования воздействия электрического разряда на пропилен была разработана экспериментальная установка, показанная на рис. 1. Пропилен из баллона проходил через реометр и после осушительных колонок с силикагелем поступал в реактор. В качестве реактора в опытах применялся стеклянный озонатор Сименса с разрядным промежутком 2,4 мм, длиной и объемом реакционной зоны, равными соответственно 600 мм и 1,00 см<sup>3</sup>. Давление газа в реакторе поддерживалось 788 мм рт. ст. системой автоматического регулирования давления [3]. Охлаждение электродов производилось непрерывной циркуляцией воды, температура которой поддерживалась 30°C.

В результате воздействия электрического разряда на пропилен образуются твердые, жидкие и газообразные продукты. Получаемые в процессе реакции твердые продукты отлагаются на стенках реактора в виде тонкой пленки. Ввиду нерастворимости в обычных органических растворителях (бензол, толуол, ацетон, декалин,

и др.) пленка снималась смесью ацетона с плавиковой кислотой (2–3% HF), заливаемой в реактор на непродолжительное время. По инфракрасным спектрам был проведен качественный структурно-групповой анализ твердых и жидких продуктов. Жидкий конденсат, полученный в эксперименте, подвергался фракционной разгонке на лабораторной колонке. Газообразные продукты реакции анализировались на хроматографе.

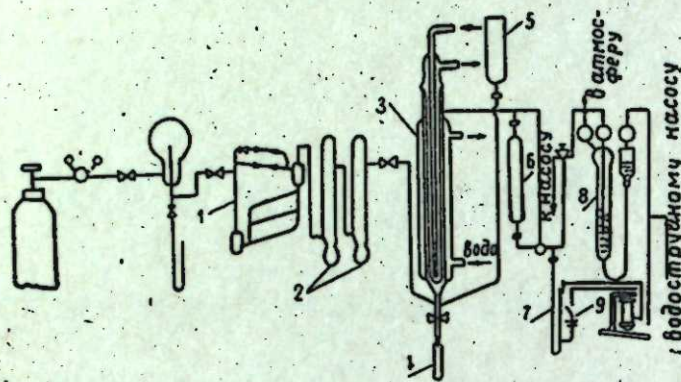


Рис. 1. Схема установки для изучения полимеризации пропилена под действием электрического разряда:  
1—реометр; 2—осушительные колонки; 3—реактор; 4—приемник жидкого продукта; 5—сосуд для растворителя; 6—пипетка для отбора газа; 7—контактный манометр; 8—водяной манометр; 9—электрическая схема для автоматического поддержания давления.

### РЕЗУЛЬТАТЫ ЭКСПЕРИМЕНТОВ И АНАЛИЗ ПРОДУКТОВ

Зависимость выхода твердых и жидких продуктов реакции от приложенного электрического напряжения исследовалась в диапазоне 10–20 кв при времени воздействия разряда 60 сек и продолжительности опыта 90 мин. Полученные данные (табл. 1) показывают, что выход твердых жидких продуктов возрастает с увеличением напряжения. Это можно объяснить увеличением расходуемой мощности, значительная доля которой (составляющая, по нашим подсчетам, около 25%) идет на химические реакции. Выход твердых продуктов

полимеризации составляет в условиях этих экспериментов в среднем 0,25–0,9% от количества израсходованного газа, выход жидкого продукта—1,5–25%.

Влияние времени воздействия разряда на выход продуктов реакции было исследовано в диапазоне 18–180 сек при напряжении 18 кв и продолжительности опыта 90 мин (табл. 2). Выход твердого продукта мало зависит от изменения времени воздействия разряда; выход жидкого конденсата резко падает с уменьшением времени воздействия разряда.

Таблица 2

Время воз- действия разряда сек	Количество твердого продукта		Количество жидкого конденсата		Общее количество твер- дых и жидких про- дуктов	
	10 <sup>-3</sup> г	% к общему кол-ву изра- сходованно- го газа	г	% к общему кол-ву изра- сходованно- го газа	г	% к общему кол-ву изра- сходованно- го газа
180	104,5	1,865	4,17	74,5	4,28	76,37
90	108,7	0,97	4,06	36,2	4,17	37,17
60	124,1	0,805	2,86	17,0	2,98	17,75
45	120,4	0,538	2,2	9,83	2,32	10,37
36	99,7	0,356	1,49	5,32	1,59	5,68
25,7	70,0	0,178	0,97	2,48	1,04	2,66
18	80,00	0,148	Следы	—	0,08	0,143

Изучение выхода продуктов реакции от продолжительности опыта (экспозиции) проводилось в интервале 2–180 мин при напряжении 18 кв и времени воздействия разряда 90 сек. Выход твердых продуктов в весовых процентах к общему количеству израсходованного газа уменьшается с увеличением экспозиции и достигает с пятнадцатой минуты приблизительно 1% (рис. 2). Это объясняется, возможно, влиянием стенок реактора на образование твердого полимера. Выход жидкого конденсата, как показано на рис. 3, линейно возрастает с увеличением времени воздействия разряда. Толщина полимерной пленки на стенах реактора при экспозициях 2–180 мин составляет, по нашим расчетам, в среднем 0,11–3,1 мк. При малых экспозициях пленка получается цельной, желтовато-белого цвета, а с увелич-

Таблица 1

Нап- ряже- ние кв	Средний ток ма	Количество твердого продукта		Количество жидкого конденсата		Общее количества жидких и твердых продуктов	
		10 <sup>-3</sup> г	% к общ. кол-ву изр. газа	г	% к общ. кол-ву изр. газа	г	% к общ. кол-ву изр. газа
20	32,8	148,8	0,885	4,15	24,7	4,299	25,59
18	27,5	124,1	0,74	2,86	17,0	2,984	17,74
16	23,6	121,0	0,72	2,057	12,24	2,178	12,96
14	18,8	67,0	0,4	0,98	5,83	1,047	6,23
12	13,7	42,2	0,25	0,22	1,31	0,262	1,56

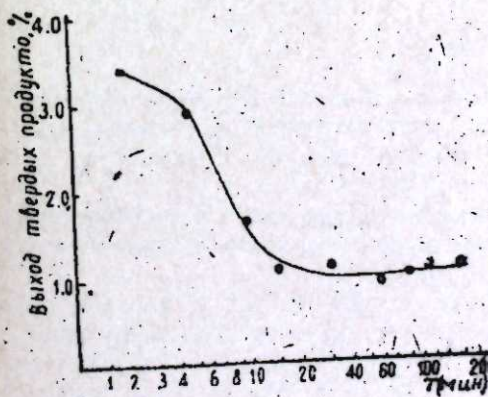


Рис. 2. Зависимость выхода твердого про-  
дукта от экспозиции.

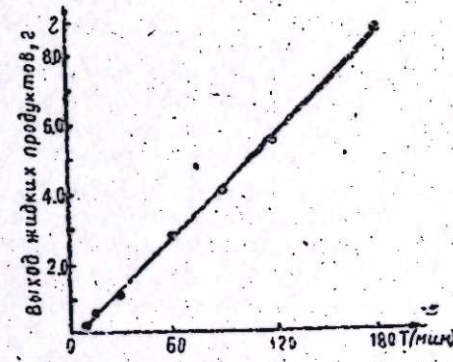


Рис. 3. Зависимость выхода жидкого про-  
дукта от экспозиции.

нием экспозиции она темнеет и становится хрупкой. Это указывает на то, что образующиеся твердые продукты подвергаются дальнейшему воздействию электрического разряда.

Инфракрасный спектр твердого продукта указывает на его большую сшитость. Присутствие полосы двойных связей ( $980 \text{ см}^{-1}$ ) указывает на иенасыщенность, а полосы карбонильных  $\text{C}=\text{O}$  ( $1700 \text{ см}^{-1}$ ) и гидроксильных групп  $\text{OH}$  ( $3400 \text{ см}^{-1}$ ) на слабое окисление твердого продукта, что можно объяснить, отчасти, неполной очисткой установки от атмосферного воздуха. Полосы  $\text{CH}_2$  и  $\text{CH}_3$  имеют аномально слабую относительную интенсивность, что указывает на малое содержание водорода. Это подтверждает и элементарный анализ твердого продукта (углерода—84,78%, водорода—11,23%). Полученный твердый продукт является неплавким, термостойким до  $350^\circ\text{C}$ .

Жидкие конденсаты реакции имели цвета от светло- до темно-оранжевого, отличались большой летучестью и резким запахом. Показатели преломления и относительные удельные веса конденсатов менялись в зависимости от параметров опыта соответственно в пределах  $1,4661 - 1,4939$  и  $0,8060 - 0,8727$ . Фракционная разгонка жидкого конденсата показала большую сложность углеводородного состава: до 40% высокосмольистых и твердых, до 25% высококипящих углеводородов (температура кипения  $160 - 230^\circ\text{C}$ ) и около 30% фракций  $\text{C}_6 - \text{C}_9$ .

На основании величины йодного числа и молекулярного веса можно заключить, что легокипящие фракции состоят, в основном, из непредельных углеводородов (% непредельности достигает 80—86) с некоторым содержанием ароматических и нафтеновых углеводородов. Средний молекулярный вес полученного конденсата порядка 300—350. ИК-спектр жидкого конденсата также подтверждает сложность его состава: наличие большого количества непредельных углеводородов с расположением двойной  $\text{C}=\text{C}$  связи преимущественно в концевом положении, характерном для  $\alpha$ -олефинов ( $1642 \text{ см}^{-1}$ ,  $993 \text{ см}^{-1}$ ,  $910 \text{ см}^{-1}$ ,  $890 \text{ см}^{-1}$ ), наличие алленовых ( $1858 \text{ см}^{-1}$  и  $1065 \text{ см}^{-1}$ ) и ацетиленовых  $\text{C}\equiv\text{C}$  ( $3312 \text{ см}^{-1}$ ,  $2105 \text{ см}^{-1}$ ) структур.

Хроматографический анализ смеси газообразных продуктов реакции, образующихся при воздействии разряда на пропилен, показал наличие в ней водорода и углеводородов предельного и непредельного ряда.

В заключение отметим, что получение на электродах реактора полимерных пленок микронной толщины, стойких к активным химическим реагентам и высокой температуре, представляет несомненно практический интерес.

### Выводы

1. При воздействии электрического разряда на газообразный пропилен образуются твердые продукты, отлагающиеся на стенках реактора в виде пленки микронной толщины, стойкой к активным химическим реагентам и температуре вплоть до  $350^\circ\text{C}$ .

2. Выход твердых продуктов реакции возрастает с увеличением электрического напряжения, продолжительности опыта и практически не зависит от времени воздействия разряда.

3. Выход жидких продуктов реакции возрастает с увеличением напряжения, времени воздействия разряда и продолжительности опыта.

4. Установлена сложность углеводородного состава жидкого конденсата, содержащего как легокипящие ( $\text{C}_6 - \text{C}_9$ ), так и высокомолекулярные смольистые углеводороды. Обнаружена высокая непредельность жидкого конденсата (около 80%).

### ЛИТЕРАТУРА

1. Андреев Д. Н. Органический синтез в электрических разрядах. М.—Л., Изд-во АН СССР, 1953.
2. Acerlof G. C. Preparation of polyethelene. Patent USA 2.834 055, 1958.
3. Емельянов Ю. М., Филиппов Ю. В. Устройство для автоматического регулирования давления газа в проточной системе. Авторское свидетельство № 141,687, 1960.
4. Зайченко В. Н., Мельников А. Ф., Емельянова Г. В. Полимеризация этилена в электрическом разряде. Вопросы нефтехимии, вып. 8. Гостоптехиздат, 1962.

Институт энергетики

Поступило 26. VII 1965

3. И. Ашурлы, В. Г. Бабаев, М. Э. Бағыров, Ч. А. Фәтәлизадә

### Електрик бошалмасының тә'сирі илә пропиленин полимерләшмәсі

### ХУЛАСӘ

Електрик бошалмасының тә'сирі алтында Сименс озонатор типли реакторда пропилен газының полимерләшмә просеси тәдгіг олунмушшур.

Реакторун диварында галынлығы микронла өлчүлә билән өртүк тәбәгәсінин әмәлә қәлмәсі мүшәнідә олунмушшур. Алынан өртүк  $350^\circ\text{C}$  температура вә кимјәви реактивләрин тә'сиринә дәзүр.

Бәрк мәһсүлүн алымасы кәркинилдән асылы олар артыр вә бу, бошалманың тә'сир мұддәттіндән практик олар асылы деійлдір. Маје мәһсүлүн чыхышы исә кәркинилдән, бошалма вә, тәчруә мұддәттіндән асылы олар артыр.

ОРГАНИЧЕСКАЯ ХИМИЯ

Н. М. СЕИДОВ, Ц. М. НАЙБЕРГ, М. А. ДАЛИН

**ХЛОРИРОВАНИЕ ЭТИЛЕН-ПРОПИЛЕНОВОГО ЭЛАСТОМЕРА**

Сополимеры этилена с пропиленом, содержащие выше 20% мольных пропилена (СКЭП), представляют собой новый класс насыщенных синтетических эластомеров [1, 2].

Отсутствие двойных связей в макромолекулярной цепи затрудняет вулканизацию этилен-пропиленового эластомера серой. Применяемые для вулканизации перекисные соединения придают резине и изделиям из нее резкий неприятный запах, поэтому решение вопроса вулканизации СКЭП является одной из основных задач.

Предложены различные методы серной вулканизации этилен-пропиленового эластомера, среди которых введение небольшого количества диена в сополимерную цепь является наиболее целесообразным [3].

Значительный интерес представляет введение функциональных групп в состав СКЭП методами галоидирования, карбоксилирования, сульфохлорирования и другими; при этом помимо решения вопроса вулканизации эластомер приобретает новые свойства в зависимости от введенной функциональной группы [4].

Среди этих методов особое место занимает метод галоидирования. Опубликован ряд работ по хлорированию СКЭП и исследованию свойств хлорированного этилен-пропиленового эластомера [5–10].

В этой работе приводятся экспериментальные данные по термическому хлорированию СКЭП в среде четыреххлористого углерода.

СКЭП был получен путем сополимеризации этилена с пропиленом в среде жидкого пропилена на катализаторной системе  $VCl_4 + (C_2H_5)_2AlCl$ . Хлорированию был подвергнут сополимер, содержащий в своем составе 23% мольных пропилена.

Методика проведения опытов была следующей.

В трехгорлой колбе растворяют определенное количество СКЭП в четыреххлористом углероде. После достижения определенной температуры в колбу с необходимой скоростью подавали осущенный хлор. Через определенные промежутки времени отбирали пробы, в которых определяли содержание хлора по методу Шонигера [11], переработанного применительно к полимерам [12].

Хлорирование проводилось при температуре 30–77°C с изменением концентрации сополимера в растворе от 12,5 до 50 г/л.

Результаты термического хлорирования сополимера показаны на рис. 1, 2. Как видно из рисунков, с увеличением температуры скорость хлорирования сополимера увеличивается, а с увеличением концентрации сополимера в растворе содержание хлора в нем уменьшается.

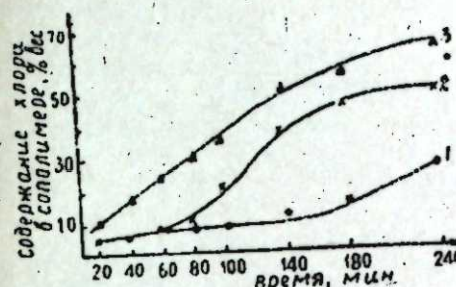


Рис. 1. Влияние температуры на процесс термического хлорирования.  
Хлорирование этилен-пропиленового сополимера, содержащего 23% мольных пропилена. Концентрация сополимера в растворе 25 г/л. Скорость подачи хлора – 80 мл/мин.  
Температура: 1 – 30°C; 2 – 50°C; 3 – 77°C.

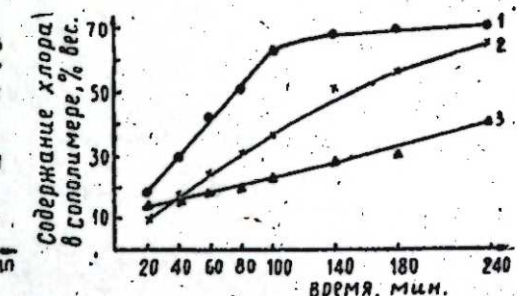


Рис. 2. Влияние концентрации сополимера в растворе на процесс термического хлорирования.  
Хлорирование этилен-пропиленового сополимера, содержащего 23% мольных пропилена. Скорость подачи хлора – 80 мл/мин.  
Температура хлорирования – 77°C.  
Концентрация: 1 – 12,5 г/л; 2 – 25 г/л; 3 – 50 г/л.

Показано, что с увеличением содержания хлора увеличивается удельный вес сополимера (табл. 1).

Таблица 1

Содержание хлора в сополимере, % вес.	Удельный вес сополимера, г/см <sup>3</sup>
4,3	0,870
5,8	0,875
7,8	0,891
11,0	0,928

Любой тый факт является изменение кристалличности сополимера в процессе хлорирования.

Хлорированию был подвергнут сополимер с кристалличностью 6%. Результаты опытов показали, что введение в состав такого сополимера небольшого количества хлора увеличивает кристалличность; дальнейшее повышение содержания хлора резко снижает кристалличность сополимера и получается полностью аморфный продукт.

Указанный факт объясняется, видимо, действием хлора в начальный период реакции на третичный атом углерода, связанный с метильной группой, и несколько увеличивает регулярность макромолекулярной цепи.

В дальнейшем хлор действует на вторичные углеродные атомы, тем самым уменьшая длину микрополиэтиленовых участков, в результате чего кристалличность исчезает.

На рис. 3 показаны рентгенограммы исходного и хлорированных сополимеров. Как видно из интенсивностей поглощения введение 5,3% вес. хлора в сополимерную цепь увеличивает кристалличность от 6 до 12%; сополимер, содержащий в своем составе свыше 10% вес. хлора, является полностью аморфным.



Рис. 3. Рентгенограммы этилен-пропиленовых сополимеров с различным содержанием хлора.

На основе хлорированных сополимеров были приготовлены резиновые смеси, которые подвергались серной вулканизации.

#### Состав резиновой смеси

СКЭП хлорированный	100 вес. ч.
Сажа НАФ	30
Окись цинка	15
Сера	2
Стеариновая кислота	2
Тиурат	2
Каптакс	1

Резиновая смесь на основе нехлорированного СКЭП была приготовлена по стандартному рецепту [13].

В табл. 2 представлены физико-механические показатели вулканизатов нехлорированного и хлорированных этилен-пропиленовых сополимеров.

Таблица 2

Физико-механические показатели вулканизатов	СКЭП	Хлорированный СКЭП		
		11% хлора	13% хлора	17% хлора
Прочность на разрыв, кг/см <sup>2</sup>	150	185	160	170
Относительное удл., %	300	550	550	560
Остаточное удл., %	20	40	36	13
Твердость по ТИР	72	74	56	52
Эластичность по отскоку, %	56	42	38	44
Режим вулканизации:				
время вулканизации, мин	60	30	30	30
температура вулканизации, °С	160	160	160	160

Из данных табл. 2 следует, что серные вулканизаты хлорированных сополимеров имеют высокие физико-механические показатели.

#### Выводы

1. Исследован процесс термического хлорирования этилен-пропиленового сополимера при температурах 30—77°C. Показано, что с увеличением температуры скорость термического хлорирования увеличивается, а с увеличением концентрации сополимера в растворе содержание хлора в нем уменьшается.

2. Показано, что серные вулканизаты на основе хлорированных сополимеров этилена с пропиленом обладают высокими физико-механическими показателями.

#### ЛИТЕРАТУРА

- Natta G. Rubber Plastics Age, 1957, 38, 495.
- Сеидов Н. М., Далин М. А., Камбаров Ю. Г., Арутюнов И. А., Бахшизаде А. А., Азерб. хим. ж. 1965, № 3, 73.
- Gladding E. K., Fisher B. J. and Collete J. W. Ind. and Eng. Chem. 1962, vol. 1, № 2, 65.
- Natta G., Crespi G., Bruzzone M. Kautschuk und Gummi, 1960, 13, № 8, 220.
- Итальянский патент 571 587.
- Патент США 2 996 473, 15. VIII 1961.
- Патент США 3 088 930; 7. V 1963.
- Патент США 3 062, 795, 6. II 1962.
- Английский патент 898 263.
- Лившиц И. А., Рейх В. Н., Салинс К. Ю., Соркина Ф. М. Каучук и резина, 1963, № 5, 11, 11.
- Schöpfer W. Microchim. acta, № 1, 123, 1955.
- Соколова Н. В., Орестова В. А., Николаева Н. А. Журнал анал. химии, 1959, т. XIV, вып. 4, 472.
- Giulio E., Ballini G. Kautschuk und Gummi, 1962, 15, № 1, 6.

Поступило 4.II 1966

Н. М. Сеидов, С. М. Науберг, М. А. Далин

#### Етилен-пропилен еластомеринин хлорлашдырылмасы

#### ХУЛАСӘ

Етилен-пропилен синтетик каучуку дојмуш еластомерләр синфин-дәндир. Буна көрә онун ади методла (күкүрдлә) вулканлашмасы чәтнидир. Етилен-пропилен каучукунун вулканлашмасыны асанлашдырмаг үчүн онун тәркибинә бир нечә файз хлор дахил едиб, алымыш хлорлу бирләшмәни ади методла (күкүрдлә) вулканлашдырмаг олар.

Мүәјжән едилмишdir ки, температур артдыгда хлорлашма сүр'әти артып. Хлорлашмыш етилен-пропилен каучукунун вулканлашмасы жүксәк-физики-кимжәви көстәричиләре маликдир.

ФИЗИЧЕСКАЯ ХИМИЯ

С. А. АЛЕКПЕРОВА, С. П. ДЖАВАДОВ, Ю. С. НИКИТИН

**СТРУКТУРНО-СОРБЦИОННАЯ ХАРАКТЕРИСТИКА ГЛИН  
НЕКОТОРЫХ МЕСТОРОЖДЕНИЙ АЗЕРБАЙДЖАНСКОЙ ССР**

(Представлено академиком АН Азербайджанской ССР М. Ф. Нагиевым)

В предыдущей работе [1] были изложены результаты изучения адсорбции метанола и бензола на глинах некоторых месторождений Азербайджана.

Однако наличие в молекуле метанола сильно полярной гидроксильной группы и  $\pi$ -электронных связей в бензольном кольце способствует возникновению значительного специфического взаимодействия молекул этих адсорбатов с катионами и гидроксильными группами, расположенными на поверхности глинистых частиц.

Как известно, метanol хемосорбируется на поверхности гидроксильных адсорбентов; кроме того, вследствие нежесткости кристаллической структуры возможно набухание бентонитовых глин в парах указанных адсорбатов. Эти дополнительные эффекты мешают наблюдению чисто адсорбционной картины.

Поэтому представляло интерес исследовать адсорбцию молекул некоторых индифферентных веществ, способных лишь к дисперсионному взаимодействию с поверхностью адсорбента. Однако в этих случаях необходимо учитывать стерические факторы — размеры и геометрическую структуру молекул адсорбата, ибо этими факторами обусловливается доступность поверхности адсорбента, а также ориентация молекул адсорбата относительно адсорбционных центров на поверхности.

В настоящей работе в качестве адсорбатов был выбран криптон, шарообразные молекулы которого обладают равномерным распределением плотности электронного облака и нормальный гексан, молекулы которого можно представить в виде вытянутых цепочек из углеводородных звеньев.

Удельные поверхности образцов были рассчитаны из изотерм низкотемпературной адсорбции криптона (рис. 1), измеренных на объемной адсорбционной установке [4].

В случае криптона любые расположения молекул на поверхности адсорбента энергетически равнозначны, поэтому величина дисперсионного взаимодействия определяется массой и вандерваальсовыми размерами молекул.

Площадка, занимаемая молекулой криптона в плотном монослое, мало зависит от природы поверхности адсорбента и колебается в пределах от 19 до 21,5 Å<sup>2</sup> [2—5].

При расчете удельных поверхностей глинами была использована величина площадки 21 Å<sup>2</sup>, предложенная для гидроксилированного кремнезема [4] и цеолита [5].

На рис. 2 и 3 представлены изотермы адсорбции нормального гексана, снятые на вакуумной установке с пружинными кварцевыми весами при 25°(6). До впуска паров гексана образцы были откачаны до остаточного давления  $1 \cdot 10^{-6}$  мм рт. ст. при 150°. Все изотермы имеют S-образную форму с гистерезисной петлей, простирающейся до относительного давления около 0,2.

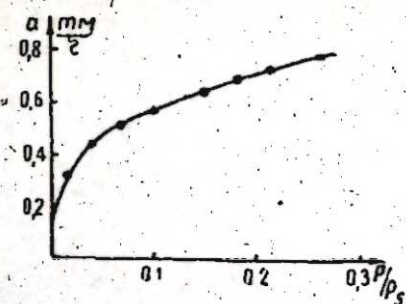


Рис. 1. Типичная изотерма адсорбции криптона на бентонитовой глине (образец № 7).

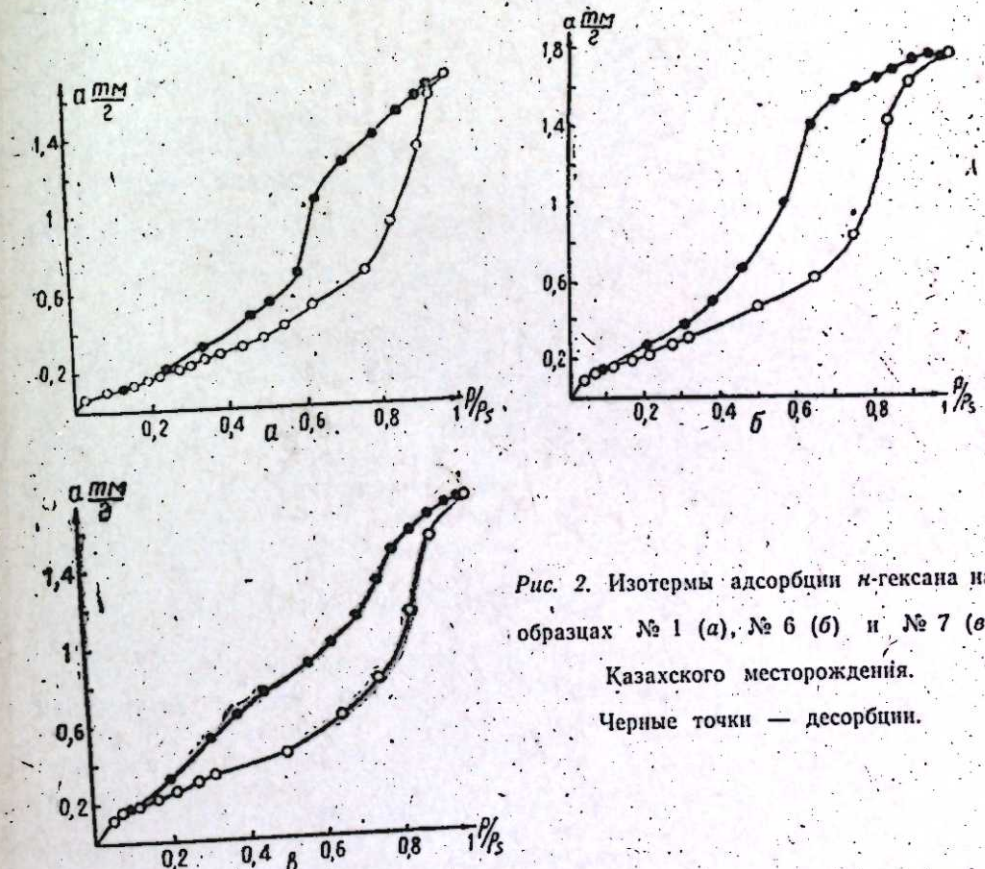


Рис. 2. Изотермы адсорбции *n*-гексана на образцах № 1 (а), № 6 (б) и № 7 (с) Казахского месторождения.  
Черные точки — десорбции.

Анализ изотерм в области капилляро-конденсационного гистерезиса позволяет заключить, что в образцах №№ 8 и 11 Кобыстанского месторождения количество пор диаметром больше 40—55 Å весьма незначительно; на это указывает и то обстоятельство, что около 40% всего объема гексана, поглощенного этими образцами, приходится на область  $P/P_0$  до 0,35. В образцах №№ 1, 6 и 7 Казахского месторож-

дения, наряду с мелкими порами, содержит значительное количество крупных пор. Обращает внимание наличие на десорбционной ветви изотерм этих образцов двойного перегиба, позволяющего предположить в них бидисперсию структуру.

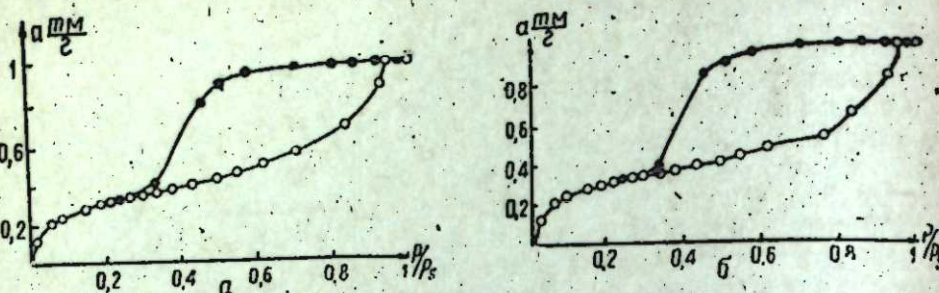


Рис. 3. Изотермы адсорбции *n*-гексана на образцах № 8 (а), № 11 (б) Кобыстанского месторождения.  
Черные точки — десорбция.

Образцы	$a_m$ , кг, $mM/g$	$S_{уд.}$ , кг, $M^2/g$	$a_m \cdot C_{6}H_{14}$ , $mM/g$	$\omega_{C_6H_{14}}$ , $\text{\AA}^2$	$V_{S, C_6H_{14}}$ , $cm^3/g$	$V_{S, C_6H_{14}}$ , $cm^3/g$	$C$
№ 1	0,38	48	0,163	47,5	0,218	0,213	8,5
№ 6	—	—	0,254	—	0,233	0,228	9,8
№ 7	0,612	76	0,273	47,6	0,224	0,215	11,4
№ 8	0,715	90	0,310	48,4	0,134	—	37,1
№ 11	0,593	78	0,256	48,5	0,140	0,144	44,4

В предыдущем сообщении [1] было показано, что для всех исследованных образцов предельные сорбируемые объемы бензола значительно превосходят суммарные объемы пор, рассчитанные из кажущихся и истинных удельных весов. Это завышение мы отнесли за счет неизвестности кристаллической структуры бентонитовых глин и возможного набухания их в парах бензола. Как видно из таблицы, предельные сорбируемые объемы по бензолу и гексану находятся в хорошем согласии, следовательно, описанный эффект характерен для обоих адсорбатов. Для исследованных образцов глин уравнение БЭТ выполняется удовлетворительно. Однако, необходимо отметить, что для образцов №№ 8 и 11 Кобыстанского месторождения, начиная с относительных давлений  $\sim 0,27$ , точки ложатся выше прямой (рис. 4). Можно предположить, что в этих образцах оказывается характерное для мелких пор перекрывание и наложение потенциальных полей.

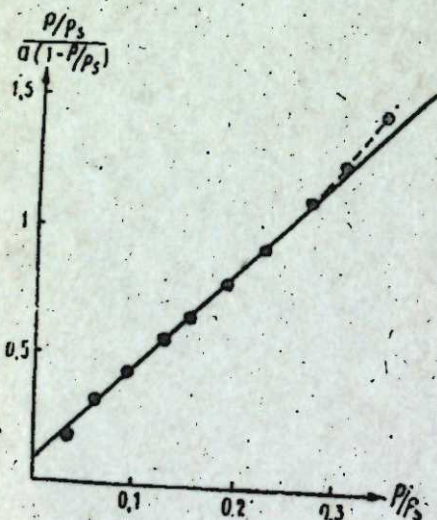


Рис. 4. Изотерма адсорбции *n*-гексана на образце № 11 в координатах уравнения БЭТ.

соседних стенок, способствующее преимущественному заполнению указанных пор, наступающему до образования сплошной мономолекулярной пленки. На справедливость этого предположения указывают величины энергетической константы С уравнения БЭТ для образцов №№ 8 и 11, в несколько раз превосходящие таковую для образцов Казахского месторождения (таблица).

Нами была рассчитана площадка, занимаемая молекулой *n*-гексана в плотном монослое, из соотношения:

$$\omega_{C_6H_{14}} = \frac{\omega_{kr} a_{m,kr}}{a_m \cdot C_{6}H_{14}}$$

Результаты представленные в таблице, позволяют рекомендовать площадку для молекулы *n*-гексана, адсорбированной на поверхности бентонитовой глины,  $48 \text{ \AA}^2$ .

## Выводы

- Сняты изотермы адсорбции криптона и *n*-гексана на образцах глин месторождений Азерб. ССР.
- Наиболее достоверные величины удельных поверхностей можно получить из изотерм адсорбции инертных газов. Для изучения структурно-сорбционной характеристики бентонитовых глин, наряду с бензоловым, можно рекомендовать нормальный гексан.
- Для площадки, занимаемой молекулой *n*-гексана в плотном монослое, в случае бентонитовых глин предложена величина  $48 \text{ \AA}^2$ .

## ЛИТЕРАТУРА

- Алекперова С. А., Джавадов С. П., Никитин Ю. С. Азерб. хим. ж. № 4, 1965.
- Всеbe R. A., Beckwith J. B. and Honig J. M. J. am. Chem. Soc. 67, 1554, 1945.
- Davis R. T., Witt J. W. De, Emmet P. H., J. phys. Coll. Chem., 51, 1246, 1946.
- Киселев А. В., Королев А. Я., Петрова Р. С., Шербакова К. Д. Коллонд. ж., 1960, 22, 671.
- Аристов Б. Г., Киселев А. В., Мирский Я. В., Павлова Л. Ф., Петрова Р. С. Химия и технология топлив и масел, 8, 7, 1962.
- Киселев А. В., Погосян Т. А. Колл. ж., 22, № 3, 1960.

АГУ им. С. М. Кирова

Поступило 21. X 1965

С. Э. Элэкбэрова, С. П. Чавадов, Ю. С. Никитин

Азэрбајҹан килләриндән бә’зиләринин структур-сорбсија хүсусијәтләри

## ХУЛАСЭ

Бу ишдә Гобустан вә Газах килләриндән бә’зиләрнә криптон вә нормал һексан молекулларының адсорбсијасы тәдгиг едилемишdir. Һәмин маддәләр, адсорбентин сәттى илә јалныз дисперсија мұнасибәти: ола билән, индиферент адсорбат кими сечилмишdir. Криптонун һәчми, адсорбсија чиһазында өлчүлмүш вә адсорбсија изотермләrinә әсасен кил нүмнәләринин хүсуси сәттәләри несабланмышдыр.

Нормал һексаның адсорбсија изотермләри  $25^\circ\text{C}$ -да кварс яјлы тәрэсиси олап вакуум гурғусунда алымышдыр. Изотермләrin һамысы: истерьезис һиссәли S-ә бәнзәр щаклә маликдир. Изотермләrin анали-

зинэ өсасэн кил нүүмнэлэрийн тургуулушу наагында мүнхакимэ јурүү дүлмүшдүр.

Тэдгиг олунан нүүмнэлэрдэ БЭТ тэнлийнин јохланмасы гэнаэтлэнд иричи нэтичэ вершишдир. Мэгалэдэ Гобустан киллэрийдэн 8 вэ 11 №-ли нүүмнэлэрийн һэмийн тэнликтэн бир гэдэр кэнара чыхмасы изаһ едилмишдир. Ейни заманда, *n*-Нексанын бир молекулунун монотэбэгэдэ тутдуғу саһе несабланышдыр. Алынан нэтичэлэрэ өсасэн бентонит килинин сэгтниндэ адсорбсија олуммуш нормал нексанын бир молекулу үчүн  $48 \text{ A}^{\circ 2}$  саһе мүйжэн едилмишдир.

литология

Д. М. СУЛЕЙМАНОВ

**К ВОПРОСУ РАСПРЕДЕЛЕНИЯ И ГЕНЕЗИСА ГЛИНИСТЫХ  
МИНЕРАЛОВ В ДОННЫХ ОСАДКАХ МИНГЧАУРСКОГО  
ВОДОХРАНИЛИЩА**

(Представлено академиком АН Азербайджанской ССР А. Д. Султановым)

Изучение генезиса глинистых минералов представляет собой довольно сложную задачу и поэтому вполне естественно, что этот вопрос до сего времени не получил однозначного решения.

По вопросу генезиса глин существуют различные взгляды. Одни связывают образование глинистых минералов с физико-химической средой водоема; другие считают, что эти минералы формируются вначале в водосборе и затем переносятся в водоем и, наконец, третья группа исследователей приводит убедительные доказательства в пользу зависимости генезиса глин от физико-географических условий осадконакопления, геолого-литологической характеристики области сноса и др. [2].

В связи с этим небезинтересно привести некоторые данные по генезису глинистых минералов Мингечаурского водохранилища. Современные донные осадки водохранилища представлены глинистыми грунтами, связанными между собой постепенными переходами и зачастую весьма сходны по внешнему облику. По классификации Н. М. Страхова [3], указанные отложения относятся к группе алевритов и алевритово-глинистых илов. Основной водной артерией, поставляющей материал в водохранилище, является р. Кура, средняя минерализация которой равна примерно  $250 \text{ mg/l}$ . По классификации О. А. Алекина, воды р. Куры относятся к гидрокарбонатно-кальциевым водам. Около 60% приходится на карбонаты Ca и отчасти Mg. На сульфат Mg и отчасти Na падает 38%. Содержание фосфатов и нитратов как и кремния весьма незначительно. Река Кура вносит в водохранилище ежегодно выше 10 млн  $\text{m}^3$  взвешенных наносов, значительная часть которых оседает в районе устьев рек Куры, Алаизани и Иори, т. е. в мелководной зоне северо-западной части водохранилища. Среднее содержание фракции  $<0,005 \text{ mm}$  в взвешенных наносах р. Куры составляет 29%.

В тонкодисперсной фракции ( $<0,001 \text{ mm}$ ) взвесей указанных выше рек при помощи электронной микроскопии, в иммерсионных препара-

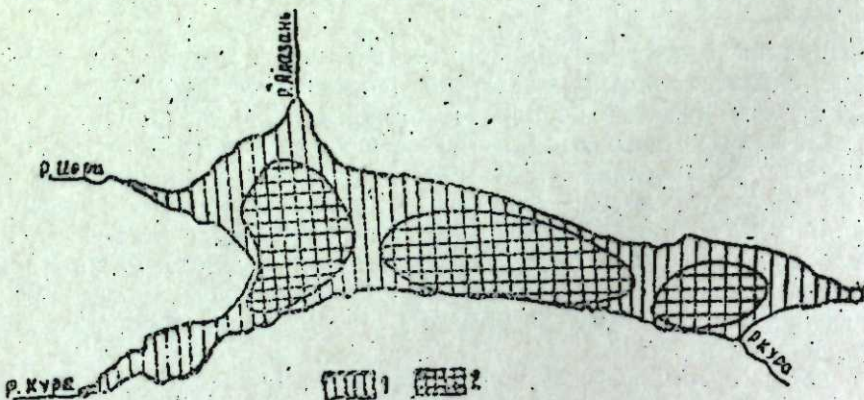
так, термического и химического анализов, а также по интенсивности рефлексов на рентгенограммах установлено содержание следующих глинистых минералов: гидрослюды, монтмориллонита, бейделлита и каолинита.

Химический состав взвеси по данным 5 анализов характеризуется содержанием  $\text{SiO}_2$  от 53,80 до 55,71%;  $\text{Fe}_2\text{O}_3$  от 2,63 до 4,76%;  $\text{Al}_2\text{O}_3$  — от 21,58 до 24,10%;  $\text{CaO}$  — от 1,53 до 6,02%;  $\text{MgO}$  от 1,37 до 2,45%;  $\text{Na}_2\text{O} + \text{K}_2\text{O}$  — от 0,68 до 1,28%;  $\text{O}_2$  от 0,48 до 1,32 и потери при прокаливании составляют от 5,2 до 5,8%.

Исследование глинистых минералов и их распределение по дну водоема показало, что основным компонентом фракции  $<0,001 \text{ mm}$  является гидрослюда, которая могла образоваться в результате разложения полевых шпатов, слюд, а также обломков глинистых пород, присутствующих в алевритовой фракции исследуемых грунтов в преобладающем количестве.

Подчиненное положение занимает бейделлит, который образовался за счет темноцветных компонентов и, в частности, роговых обманок, хлоритов и др.

Монтмориллонит связан с амфиболами и пироксенами, которые отмечены в значительном количестве в алевритовой фракции грунтов. И, наконец, каолинит, который образуется из полевых шпатов в кислой среде.



Схематическая карта распределения глинистых минералов в донных осадках Мингечаурского водохранилища:

1—гидрослюда; 2—участки со смешанными глинистыми минералами.

На общем фоне развития гидрослюды выдаются 3 эллипсоидальной формы участка, в которых встречаются смешанные разности, т. е. в ассоциации с гидрослюдой присутствует и целый ряд других глинистых минералов (рисунок). Первый из них охватывает северо-западную мелководную часть водохранилища, второй имеет вытянутую форму и занимает ее центральную часть и третий примыкает к головной части водоема и, частично, охватывает Ханабадский залив. Местоположение этих участков почти полностью совпадает с тремя районами круговой циркуляции вод, выделенными Р. Б. Таривердиевым [4]. Образование участков со смешанными глинистыми минералами объясняется тем, что поступление терригенного материала в водоем отличалось интенсивностью, это исключало нормальную механическую дифференциацию, и поэтому весь неотсортированный материал подвергался быстрому захоронению. Большая скорость осадконакопления

способствовала и незначительному изменению гранулометрического состава осадков вниз по разрезу. За пределами выделенных нами участков имеет место замедленная седиментация, вследствие чего мощность современных донных осадков оказывается незначительной.

В ряде колонок грунта выделенных 3 участков с повышенным гидродинамическим режимом смешанная ассоциация глинистых минералов в грунтах с глубиной сохраняется.

Итак, произведенные исследования показывают, что все глинистые минералы имеют кластическую природу и их распределение по площади водохранилища в значительной степени подчиняется гидродинамическому режиму [1, 3].

## ЛИТЕРАТУРА

- Кленова М. В. Геология моря. Учпедгиз, 1948.
- Ратеев М. А. Законыомерности размещения и генезис глинистых минералов в современных и древних морских бассейнах. Изд. АН СССР, 1964.
- Страхов Н. М. Основы теории литогенеза, т. 1—2, Изд. АН СССР, 1960.
- Таривердиев Р. Б. Гидрогеология Мингечаурского водохранилища, Изд. АГУ, 1959.

Институт геологии

Поступило 15. II 1965

Ч. М. Сүлејманов

Минкәчевир су һөвзәси диг чөкүнүләрдиң кил минералларының жајылмасы вә кенезисинин өјрәнилмәси нағында

## ХУЛАСӘ

Минкәчевир су һөвзәсинин мүасир диг чөкүнүләри килли грунтдан ибарәт олараг, Н. М. Страхов тәсніфаты үзрә, алеврит вә килли-алеврит лилләри группа аиддир. Бу грунтлар Күр, Азан вә Иори чајларының кәтирдиң чөкүнүләрдән әмәлә кәлмишdir. Күр чајының асылы налда кәтирдиң чөкүнүләринин 29%-ни 0,005  $\text{mm}$ -дән кичик олан һиссәчикләр тәшкىл едир. Комплекс шәклиндә апарылан тәдгигаттар нәтижәсендә чајын зәйф дисперс мүһитиндә микалы шистләр, монтмориллонит, бейделлит вә каолинит кими килли минералларын мигдары тә'жин едилмишdir.

Су һөвзәсинин диг чөкүнүләрдиң микалы шистләр ичәрисинде 3 еллипсвары форма саһәси айрылыр. Бу саһәдә микалы шистләр илә бирликдә монтмориллонит, бейделлит вә каолинит дә иштирак едир. Бу саһәләр Р. Б. Таривердиев тәрәфиндән айрылан сујун даирәви һәрәкәт рајонуна уйғундур.

Су һөвзәсинин диг чөкүнүләрдинде йерләшән кил минераллары террикен јолла әмәлә кәлмиш вә онларын жајылмасы гидродинамики режимдән асылыдыр.

ПОЛЕЗНЫЕ ИСКОПАЕМЫЕ

А. Г. СЕИДОВ, И. Д. АЛИЕВ, М. Б. ХЕИРОВ

**О ПРИСУТСТВИИ АЛУНИТА В КАОЛИНОВЫХ  
МЕСТОРОЖДЕНИЯХ АЗЕРБАЙДЖАНА**

(Представлено академиком АН Азербайджанской ССР А. Д. Султановым)

Алунит является ценным минералом, имеющим большое промышленное значение, так как он служит основным сырьем для получения глинозема, калиевых солей, серы, серной кислоты и др.

Известно, что образование алунита в основном связано с воздействием сернокислых растворов на полевошпатовые породы, какими могут служить туфы, туффиты, вторичные кварциты и др. [3, 5]. В этих породах отмечается минерализация алунита в месторождениях Загликско-Дашкесанской группы, а также в проявлениях Човдардаг, Мирзик, Кушчу и других местах республики, которые освещены в работах М. А. Кашкая [3], Ш. А. Азизбекова [1], Г. Х. Эфендиева [6] и др. Те же самые породы принимают участие в каолиновых месторождениях республики. С одной стороны, одинаковые геологические приуроченности алунитовых и каолиновых месторождений и проявлений, а с другой, литературные данные [1, 3, 4, 5, 6] о наличии тесной парагенетической связи алунита с каолинитом навели нас на мысль о необходимости проверить возможность присутствия алунита среди каолинитизированных пород.

С этой целью многочисленные образцы каолинов и огнеупорных глин нами подвергались комплексному (рентгеноструктурному, термическому, спектральному, химическому и др.) изучению. В результате исследований наши предположения подтвердились, т. е. в Чардахлинском и Готулском месторождениях обнаружен алунит среди каолинов и огнеупорных глин и помимо этого в Загликском каолиновом месторождении обнаружена порошкообразная разновидность алунита, макроскопически отличающаяся от ранее описанных [3] плотных разновидностей его. Чардахлинские и готулские алуниты также представлены в порошкообразном виде. Цвет чардахлинского алунита белый с зеленоватым оттенком, готулского — белый, а загликского — серовато-белый. В первом и во втором присутствуют бесформенные зернышки кварца размерами 1—3 мм.

Ввиду отсутствия кернового материала каолиновые породы месторождения Чардахлы и Заглик изучены по образцам, взятым из канав и естественных обнажений, а в Готулском месторождении исследова-

нию подвергался керновый материал, взятый из скважины, пробуренной разведочной партией Азгеологоуправления с целью выяснения мощности каолиновых зон.

Разрез скважины, где нами обнаружен алунит, выглядит следующим образом: от 0 до 1 м — почвенный слой; от 1 до 4 м — слабокаолинитизированная, почвообразная зона коричневатого цвета; от 5 до 7,25 м — белая каолинитизированная (местами размытая) зона с кусками вторичного кварца; от 7,25 до 12 м — алунито-каолиновая зона (белого цвета, местами размытая), а от 12 м начинаются слабонизненные (каолинитизированные и алунитизированные) туфы и туффиты. На глубине 34 м последние становятся неизмененными и плотными, так как степень алунитизации и каолинитизации заметно падает.

Ниже даются результаты исследований характерных образцов. Термические кривые (рис. 1) этих образцов сопровождаются тремя эндотермическими и одним экзотермическим эффектами. Первый слабо выраженный эндотермический эффект с максимумами при 150—200°C обусловлен выделением гигроскопической воды, что связано с присутствием примесей глинистых минералов. Второй и третий интенсивно выраженные эндотермические эффекты с максимумами при 550—570°C, 770—850°C и экзотермический эффект при 720—740°C характерны для алунита. Как известно [2], при 550—570°C происходит дегидратация алунита, при 720—740°C — перестройка решетки, что сопровождается выделением теплоты [2—7], а при 770—850°C — разложение его и выделение SO<sub>3</sub>.

Для уточнения диагностики обнаруженного минерала были сняты дифрактометрические кривые порошков образцов-породы и глинистой фракции (<0,001 мм). Дифрактометрические кривые, как это видно из рис. 2 и 3, характеризуются четкими и интенсивными пиками с межплоскостными расстояниями  $d(101)=5,67-5,75$ ;  $d(0,12)=4,92-4,99$ ;  $d(110)=3,48-3,51$ ;  $d(2243)=3,29-3,31$ ;  $d(015; 113; 021)=2,97-3,01$ ;  $d(006)=2,88-2,90$ ;  $d(024)=2,47-2,49$ ;  $d(116; 122)=2,21-2,22$ ;  $d(026; 125; 033)=1,89-1,90$ ;  $d(220)=1,74-1,75$  Å и др., характерными для алунита. Эти пики наиболее интенсивны на рентгенограммах указанных выше образцов и рентгенограммах, образцов, взятых из интервала глубин 7,25—12 м Готулского каолинового месторождения. Причем, следует отметить, что на рентгенограммах этих образцов присутствуют лишь характерные рефлексы алунита (за исключением отдельных слабых рефлексов).

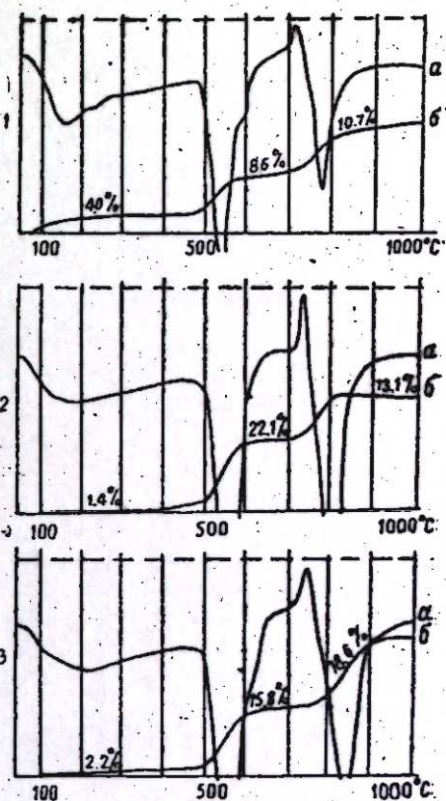


Рис. 1. Дифференциальные термические кривые нагревания (а) и кривые потери веса (б) алунита:  
1 — обр. 37 из Чардахлы; 2 — обр. 207 из Готул; 3 — обр. 60 из Заглика.

На рентгенограммах глинистой фракции этих образцов параллельно с дифракционными линиями алюнита появляются также дифракционные линии таких глинистых минералов, как монтмориллонит, гидрослюдя, галлуазит и каолинит. Здесь же отметим, что их суммарное содержание в указанных выше образцах не превышает 10–15% от общей массы породы.

В других образцах содержание глинистых минералов возрастает, а содержание алюнита наоборот уменьшается.

Монтмориллонит на рентгенограммах изученных образцов характеризуется базальным рефлексом первого порядка с межплоскостным расстоянием  $12,5\text{--}15,6 \text{\AA}$ , который сокращается до  $9,8 \text{\AA}$  после нагрева образца при  $580^\circ\text{C}$  в течение 40 мин (рис. 2б). Каолинит характеризуется интенсивными базальными рефлексами с межплоскостными расстояниями  $d(001) = 7,14$ ;  $d(002) = 3,57$ ;  $d(003) = 2,38$ ;  $d(004) = 1,785 \text{\AA}$  и другие, которые исчезают после нагрева образца при температуре  $580^\circ\text{C}$ . Для гидрослюды характерно появление базальных рефлексов с межплоскостными расстояниями  $d(001) = 10 \pm 0,2$ ;  $d(003) = 3,32$  –  $3,35 \text{\AA}$ . Встреченный в изученных образцах галлуазит является гидратированным и имеет сильные базальные рефлексы (001) и (003), которые совпадают с таковыми гидрослюды и сокращаются до  $7,20$  и  $3,60 \text{\AA}$ , а после нагрева при температуре  $120^\circ\text{C}$  усиливаются базальные рефлексы каолинита (рис. 2в, 3д), что объясняется выделением воды. После нагрева как образцов породы, так и соответствующих глинистых фракций при температуре  $580\text{--}600^\circ\text{C}$  на их рентгенограммах остаются только лишь дифракционные эффекты, соответствующие базальным рефлексам гидрослюд с межплоскостными расстояниями  $d(001) = 9,8$ ;  $d(002) = 4,9$ ;  $d(003) = 3,30$ ;  $d(004) = 2,45$ ;  $d(005) = 1,96 \text{\AA}$  (рис. 2г, 3д) и рефлексы, соответствующие кварцу с межплоскостными расстояниями  $3,34$ ;  $1,81$ ;  $1,37 \text{\AA}$  и др., так как при этом рефлексы монтмориллонита совпадают с таковыми гидрослюд, а рефлексы каолинита, галлуазита и алюнита исчезают вследствие разрушения их кристаллических решеток.

Ввиду аналогичности дифрактометрических кривых алюнита с таковым ярозита изученные образцы были подвергнуты полуколичественным спектральным и химическим анализам. Спектральным анализом установлено  $\text{Fe} < 2\%$ ,  $\text{Al} > 5\%$ , а химическим  $\text{Fe}_2\text{O}_3 < 3\%$ ,  $\text{Al}_2\text{O}_3 > 36\%$ . Результаты анализов подтверждают, что дифрактометрические кривые исследованных образцов относятся к алюниту.

### Выводы

1. Впервые нами установлено наличие алюнита в Чардахлинском и Готулском месторождениях каолинов и оgneупорных глин.
2. В Загликском каолиновом месторождении обнаружена порошкообразная разновидность алюнита, макроскопически отличающаяся от ранее описанных плотных разновидностей его.
3. Во всех вышеотмеченных пунктах алюнит встречается в ассоциации с каолинитом, галлуазитом и гидрослюдой.
4. Мощность алюнито-каолиновой зоны в Готулском месторождении составляет около 4,5 м. Установлено, что степень измененности пород и содержание алюнита с глубиной уменьшается.
5. Считаем целесообразным провести поисковые работы для уточнения контура и мощности алюнитовых зон и определения практической значимости алюнита в указанных и других каолиновых месторождениях, что, несомненно, помимо минералогического интереса, имеет большое практическое значение.

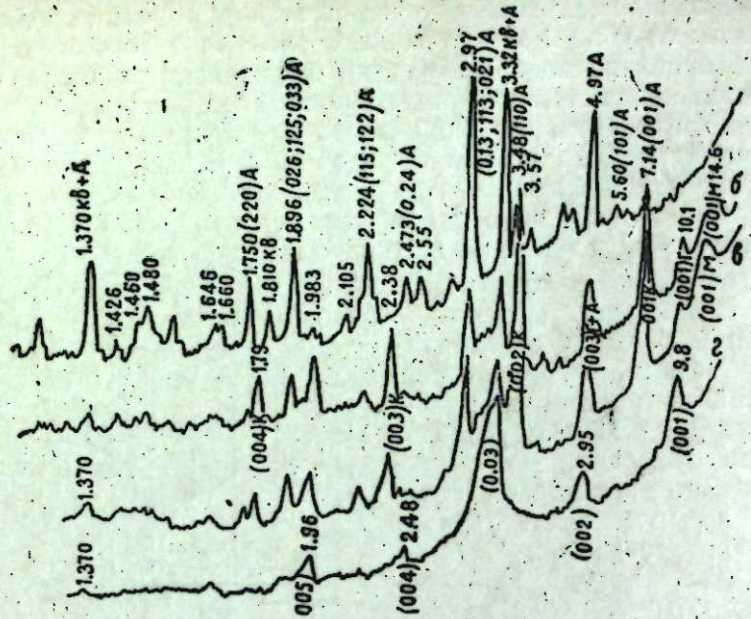


Рис. 2. Дифрактометрические кривые алюнита Чардахлинского месторождения (обр. 37):

а—порода; б—фракция 0,001 мм; в—фракция 0,001 мм (нагретый до  $120^\circ\text{C}$ ); г—фракция 0,001 мм (нагретый до  $580^\circ\text{C}$ ). А—алунит; Кв—кварц; К—каолинит; М—монтмориллонит; Г—гидрослюдя.

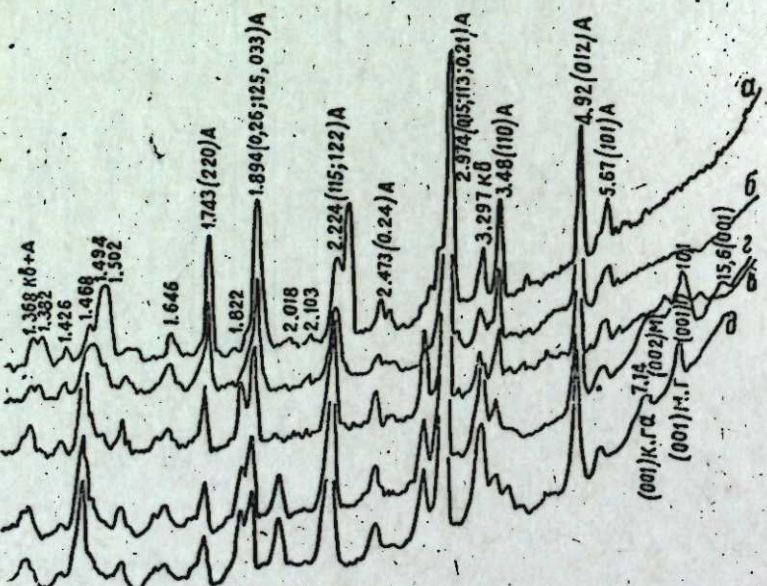


Рис. 3. Дифрактометрические кривые алюнита:

а—фракция 0,001 мм (обр. 60 из Заглика); б—порода (обр. 207 из Готул); в—порода (обр. 206 из Готул); г—фракция 0,001 мм (обр. 207); д—фракция 0,001 мм, нагретый до  $120^\circ\text{C}$  (обр. 207). А—алунит; Кв—кварц; К—каолинит; М—монтмориллонит; Г—гидрослюдя; Га—галлуазит.

## ЛИТЕРАТУРА

1. Азизбеков Ш. А. Геология и петрография северо-восточной части Малого Кавказа. Изд. АН Азерб. ССР, 1947.
2. Берг Л. Г. Введение в термографию. Изд. АН СССР, 1961.
3. Кашкай М. А. Алунитизация и каолинизация в Заглинском месторождении. Изд. АзФАН СССР, 1939.
4. Кашкай М. А. Образование глинистых минералов при гидротермальных процессах. Материалы по геол., минералогии и использ. глин в СССР. Док. на международном совещании по глинам в Брюсселе в 1958 г. Изд. АН СССР, 1958.
5. Набоков С. И. Образование глин при поствулканических процессах. Изд. АН СССР, 1958.
6. Эфендиев Г. Х. Гидротермальный рудный комплекс с.-в. части Малого Кавказа. Изд. АН СССР, 1957.
7. Клэйк О., Феттер Н. Properties of natural aluminic clays. Journ. Amer. Ceram. Soc., 1946, № 1.

Институт геологии, АзНИИ ДН

Поступило 21.XI 1955

А. Н. Сеидов, И. Ч. Элиев, М. Б. Хеирров

## Азэрбајҹанын каолин јатагларында алунитин олмасы һагында

### ХУЛАСЭ

Мәгаләдә мүәллифләр тәрәфиндән Чардахлы вә Готул қаолин јатагларында алунит минералынын тапылмасы вә һәмчинин Зәјлик қаолин јатагында алунитин әvvәлчә мә'лум олан сых нөвүндән макроскопик фәргләнән тозшәкилли нөвүнүн ашкар едилмәсindәn бәhc олунур.

Алунитин комплекс тәдгиги (рентгенометрик, термик, спектрал, кимјәви) илә јанаши, онуна ассоциасијада олан каолинит, наллуазит, монтмориллонит, сулу мика минералларынын да тәдгиги нәтичәләрі мүәллифләр тәрәфиндән шәрһ едилir:

Мәгаләдә Чардахлы, Готул вә Зәјлик алунитләrinни термик (1-чи шәкүлә бах) вә дифрактометрик (2-3-чү шәкүлләр бах) әжриләри вәрилмишdir. Каолин сухурларында иштирак едән алунит, каолинит, наллуазит, монтмориллонит, сулу мика вә дикәр минераллары дәгиг мүәjjәнләшdirмәк учун нүмүнәләр 120 вә 580°C-дә (40 дәгигә мүддәттәнде) гызырылыб рентгенометрик тәдгиг едилмишләр (2-чи шәкил, а; 3-чү шәкил, д).

Каолин зоналарынын јан сухурлары әсасән туфлар, туффитләр вә тәрәмә кварцитләрdir.

Мәгаләдә Чардахлы, Готул вә Зәјлик јатаглары илә јанаши, башта каолин јатагларында да алунит олмасы ирәли сүрүлүр вә бу мәгәсәдлә ахтарыш ишләри апарылмасы тәклиф едилir.

АЗЭРБАЙЧАН ССР ЕЛМЛӘР АКАДЕМИЈАСЫНЫН МӘРҮЗӘЛӘРИ  
ДОКЛАДЫ АКАДЕМИИ НАУК АЗЕРБАЙДЖАНСКОЙ ССР

ТОМ XXII

№ 4

1966

## ГЕОЛОГИЯ НЕФТИ

А. Д. АЛИЕВ

## К ВОПРОСУ ПОИСКОВ ЗАЛЕЖЕЙ НЕФТИ И ГАЗА В ПОДСТИЛАЮЩИХ ПРОДУКТИВНОЙ ТОЛЩУ ОТЛОЖЕНИЯХ АНТИКЛИНАЛЬНОЙ ЗОНЫ Б. ДАРВИНА — ГЮРГЯНЫ-МОРЕ

(Представлено академиком АН Азербайджанской ССР М. В. Абрамовичем)

В связи с тем, что в описываемом районе продуктивная толща разрабатывается на протяжении многих десятилетий, все ее горизонты до подстилающих отложений включительно уже разбурены. Следует упомянуть, что в течение многих лет в Гюргянях проводились поиски стратиграфических залежей нефти в КаС; эта задача ставилась также и на о. Артема, а в последние годы — на банке Дарвина, однако относительный успех был получен только в Гюргянях. Здесь в северной части площади с южной косы о. Артема в 40-х годах было пробурено немало поисковых скважин на КаС. Из них только в трех скважинах — № 83, 84—804 — был получен незначительный приток нефти; скважины, работали сравнительно непродолжительные сроки и затем были остановлены. Так как оконтуривающие работы не дали положительных результатов, есть основание предполагать, что притоки вышеперечисленных скважин были связаны с нефтенасыщенными линзами очень ограниченной площади. Других типов залежей в тектонически экранированных ловушках или выклинивающихся пластах ПТ не предполагается, если не иметь в виду небольшой морской акватории в северо-восточной части о. Артема, которая не разбурена по техническим причинам.

Основные перспективы открытия новых залежей нефти и газа в описываемом районе связаны с бурением на мезозой.

В целях определения наиболее вероятного расположения мезозойских структур в рассматриваемой зоне нами были изучены тектонические особенности этих отложений в смежных областях и составлена карта равных мощностей нижнего отдела продуктивной толщи по б. Дарвина — Гюргяны-море, из которой видно, что изопахиты мощностей ПК и КС повторяют форму плиоценовых структур и в комплексе с другими данными свидетельствуют об одновременной седиментации и росте складчатости. Все это дает основание судить о тектонике подстилающих ПТ отложений.

Разведочными скважинами, пробуренными на далёких крыльях Северной складки о. Артема была вскрыта балаханская свита неполной

мощности. Литологический разрез слагающих ПТ отложений незначительно отличается от разрезов Апшеронского п-ва, причем в южном направлении замечается нарастание мощности этих отложений. Как

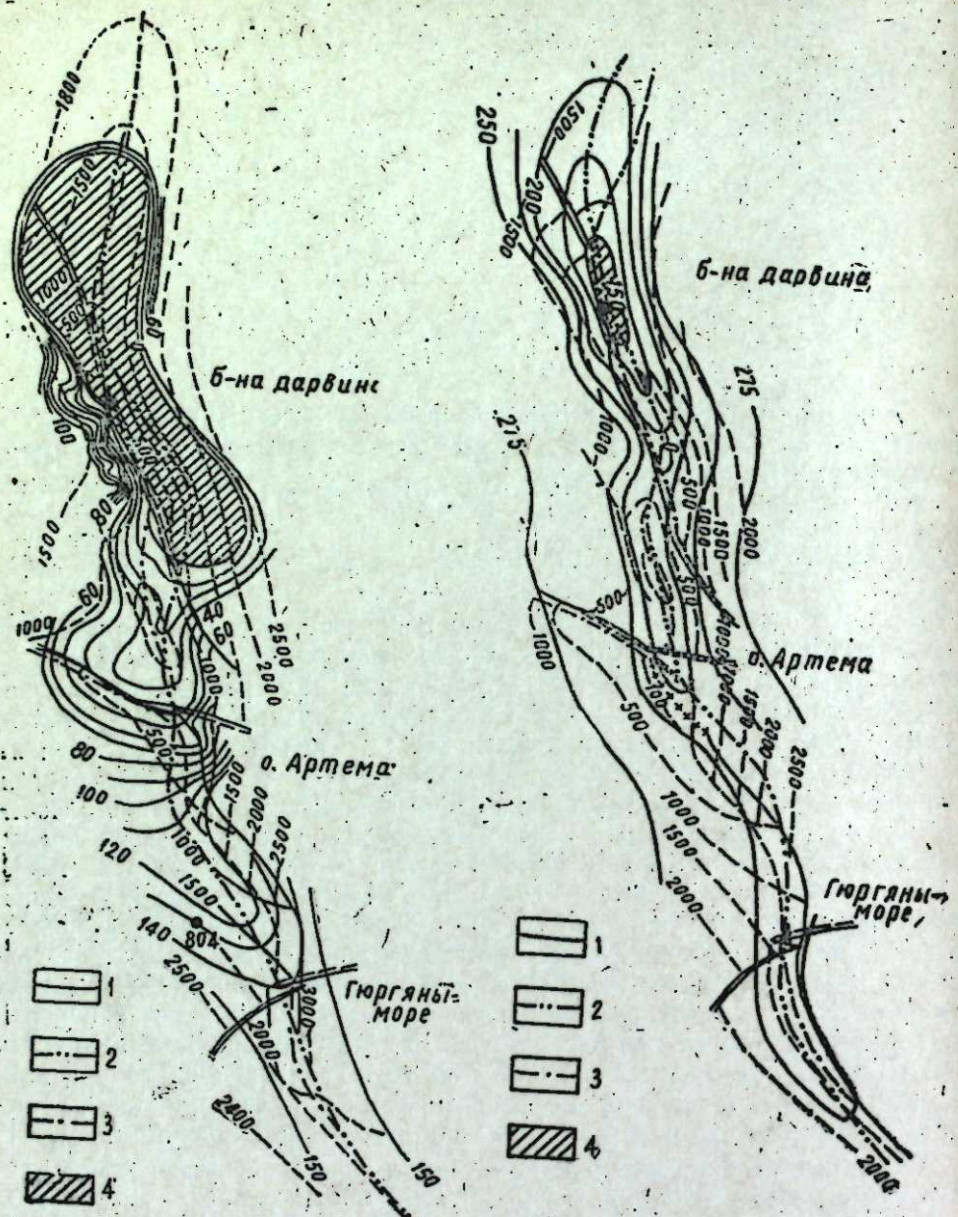


Рис. 1. Б-ка Дарвина — о. Артема — Гюргянъ-море. Кarta равных истинных мощностей ПК свиты: 1—изолинии равной мощности; 2—осевая линия по зонам минимальных мощностей; 3—осевая линия по кровле ПК свиты; 4—зона нулевой мощности.

видно (рис. 1, 2), мощности ПК и КС по их простиранию резко изменяются в связи с условиями залегания подстилающих отложений, приводящими к выпадению из разреза отдельных свит и горизонтов.

Рис. 2. Б-ка Дарвина — о. Артема — Гюргянъ-море. Кара равных истинных мощностей кирмакинской свиты: 1—изолинии равной мощности; 2—осевая линия по зонам минимальных мощностей; 3—осевая линия по кровле КС; 4—зона минимальных мощностей.

В силу этих обстоятельств свита ПК на своде Дарвинского поднятия совсем не отлагалась, а в присводовой СВ части северной складки о. Артема мощность ее достигает 20 м (минимальная мощность в этом районе); в пределах же поднятия Гюргянъ-море ее минимальная мощность равна уже 120 м. В связи с непостоянством глинистых разделов, на о. Артема свита ПК не подразделяется на отдельные горизонты.

За счет выпадения из разрезов КС нижних горизонтов общая ее мощность в присводовой зоне б. Дарвина уменьшается до 150 м.

На значительном протяжении целый ряд песчаных прослоев КС не сохраняется и постепенно переходит в глинистые; от ПК свита КС отделяется небольшим глинисто-песчаным разделом мощностью 3—4 м, который выклинивается по простиранию.

Выклинивание этого раздела и непосредственное залегание в ряде случаев горизонта КС на песках ПК свиты дает основание отметить несогласное напластование КС и ПК в пределах площади о. Артема.

Рост мощности ПК и КС в южном направлении происходит за счет добавления новых слоев в подошвенных свитах; значительная разница мощности отложений ПК и КС зависит от калинской свиты, которая на севере вовсе не отлагалась, а на юге ее мощность превышает 300 м.

Разрезы большого числа скважин северной и южной складок показывают, что на разбуренной площади породы ПК залегают на отложениях pontического яруса и диатомовой свиты, представленных глубоководной фацией. Таким образом, анализ мощностей свит нижнего отдела ПТ указывает на то, что уже в pontическое время на рассматриваемой площади определились антиклинальные поднятия. Следует отметить, что материалы сейсморазведки подтверждают совпадение основных черт тектонического плана мезозойских отложений с плиоценом.

Мезозойские отложения в контактовых зонах с миоцен-олигоценовым комплексом изучены нами на смежных площадях Северного и Центрального Кобыстана; в результате установлено, что даже в тектонически осложненных участках с крутыми углами падения мезозойские отложения выдерживают свое основное простирание, в то время как вышележащий миоцен-олигоценовый комплекс менее компетентных пород в результате тектонических движений приобретает ряд особенностей, в том числе азимутальные и угловые несогласия. Факты несовпадения сводов мезозойских структур и миоцен-олигоценового комплекса в результате надвига установлены и на площадях Шихзагирлы, Матраса-Чараган Центрального Кобыстана.

Имея общие представления о тектонике мезо-кайнозойского комплекса на вышеуказанных площадях южного погружения ЮВ Кавказа можно сделать вывод о наиболее вероятном расположении сводов по мезозойским отложениям и на рассматриваемой площади.

Как известно, в результате надвига, продольные тектонические разрывы в отложениях плиоценового возраста на южной складке о. Артема и Гюргянъ-море уже на глубине олигоцен-миоценового комплекса уходят на далекие крылья поднятий и поверхности их разрывов становятся параллельными напластованию, т. е. все эти продольные и поперечные разрывы затухают еще в миоцене и глубже не продолжаются. Дизъюнктивная дислокация в южном направлении значительно возрастает, имея шарнирный характер строения, амплитуда надвига увеличивается от нуля в СЗ части южной складки о. Артема до 700 м на пл. Гюргянъ-море.

Если предположить, что до проявления дизъюнктивной дислокации основные черты тектоники мезозоя и третичной системы совпадали, то

в результате надвига следует признать, что сводовые части плиоценовых структур в пределах южной складки о. Артема и Гюргяны-море оказались перемещенными по отношению к мезозойской складчатости в СВ направлении на расстоянии, соответствующем горизонтальной амплитуде надвига.

На фоне глубокого погружения северного периклинального замыкания пластов северной складки и южного — Южной существование небольшой седловины между ними, по всей вероятности, не прослеживается на глубинах залегания мезозойских отложений. Поэтому обе складки в мезозое можно рассматривать как одно поднятие с единым сводом, расположенным в пределах южной складки.

Все это дает основание считать, что при бурении на мезозой наиболее благоприятным местом заложения разведочных скважин будут участки, расположенные к ЮЗ от проводимой на структурных картах границы надвига.

#### ЛИТЕРАТУРА

1. Алиханов Э. Н. Нефтяные и газовые месторождения Каспийского моря, 1964.
2. Алиханов Э. Н. Подкирмакинская свита восточной части Апшеронской области и ее нефтеносность. Азнефтездат, 1959.
3. Зейналов З., Мамедов М., Ушаков А. Геология, нефтеносность и экономическое развитие Артемовского района. Азернефш, 1963.
4. Бабазаде Б. К. Классификация залежей нефти и газа в Азербайджане. Азернефш, 1960.
5. Белоусов В. В. Тектонические разрывы, их типы и механизм образования. Труды Геофизич. ин-та, № 17. (144). Изд. АН СССР, 1952.
6. Мелик-Пашаев В. С. Геология морских месторождений Апшеронского архипелага. Гостоптехиздат, 1959.

Институт геологии

Поступило 30. XI. 1964

Э. Ч. Элиев

Дарвин Банкасы-Куркан дәнизи антиклинал зонасынын  
Мәңсүлдар гатыны өртән чөкүнгүләрдә нефт вә газ жатагларынын  
ахтарышлары мәсәләсинә даир

#### ХҮЛАСЭ

Мәңсүлдар гатын бир чох он илләр әрзинде ишләнилмәси иетичесинде онун бүтүн һоризонтлары, һәттә алт һиссәсінін өртән чөкүнгүләрдә гәдәр газылыштырып. Она көрә дә һәмии раionда нефт вә газ һасылатынын әсас перспективлөри Мезозоја иад кәшфијјат гујуларынын газылмасы ила әлагәдәрдәр. Мезозој чөкүнгүләринин нефтлилик вә газлылығынын өјрәнилмәси мұасир қеолокија елминин мүһүм мәсәләләриндән биридир. Бу мәсәләнин актуаллығы, бир тәрәфдән һәмии чөкүнгүләрдә ири нефт вә газ жатагларынын ачылмасы һағындақы чохлу фактларла, дикәр тәрәфдән исә ойларда бир сыра перспектив раionларын кифајет гәдәр өјрәнилмәси илә тәсдиғ едилir.

Нәзәрдән кечирдијимиз зонада Мезозој структурларынын даіра чох сітимал олунан жерини мүәjjән етмәк мәгсәди илә ғоншу саһәләрдә һәмии чөкүнгүләрин тектоник хүсусијәтләрини өјрәнәрек, Дарвин банкасы-Куркан дәнизи үзәрә Мәңсүлдар гатын алт шөбәси учун берабәр галынылгылар ҳәритәсі тәртиб етмишик. Һәмии ҳәритәләрдән көрүнүр ки, Кирмәнилты дәстәләри галынылгы изопахитләри формасыны тәкраб етмәклә комплекс һалда седиментләшмәсін вә гырышылгынын инкишафының ejni вахтда баш вердијини сүбут едир.

Галынылгыларын анализи көстәрир ки, тәдгиг олунан саһәдә һәлә Понт дөврүндә антиклинал галхынтылар олмушудур.

Мәлумдур ки, Артjom адасы вә Күркан дәнизи саһәсінин чәнубырышығында Плиосен յашлы чөкүнгүләрдә үстәкәлмә иетичесинде узууна тектоник позулмалар дәринәшир вә Олигосен-Миосен комплексинде галхынтынын узаг ганадларына доғру кедир, анчаг дәринине давам етмиш. Она көрә дә гејд етмәк лазымдыр ки, Плиосен структурларынын тағ һиссәләри Мезозој гырышылгынын һоризонтал амплитудуна уйғун олан мәсафәдә жерини дәжишишидир.

Гејд етдикләримиздән белә иетичә чыхыр ки, Мезозој дөврүнә иад газыма апарыларкән кәшфијјат гујуларынын гојулмасы учун уйғун олан јер структур ҳәритәләрдә үстәкәлмәсін сәрһәддиндән ЧГ тәрәфә ярләшән саһәләрдир.

ИНЖЕНЕРНАЯ ГЕОЛОГИЯ

Т. А. ИСМАИЛОВ

К ВОПРОСУ ТИПИЗАЦИИ ОПОЛЗНЕЙ  
АПШЕРОНСКОГО ПОЛУОСТРОВА

(Представлено академиком АН Азербайджанской ССР М. А. Кашиаем)

Вопрос типизации оползней имеет существенное значение при оценке устойчивости оползневых склонов и выборе более рациональных противооползневых мероприятий.

Еще в 1903 г. А. П. Павлов [6] на основании изучения оползней Поволжья разработал их классификацию по характеру смещения, выделив три типа: делящиеся (соскальзывания), детрузивные (толкающие) и оползни смешанного типа. Ф. П. Саваренский [9] оползни делит по признаку строения и положению поверхности скольжения. И. В. Попов [7] указывает, что основным признаком классификации оползней является их возраст. Его схема включает возраст (современные, давние, древние оползни) и фазы оползней (движущиеся, остановившиеся, закончившиеся оползни).

Рассматривая каждую из этих классификаций, можно найти в них много верно подмеченных признаков, на основании которых были успешно применены оздоровительные работы по укреплению оползневых склонов. К сожалению, в этих схемах генетические признаки (условия и причины образования) в достаточной мере не учитываются. Однаковые движения земляных масс часто вызываются разными причинами или же одна и та же форма нарушения откосов может быть в разных условиях. Таким образом, характер смещения, строение оползней, положение поверхности скольжения, возраст и фазы движения оползневых смещений не могут претендовать на главнейшие признаки классификации оползней. С этой точки зрения более обстоятельными являются классификации И. С. Рогозина и Г. С. Золотарева [2, 8].

Схема И. С. Рогозина включает следующее: а) группы или типы оползней; б) механизм оползней — форма разрушения склонов; в) причины оползней — факторы, вызывающие изменения на склонах, и г) основные способы борьбы с ними. Генетические типы Г. С. Золотарева составлены по трем главнейшим признакам: 1) характеру и механизму смещений; 2) строению оползневого массива (состав, текстура и залегание горных пород) и 3) характеру поверхности или зоны смещения. Преимуществом данной классификации является то, что она составлена с учетом условий и причин возникновения оползней.

И. М. Коновалов и А. К. Гюль на примере изучения оползней юго-восточного Кавказа составили схемы систематизации оползней по возрастным признакам и обводненности склонов. [3, 4]. И. М. Коновалов на основе классификации И. В. Попова оползни делит на ископаемые (типы 1а и 1б), давние (типы 2а и 2б) и современные (типы 3а и 3б). И. М. Коновалов и А. К. Гюль по характеру обводненности оползневых склонов опять различают шесть классов оползней. Здесь главными признаками типизации являются: глубина залегания водоносных горизонтов, характер гидрорельефа и степень их выдержанности. Они переоценивают роль гидрогеологических и не касаются таких факторов, как выветривание горных пород на склонах, новейшие тектонические движения, сейсмические особенности Апшеронского полуострова и понижение уровня Каспийского моря, которое нарушает равновесие береговых склонов. Деятельность человека, изменяющая природные условия, ими затронута очень слабо. Взамен существующей возрастной классификации И. В. Попова деление оползней на ископаемые (плейстоценовые, хазарские и хвалынские), давние и современные или же на классы (1а, 1б, 2а, 2б; 3а и 3б) заслуживает много замечаний с позиций современной инженерной геологии. Не оправдано разделять оползни на классы. Гораздо яснее и понятнее сказать оползень-обвал или оползни-сели, чем называть их по наименованию классов, как это делается в схемах И. М. Коновалова и А. К. Гюля [3, 4].

Следует определить главнейшие принципы или признаки для генетических типов оползней.

В результате обобщения существующих материалов и собственного наблюдения автора удалось выделить ряд природных и антропогенных факторов на Апшероне, под отрицательным влиянием которых нарушается устойчивость естественных откосов. К этим процессам можно отнести:

1. Подрезку склонов и откосов при хозяйственной деятельности человека на участках Байллов, Зых и Кара-Чухур, которые увеличивают «шаг обрушения» и уменьшают их устойчивость. Процессы оврагообразования на Байллове и Кара-Чухуре (антропогенные), тоже нередко вызывают оползни-обвалы.

2. Процессы выветривания, нарушая структурные связи горных пород, ведут к уменьшению их общей прочности. Угол внутреннего трения для глинистых образцов апшеронского яруса колеблется при естественной влажности от 12 до 25°, в наихудшем состоянии от 10 до 12° и для пород нарушенной структуры от 5 до 10°.

3. Переувлажнение горных пород за счет подземных, атмосферных и хозяйственных вод, которое сильно увеличивает объемный вес почвенных суглинков, изменяет консистенцию глин и уменьшает сопротивление их сдвигу. При естественной влажности (13,5—17,5%) объемный вес делювиальных суглинков, взятых из Кара-Чухурского участка, колеблется от 1,71 до 1,80 т/м<sup>3</sup>, а при насыщении водой до полной влагоемкости от 23,0 до 27,5% их объемный вес увеличивается до 2,8—3,0 т/м<sup>3</sup>, сопротивление сдвигу апшеронских глин уменьшается от 17—20 до 12—14°.

На интенсивность и развитие оползневых процессов в некоторой степени влияют: а) вынос песчаных и других мельчайших частиц вместе с нефтью, газом и водой при откачке из нефтяных скважин (Кара-Чухур), что благоприятствует возникновению подземных пустот, оседанию дневной поверхности и провалом колодцев [5]; б) поступление подземных и поверхностных вод в выветрелые и нарушенные породы и движение

ние их по падению склонов, которое создает дополнительные гидродинамические давления и нарушает напряженное состояние оползневых откосов; в) повышение уровня грунтовых вод, вызванное деятельностью человека, кроме изменения состояния и свойства глинистых пород, одновременно изменяет их взвешенное состояние на склонах. При повышении уровня грунтовых вод и спаде уровня Каспия, вероятно, нарушается общее равновесие береговых склонов и развивается оползневой процесс; г) тектонические движения, выраженные образованием сбросов, трещин и других нарушений [1], а также сейсмические толчки или извержение грязевых вулканов в соседних районах, которые перемешивают массивы горных пород по ранее подготовленной поверхности (трещина, сброс и др.).

Указанные факторы действуют одновременно или в разных сочетаниях друг с другом. Зная условия происхождения и факторы, вызывающие и усиливающие оползневые явления, нам делается попытка выделить следующие генетические типы оползней:

1. Оползни, связанные с увеличением шага обрушения (высоты и крутизны) склонов. Причинами образования этих оползней являются подрезка и подмытие крутых, обрывистых склонов с трещиноватыми породами в нижних частях, для которых характерны обвалы, вывалы и оползни-выдавливания. Разновидности их встречаются на Байлово, Шихове и Зыхе.

2. Оползни, связанные с изменением (ухудшением) состояния и свойства пород на склонах. Характерной чертой таких оползней является переувлажнение выветрелых пород дождевыми и хозяйственными водами. К разновидностям этого типа относятся оползни-потоки, оплывины, оплывы и скольжения, которые наблюдаются на Байлово и Карабухуре.

3. Оползни, связанные с образованием подземных пустот и провалов, причинами которых являются вымывание песчаных частиц водой, выбросы песков при откачке нефти, газа и воды. Оползни, возникающие под действием этих факторов, характеризуются значительными размерами, имеют блоковое строение. К оползням этого типа следует отнести скол при просадке, оседание блоковидных масс и др. Они наблюдаются на Карабухуре и Зыхском шоссе.

4. Оползни, связанные с гидродинамическими и гидростатическими давлениями воды. Поступление подземных и поверхностных вод в выветрелые и нарушенные трещинами породы, движение их в грунтах по падению склонов благоприятствует образованию таких оползней. Характерными видами являются сплывы, мелкие обвалы, смещение горных пород под влиянием гравитационной воды.

5. Оползни, связанные с изменением взвешенного состояния грунтов на склонах. Причинами таких оползней, являются повышение уровня грунтовых вод или же спад уровня в соседних водоемах. Все оползни Бакинского амфитеатра можно отнести к этому типу.

6. Оползни, возникающие под влиянием тектонических движений и сейсмических толчков. Обводненность тектонических трещин, вибрация от механизмов и землетрясение оказывают существенное влияние на устойчивость даже скальных склонов. К этой группе оползней относятся обвалы, вывалы, перемещение массивов по поверхностям и др. Они наблюдаются, в основном, на Карабухуре и Шихове.

На природных склонах, наряду с вышеуказанными, возникают оползни сложного и переходных типов. Оползни на Апшероне почти относятся к сложным, ибо на склонах одновременно возникают оползни разных генетических типов и один тип переходит в другой."

Такая схема типизации может более четко сформулировать задачи борьбы с оползнями и лежать в основе проектов противооползневых мероприятий.

По классификации Ф. В. Котлова мы оползни Апшеронского полуострова относим к антропогенным и природно-антропогенным процессам и явлениям.

Настоящий подход к типизации оползней не претендует на полное разрешение вопроса борьбы с оползнями и не отрицает систематизации оползней по возрастным и морфологическим признакам, поскольку по ним раскрывается качественная сторона процесса. Однако генетическое различие оползней, помимо качественной оценки, имеет важное значение при количественных решениях вопроса.

## ЛИТЕРАТУРА

1. Гюль А. К. Некоторые особенности изменений физико-механических свойств глини апшеронского яруса Апшеронского полуострова. «ДАН Азерб. ССР», 1964, т. XX, № 6. 2. Золотарев Г. С. Генетические типы оползней, их развитие и изучение. Материалы совещания по изучению оползней. Киев, 1964. 3. Коновалов И. М. Древние и давние оползни из юго-восточном Кавказе. «ДАН Азерб. ССР», 1954, т. 10, № 5. 4. Коновалов И. М., Гюль А. К. Обводненность оползневых склонов. «ДАН Азерб. ССР», т. 12, № 9. 5. Котлов Ф. В. О региональном характере распространения некоторых инженерно-геологических явлений. Труды лаборатории гидропроблем АН СССР, 1963. 6. Павлов А. П. Оползни Симбирского и Саратовского Поволжья. Материалы к познанию геол. строения Российской империи, вып. 2, 1903. 7. Попов И. В. Принципы естественной классификации оползней. «ДАН СССР», 1946, т. 9, № 2. 8. Рагозин И. С. Оползни Ульяновска и опыты борьбы с ними. М., Изд-во АН СССР, 1961. 9. Саваренский Ф. П. Опыт построения классификации оползней. Труды первого Всесоюзного оползневого совещания, ОНТИ, 1935.

Поступило 25. VII 1965

Институт геологии

Т. Э. Исмаилов

Ашшерон йарымадасындакы сүрүшмәләрин тәсніфатына даир

## ХУЛАСӘ

Сүрүшмәләрин тәсніфаты мәсәләси сүрүшән јамачларын давамијәтиин гијмәтләндирilmәсindә вә даһа элвериши мүбаризә тәдбиrlәринин сечилмәсindә мүһум әһәмийјәтә маликдир.

Сүрүшмәләри А. П. Павлов сүхурларын јердәишимә хәрактеринә көрә, Ф. П. Саваренски онларын гурулушу вә сүрүшмә сәтіләринин вәзијјәтинә көрә, И. В. Попов исә јаш әламәтләринә көрә бир-бириндән фәргләндирir. Бу тәсніфатларда кенетик әламәтләр иштирак етмир. И. С. Рагозин вә Г. С. Золотарев сүрүшмәләри әмәләкәлмә шәрәтинә вә сәбәбләrinә көрә фәргләндирir.

И. М. Коновалов вә А. К. Күл Чәнуб-шәрги Гафгаздакы сүрүшмәләри И. В. Поповун тәсніфаты әсасында јаш әламәтләrinә вә јамачларын суланмасына көрә бәлүр ки. бурада кенетик әламәтләр јер вәрилмир.

Мүәллиф мүшәнидәләр иәтичесинә Абшеронда бир сыра тәбии вә антропокен просесләр ашқар едәрәк, сүрүшмәләри јамачларын тараз-лығына мәниfi тә'сири әсасында ашағыдақы кенетик нөвләрә айырыр:

1) јамачларын јүксәклийини вә диклийиниң дәјищмәси илә әлагәдар олан сүрүшмәләр;

- 2) јамачларда сүхурларын хассэләринин дәјиши мәсі илә әлагәдар олан сүрүшмәләр;
- 3) јералты бошлуглар вә учгуиларла әлагәдар олан сүрүшмәләр;
- 4) сүйүн статик вә динамик тәзіиги иәтичесинде баш верән сүрүшмәләр;
- 5) јамачларда сүхурларын чәкили вәзијәтинин дәјиши мәсі илә әлагәдар олан сүрүшмәләр;
- 6) тектоник һәрәкәтләр вә сејсмик тәканлар иәтичесинде баш верән сүрүшмәләр.

М. К. ГАНИЕВ, М. Ш. КАФАРОВ

## МЕТАБАЛИЗМ КАРБАМИДА В ПОДЖЕЛУДКАХ ЖВАЧНЫХ ЖИВОТНЫХ\*

N. Zuntz [1]; W. Voltz [2]; E. F. Annison [3] указывают, что простые азотистые соединения (карбамид и др.) являются частичными заменителями кормового протеина в рационах животных. Однако еще недостаточно изучен метаболизм этих соединений в преджелудках жвачных.

В предыдущей работе (Изв. АН Азерб. ССР, серия биол. № 2, 1965 г.) мы сообщали об изменениях количества бактериальных тел в содержимом преджелудков при добавлении карбамида в рацион животным.

В настоящем сообщении ставится задача выяснить биохимические изменения содержимого в разных камерах преджелудков при даче животным карбамида на фоне рациона: ячменная солома+кормовая свекла+пшеничные отруби.

Работа проводилась на двух буйволовых телках и на одной телке красного скота.

Телка красного скота и одна из буйволовых телок имели большую фистулу рубца, вторая буйволовая телка, кроме указанной фистулы, имела иллюстрированную конюлю сычуగа, по А. А. Алиеву [4].

Чтобы компенсировать в рационе недостаток переваримого протеина, которого было 37,3%, добавляли к нему карбамид в дозах 20 и 30 г на 100 кг веса животных.

При этом мы исходили из литературных данных о том, что освоение карбамида животными происходит с различной интенсивностью в зависимости от структуры рациона.

Контрольный период длился в течение 15 дней. Опытные периоды с дозами карбамида в 20 и 30 г на 100 кг веса животного продолжались в течение 20 дней.

Пробы содержимого из отдельных камер преджелудков брались до кормления животного, через 3 и 6 ч после него. Во взятых пробах наряду с другими биохимическими исследованиями определялось содержание общего, остаточного и белкового азота по общепринятым методам, а также аминокислоты методом хроматографии на бумаге\*.

\* Материалы, относящиеся к аминокислотам, нами сообщены в трудах АзНИВИ, т. XVIII, 1965.

Результаты физиологических опытов и биохимических анализов показали, что когда животные содержались на рационе фоновый 2 в состоянии до кормления, количество общего азота составляло в разных камерах преджелудков у буйволовых телок 2,5—3,3%, а у красной телки эти цифры во всех камерах были меньше в 1,2 раза. Причем, у буйволиц по сравнению с красной телкой такой повышенный уровень сохранялся по отношению как остаточного, так и белкового азота. Кроме того, следует отметить, что по уровню азотистых фракций имелись особенности в разных камерах. Общего азота было больше в рубце (3,3% у буйволовых телок и 2,7% у красной телки), в книжке (2,8% у буйволовой телки № 2), на последнем месте стояла сетка (2,5% у буйволовых телок и 2,1% у красной телки). При мерно такой же закономерности подчинялся белковый азот, а количество остаточного азота меньше всего было в книжке (0,17%), затем шла сетка (0,28% у буйволовых телок и 0,2% у красной телки) и больше всего было в рубце (0,37% у буйволовых телок и у красной телки 0,31%).

При добавлении к рациону карбамида в дозе 20 г на 100 кг веса животных (то есть в третьем периоде опыта) во время состояния желудочно-кишечного тракта до кормления животных имело место повышение всех разбираемых показателей азота в камерах преджелудков и у обоих видов животных с сохранением той же закономерности (по отношению вида животных и камер преджелудков), что было отмечено при фоновом рационе.

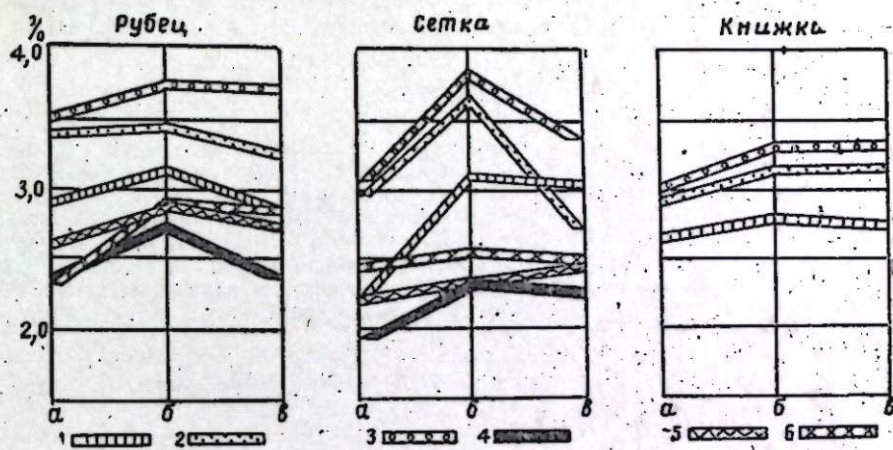
В четвертом периоде опытов, когда животные получали рацион фоновый 2+30 г на 100 кг веса карбамида, азотистые фракции содержимого преджелудков увеличились еще более значительно, но закономерность распределения фракции азота по камерам сохранялась прежняя. Если сравнить показатели фракции азота, полученные при данном опыте, с контрольным периодом, то мы имеем увеличение фракции азота в среднем по камерах на 27% (у буйволов), а при сравнении с опытным периодом III, то есть, когда животные получали карбамида 20 мг на 100 кг веса, увеличение общего азота составляло 8% (у буйволов). Представляет интерес также то, что интенсивность повышения фракции азота во всех камерах у буйволиных телок больше, чем у красной телки, несмотря на то, что оба вида животных получали одинаковую дозу карбамида на идентичном фоне рациона.

Представив анализ материалов в состоянии до кормления животных, можно перейти к анализу процесса пищеварения через 3 ч после кормления. Было установлено, что при этих условиях увеличилось количество всех исследуемых азотистых фракций (общего, белкового и остаточного азота) в содержимом преджелудков. Однако среди этих азотистых фракций больше всего увеличилось количество остаточного азота во всех камерах преджелудков и у обоих видов животных. Это объясняется тем, что через 3 ч после кормления азот карбамида не совсем усвоен. Об этом же свидетельствует то, что увеличение было больше при добавлении карбамида в рацион из расчета 30 г на 100 кг веса животных, чем 20 г. При рационе опытный 4 с содержанием 30 г/100 кг карбамида по сравнению с рационом фоновый 2 остаточного азота было больше в камерах преджелудков в среднем на 88% у буйволов и на 50% у красной телки. А при рационе опытный 3 с содержанием 20 г/100 кг карбамида по сравнению с тем же рационом остаточного азота было в камерах преджелудков в среднем на 30% у буйволов и на 39% у красной телки. Если опытные рационы 3 и 4 сравнить между собой, то при первом, (содержа-

щем карбамида 20 г на 100 кг веса животного) по сравнению со вторым остаточного азота было меньше по камерам преджелудков у буйволов на 58%, у красной телки на 11%. Однако это не говорит о том, что карбамид хуже осваивают буйволы, чем красный скот.

Анализ материалов, по данным белкового азота, показывает, что интенсивность увеличения этой фракции при дозах карбамида как 20 г, так и 30 г на 100 кг веса животных, на фоне рациона фоновый 2 у буйволов более выраженная, чем у красной телки. При скармливании подопытных животных фоновым рационом 2 белкового азота было у буйволов в рубце—3,17%, в сетке—3,11%, в книжке—2,81%, а у красной телки в рубце и сетке было соответственно—2,75% и 2,33%. После добавления карбамида в дозе 20 г на 100 кг веса интенсивность увеличения белкового азота во всех камерах росла (в рубце—11%, в сетке—18,3%, в книжке—14,3%).

С повышением дозы карбамида с 20 до 30 г на 100 кг веса животного количество белкового азота возросло по сравнению с предыдущей дозой у буйволов в рубце на 19%, в сетке на 23,4%, в книжке на 18,4%, у красной телки в рубце на 12,4% и в сетке на 12,3%. Для наглядности приводим рисунок.



Динамика белкового азота в содержимом преджелудков. Рационы: буйволов, красного скота: 1,4—фоновый 2 (к); 2,5—опытный 3 (I); 3,6—опытный 4 (II); а—до кормления; б—через 3 ч после кормления; в—через 6 ч после кормления.

Как видно из рисунка, количество белкового азота как до кормления, так через 3—6 ч после кормления животных больше у буйволиных телок, чем у телки красного скота. Кроме того, количество белкового азота во всех случаях (как при скармливании фоновым рационом, так и опытным) больше через 3 ч после кормления, чем количество его через 6 ч после кормления или до кормления. Количество белкового азота в опытных периодах 3 и 4 по сравнению с количеством его при содержании животных на фоновом рационе значительно больше. Среди указанных доз (20 и 30 г на 100 кг веса животного) последние более значительно способствуют увеличению белкового азота.

Таким образом, показатели общего и белкового азота через 6 ч после кормления в содержимом рубце снижаются почти на уровень его до кормления, а остаточный азот в зависимости от периода опыта у обоих видов животных колеблется между показателями до кормления.

ления и 3 ч после кормления. В сетке и книжке наоборот, количество общего, белкового и остаточного азота остается почти на таком же уровне, как это имеет место через 3 ч после кормления.

## Выводы

1. Добавление карбамида в рацион, состоящий из ячменной соломы, кормовой свеклы и пшеничного отрубя (фоновый рацион) приводит к заметному увеличению всех фракций азотистых веществ в содержимом преджелудков у обоих видов животных.

2. Количество общего азота в содержимом преджелудков (в среднем по камерам) при добавлении карбамида из расчета 20 г на 100 кг живого веса животного увеличивается у буйволов на 17%, а при добавлении 30 г/100 кг — на 24,4%. Количество общего азота в содержимом преджелудков у красного скота по сравнению с контрольными увеличивается соответственно — 12,2% и 12,4%.

3. Количество белкового азота в содержимом преджелудков при добавлении 20 г/100 кг карбамида к рациону увеличивается на 14,0%, остаточного азота — на 26% у буйволов; соответственно — 8,5 и 22,2 у красного скота. При добавлении 30 г/100 кг карбамида увеличение белкового азота бывает 27,3%, остаточного азота — 41,5% у буйволов; соответственно — 11,5 и 50% у красного скота.

## ЛИТЕРАТУРА

1. Zutty N. Цитировано по М. Шиблиху. Руководство по кормлению и обмену веществ сельскохозяйственных животных, т. II, 1891. Пищеварение и выделение. Сельхозгиз, 1937, стр. 354—365.
2. Voit W. Цитировано по В. Фельтц и В. Киршу. Руководство по кормлению и обмену веществ сельскохозяйственных животных, т. III, 1928. Обмен веществ. Сельхозгиз, 1937, стр. 77.
3. Annison E. F. Nitrogen metabolism in the sheep. Protein digestion in the ruminant. Biochem J., 64, № 4, 1956.
4. Алиев А. А. Модификация фистульной методики для разделенного изучения пищеварения в желудке жвачных животных. Физиол. журнал СССР им. Сеченова, вып. 66, № 12, М.—Л., 1960.

Институт ветеринарии

Поступило 22.IV.1965

М. Г. Ганиев, М. Ш. Гафаров

## Көвшәјэн һејванларын мә’дә өнлүкләриндә қарбамидин һәзми

### ХҮЛАСӘ

Қарбамидин чамыш вә инәкләрин мә’дә өнлүкләриндә һәзмини өјрәнмәк үчүн апарылан тәчрүбәjә һазырылыг дөврүндә һејванлар арина күләши, јем чуғундуру вә бугда кәпәни илә јемләндирилмиш, тәчрүбә дөврүндә исә бу јемә дири чекиләринин һәр 100 кг-на 20, 30 г карбамид әлавә едилмишdir.

Апарылан тәчрүбәlәrә әсасен ашағыдақы иәтичәләр мүэjjәn едилмишdir:

1. Чамыш вә инәкләрин јем пајына онларын дири чекиләринин һәр 100 кг-на 20 вә 30 г карбамид әлавә етдиkдә мә’дә өнлүкләри меңтәвијатындақы азотту маддәләрini бүтүн фраксијалары артыр.
2. Һәр 100 кг дири чекијә 20 г карбамид әлавә етдиkдә үмуми азот мигдары (орта рәгемләрлә, бүтүн камералар үзрә) чамышларда

17%, 30 ә әлавә етдиkдә исә 24,4% артмыш олур. Гырмызы малларда ујгуни рәгемләрлә көтүрдүкдә бу артым 12,2 вә 12,4%-и тәшкил едир.

3. 100 кг дири чекијә 20 г карбамид әлавә етдиkдә зулали азотун мигдары чамышларда 14%, галыг азот 26%, гырмызы малда исә бу артым 8,5% вә 22,2%-и тәшкил едир.

100 кг дири чекијә 30 г карбамид әлавә етдиkдә зулали азотун мигдары чамышларда 27,3%, галыг азот 41,5%, гырмызы малларда исә бу артым мұвағиғ рәгемләрлә 11,5 вә 50%-и тәшкил едир.

МИКРОБИОЛОГИЯ

М. А. МУСАЕВ, Ф. А. АБУШЕВ, С. Х. ЮДИЦКАЯ

**ЧУВСТВИТЕЛЬНОСТЬ ПЕСЧАНОК (ВИНОГРАДОВА,  
ПЕРСИДСКИХ И МАЛОАЗИЙСКИХ) И ПОЛЕВОК  
ОБЫКНОВЕННЫХ К ВОЗБУДИТЕЛЮ СИБИРСКОЙ ЯЗВЫ**

К возбудителю сибирской язвы (*Vac. anthracis*) чувствительны многие виды домашних и диких животных.

В литературе имеются данные о восприимчивости к сибирской язве отдельных видов грызунов и других мелких млекопитающих.

По данным Е. Е. Пунского, Ф. С. Цибулевской [2], Ю. С. Воронина, С. А. Джарылгасова, Ю. С. Писаревского, М. М. Файбич [1], большие песчанки (*Rhombomys opimus* Licht, 1823) и золотистые (сирийские) хомяки (*Cricetus auratus* W., 1939) являются высокочувствительными к сибирской язве. Суслики (Туманский, 1948) и зайцы (Руднев, 1950) также восприимчивы к этой инфекции.

Учитывая широкое распространение песчанок Виноградова (*Meriones vinogradovi* Нернег, 1951), персидских (*Meriones persicus* Нернег, 1933), малазийских (*Meriones blackleri* Нернег, 1931) и полевок обыкновенных (*Microtus arvalis* Огн., 1924) на территории Нахичеванской АССР и отсутствие литературных данных об их роли в эпизоотологии сибирской язвы, мы поставили перед собой задачу изучить чувствительность этих видов животных к возбудителю сибирской язвы. Эти исследования приобретают еще большую актуальность в связи с наличием неблагополучных по этому зоонозу пунктов на данной территории.

Животные для заражения были отловлены на территории Нах. АССР и перед опытами выдерживались в карантине в течение 15–20 дней. Для заражения подопытных грызунов был использован штамм № 3805, выделенный нами в августе 1963 г. от лесной мыши в высокогорной части Джгульфинского района Нахичеванской АССР. Подопытных животных заражали взвесью культур, выращенных на мясопентонном агаре (МПА) при температуре 37° в течение 24 ч. Каждая доза культуры, взятая для заражения, разводилась в физиологическом растворе до объема 0,2 мл и вводилась подкожно в правую паховую область. Исходную густоту сибироязвенной культуры, взятой для заражения, изготовляли соответственно бактериальному стандарту ГКИ – в 1 млрд микробных тел (*m. m.*). В рабочем разведении был сделан соответствующий пересчет на специфический стандарт (1:10).

Заражение песчанок было произведено 6 дозами (1, 10, 100, 1000, 10 000 и 100 000 *m. m.*), а полевок обычновенных и белых мышей 3 дозами (10, 100, 1000 *m. m.*) возбудителя сибирской язвы.

Павших животных вскрывали, регистрировали патологоанатомические изменения во внутренних органах, приготавливали мазки — отпечатки из внутренних органов, (лимфатические узлы, легкие, печень, селезенка, сердце, почки, надпочечники) из внутренних органов, и крови а также делали посевы на МПА (рН-7,3). Мазки окрашивались по Грамму, а посевы культивировались в термостате при температуре 37°. Выделенные культуры идентифицировались по общепринятой методике.

Оставшихся в живых животных забивали через 20 суток после заражения и исследовали по вышеописанной методике.

Результаты исследований приводятся в таблице.

**Результаты заражения песчанок и полевок обычновенных возбудителем сибирской язвы (штамм № 3805)**

Зараженные животные	Общее количество зараженных животных	Дозы заражения	Количество			На какой день после заражения пала	Количество зараженных животных	На сколько зараженных животных выделена исходная культура	Примечание
			зарожденных живот. каждой дозой	павших животных	выделенных культур от павших живот.				
Песчанка Виноградова	24	0,5 <i>мл</i>	1	1	1	1	1	1	
		0,3 <i>мл</i>	1	1	1	1	3	3	
		1 <i>м. т.</i>	3	1	1	1	6	6	
		10	3	1	1	1	10	10	
		100	3	1	1	1	11	11	
		1000	7	7	7	7	2–5	2–5	
Песчанка персидская	23	10 000	3	3	3	3	2–3	2–3	
		100 000	3	3	3	3	1–2	1–2	
		0,5 <i>мл</i>	1	1	1	1	2	2	
		1 <i>м. т.</i>	3	1	1	1	1	1	
		10	3	2	2	—	5–15	5–15	
		100	3	2	2	—	6–12	6–12	
Песчанка малазийская	22	1 000	7	7	7	7	3–6	3–6	
		10 000	3	3	3	3	4–6	4–6	
		100 000	3	3	3	3	4–6	4–6	
		1	3	—	—	—	3	3	
		10	3	—	—	—	2–6	2–6	
		100	3	—	—	—	2–4	2–4	
Полевка обыкновенная	13	1000	7	5	5	5	2–6	2–6	
		10 000	3	3	3	3	2–4	2–4	
		100 000	3	3	3	3	2–3	2–3	
		0,3 <i>мл</i>	1	1	1	1	1	1	
		0,2	1	1	1	1	4	4	
		10 <i>м. т.</i>	3	3	3	3	2–3	2–3	
Белая мышь	19	100	3	3	3	3	2–3	2–3	
		1000	5	5	5	5	2–3	2–3	
		0,1	3	3	3	3	3	3	
		10	3	3	3	3	3	3	
		100	3	3	3	3	3	3	
		1000	7	7	7	7	2–3	2–3	
Морская свинка	1	1	3	—	—	—	—	—	
		0,3 <i>мл</i>	1	1	1	3	1	1	
Всего		102		102	79	70		23	

Все взятые виды грызунов оказались чувствительными к возбудителю сибирской язвы. По сравнению с песчанками полевки обыкновенные показали наибольшую чувствительность. Для последних полная смертельная доза возбудителя составляла 10 м.т., в то время как эта доза для песчанок равна 1000—10000 м.т. Из числа песчанок наибольшую чувствительность проявила песчанка Виноградова (при одинаковых дозах заражения гибель наступала за сравнительно короткие сроки), наименьшую песчанка малоазийская.

Известно, что белые мыши являются высокочувствительными к сибирской язве. Материалы таблицы показывают, что полевки обыкновенные по своей чувствительности к сибирской язве стоят в одном ряду с белыми мышами, а различные виды песчанок относительно менее чувствительны.

При вскрытии павших песчанок и полевок во внутренних органах обнаружены характерные для сибирской язвы патологоанатомические изменения.

### Выводы

1. Установлена высокая чувствительность 3 видов песчанок (Виноградова, персидских, малоазийских) и полевок обыкновенных к возбудителю сибирской язвы.

2. По сравнению с песчанками полевки обыкновенные показали наибольшую чувствительность.

3. При одинаковых дозах заражения из числа песчанок более чувствительны песчанки Виноградова, смерть их наступает за сравнительно короткие сроки.

4. Полученные данные необходимо принимать во внимание при организации мероприятий в неблагополучных по сибирской язве пунктах.

### ЛИТЕРАТУРА

1. Воронин Ю. С., Джарылгасов С. А., Писаревский Ю. С., Файбич М. М. Золотистые (сибирские) хомяки (*Cricetus auratus* W., 1939) как экспериментальная модель при сибирской язве. ЖМЭИ, 9, 1963. 2. Пунский Е. Е., Цибулевская Ф. С. Восприимчивость больших песчанок (*Rhombomys opimus* z.) к сибирской язве. ЖМЭИ, 11, 1958. 3. Руднев Г. П. Зоонозы. М., 1950. 4. Туманский В. М. Микробиология чумы. М., 1950.

Институт зоологии  
и Азерб. противочумная станция

Поступило 2. IV 1965

М. Э. Мусаев, Ф. А. Абушов, С. Х. Йудитская

Виноградов, Иран, Кичик Асија гум сичанлары вә ади тарла  
сичанынын гарајара төрәдичисинә һәссаслығы

### ХУЛАСӘ

Мүәллифләр 4 нөв қәмиричинин гарајара төрәдичисинә һәссаслығыны 82 әдәд тәчрүбә һејванында өјрәнmiş вә тәдгиг едилән бүтүн нөв қәмиричиләрин бу төрәдичијә јүксәк һәссаслығыны мүәјјән етмишләр. Гум сичанларына иисбәтән ади тарла сичанлары бу төрәдичијә даңа чох һәссасдыр. Гум сичанларындан Виноградов гум сичанлары бу төрәдичијә јүксәк дәрәчәдә һәссасдыр. Алымыш елми мә'лumatлары гарајара үзәрә гејри-сағлам мәнтәгәләрдә тәдбири көрүлдүкдә нәзәрәл алмаг лазындыр.

### АГРОХИМИЯ

Ф. Г. АХУНДОВ

### ПРЕВРАЩЕНИЕ ФОСФОРА В БОЛОТНОЙ ПОЧВЕ, ЗАНЯТОЙ ПОД КУЛЬТУРУ РИСА

(Представлено академиком АН Азербайджанской ССР В. Р. Волобуевым)

Эффективность вносимых удобрений, особенно фосфорных, тесно связана с поглощением их почвой. Изучение этого вопроса поможет нам заранее предвидеть характер поглощения и установить сроки, дозы и способы внесения, а также повысить коэффициент использования фосфорных удобрений. Некоторые исследователи: К. Н. Таранов [6], Ф. В. Чирков и В. В. Волкова [7], О. В. Немоловская [4], Л. А. Сулакова [5], П. Г. Адерихин [1], Р. К. Гусейнов [2], Б. И. Гольфанд [3] указывают, что в зависимости от типа почвы поглощение фосфора различно.

Превращение фосфора в болотной почве, занятой под культуру риса, в условиях Ленкоранской зоны недостаточно изучено. Для закладки лабораторного опыта нами была взята почва из пахотного горизонта опытного участка, занятого под культурой риса в колхозе им. К. Маркса Массалинского района. Почва была пропущена через 1 мм сито.

При закладке лабораторного опыта почва тщательно смешивалась с суперфосфатом из расчета 200 мг  $P_2O_5$  на кг почвы. Полив производился по весу, при этом в почвах поддерживалась 100% влажность от полной полевой влагоемкости. Повторность трехкратная.

При взятии почвенных проб для анализа вся почва (600 г) тщательно перемешивалась.

Перед взятием почвенных образцов в каждый срок определялся процент содержащейся в почве гигроскопической влаги.

Опыт заложен по схеме:

I. Контроль—600 г почвы.

II. 600 г почвы + 200 мг  $P_2O_5$  (суперфосфата) на 1 кг почвы.

Для исследования были взяты почвенные образцы: через 1,3 дня, 15, 30, 60, 90, 150 дней после внесения суперфосфата в почву.

Во взятых почвенных образцах определяли  $P_2O_5$ : воднорастворимый, по методу Дениже; растворимый в 1%-ном растворе углекислого аммония, по методу Б. П. Мачигина; фосфаты, растворимые в 0,5 N уксусной и соляной кислотах, по упрощенному методу Ф. В. Чиркова.

Фосфаты вычислялись следующим образом: а) из фосфатов, растворимых в 1%-ном растворе углекислого аммония, вычитывали водно-растворимый фосфор; б) учитывалось количество фосфатов, извлеченных 0,5 N уксусной кислотой (без щелочнорастворимого "а"); в) количество фосфатов, извлеченных только 0,5 N соляной кислотой (без фосфатов, извлеченных уксусной кислотой вытяжкой — "а" и "б").

Данные о превращении фосфора приводятся в таблице. Анализ почвенных образцов показал, что превращение  $P_2O_5$  суперфосфата, внесенного в болотную почву, происходит очень быстро.

Схема опыта	$P_2O_5$ , раствор. в воде		$P_2O_5$ , раствор. в 1% $(NH_4)_2CO_3$		$P_2O_5$ , раствор. 0,5N $CH_3COOH$		$P_2O_5$ , раствор. 0,5N HCl	
	Всего, мг/кг	От внесенного	Всего, мг/кг	От внесенного	Всего, мг/кг	От внесенного	Всего, мг/кг	От внесенного
	мг/кг	%	мг/кг	%	мг/кг	%	мг/кг	%
Через 1 день								
1. Контроль (почва)	3,38	—	—	35,66	—	—	534	—
2. $P+P_2O_5$ 200 мг на 1 кг почвы	9,26	5,88	2,94	100,28	58,74	29,37	686	93,26
							46,63	1538
							14	7,0
Через 3 дня								
1. Контроль	2,43	—	—	35,40	—	—	545	—
2. $P+P_2O_5$	5,83	3,40	1,70	83,28	44,48	22,24	691	101,52
							50,76	1635
							25	12,5
Через 15 дней								
1. Контроль	2,41	—	—	40,93	—	—	527	—
2. $P+P_2O_5$	5,81	3,40	1,70	84,09	39,76	19,88	677	110,24
							55,12	1660
							23	11,5
Через 30 дней								
1. Контроль	1,33	—	—	38,49	—	—	555	—
2. $P+P_2O_5$	3,44	2,11	1,06	68,21	27,61	13,80	684	101,39
							50,69	1512
							38	19
Через 60 дней								
1. Контроль	1,56	—	—	39,45	—	—	567	—
2. $P+P_2O_5$	2,14	0,58	0,29	61,99	21,96	10,98	684	95,04
							47,52	1841
							61	30,5
Через 90 дней								
1. Контроль	1,62	—	—	39,91	—	—	552	—
2. $P+P_2O_5$	1,80	0,18	0,09	56,16	16,07	8,03	666	97,93
							48,96	2028
							74	37,0
Через 150 дней								
1. Контроль	2,44	—	—	42,66	—	—	524	—
2. $P+P_2O_5$	2,92	0,48	0,24	52,80	9,66	4,83	635	101,34
							50,67	1803
							72	36,0

Исследования также показали, что через день из внесенного суперфосфата лишь 2,94% обнаружено в воднорастворимой форме, а через 90 дней содержание его уменьшается до минимума, составляя 0,09%.

Таким образом, при 100% влажности почвы резко уменьшается содержание воднорастворимых фосфатов.

Извлечение из почвы  $P_2O_5$  при помощи углекислой кислоты показало, что количество его через день составило 29,37%, через 30

дней — 13,80%, через 150 дней — 4,83%. Следовательно, процесс поглощения фосфатов продолжается. Основная часть  $P_2O_5$  перешла в форму, растворимую в 0,5 N растворе уксусной кислоты, т. е. содержание его составило через день — 46,63%, через 15 дней — 55,12%, а в конце опыта содержание  $P_2O_5$  незначительно уменьшилось.

Следует подчеркнуть, что содержание уксуснокислоравимого  $P_2O_5$  на протяжении всего лабораторного опыта колебалось в пределах 46,63—55,12%, резкого увеличения в количественном отношении не наблюдалось.

Значительная часть  $P_2O_5$  находится в форме, извлекаемой 0,5 N раствором соляной кислоты. Следует отметить, что по сравнению с другими типами почв на болотных почвах в солянокислоравимую форму переходит больше  $P_2O_5$  от внесенной.

Так, например, содержание  $P_2O_5$ , извлекаемой солянокислой вытяжкой, составило: через день — 7%, 3 дня — 12,5%, через 30 дней — 19%, а в конце опыта содержание его доходило до 36—37% от внесенного.

Наибольшее количество солянокислоравимых фосфатов наблюдается не сразу после внесения суперфосфата, а несколько позже, к концу опыта.

Таким образом, как видно из таблицы, образование солянокислоравимой формы  $P_2O_5$  происходит за счет постепенного уменьшения воднорастворимой  $P_2O_5$ , извлекаемой 1%-ным раствором  $(NH_4)_2CO_3$ , минимум которых достигается в конце срока определения — через 150 дней.

По-видимому, легкорастворимые фосфаты, вступая в соединения с гидратами окислов железа и алюминия, образуют фосфаты переменного состава, растворяющиеся в соляной кислоте.

Следовательно,  $P_2O_5$  суперфосфата интенсивно переходит в менее растворимые формы фосфатов (растворимых в 0,5 N растворах уксусной и соляной кислот), что можно объяснить высокой влажностью, глинистым механическим составом почвы и повышенным содержанием органического вещества.

## ЛИТЕРАТУРА

- Адерихин П. Г. Влияние структуры почвы на поглощение фосфорной кислоты. «Почвоведение», 1951, № 4.
- Гусейнов Р. К. Условия повышения эффективности фосфорных удобрений. Изд-во АН Азерб. ССР, 1960.
- Гольфанд Б. И. Фосфорный режим почвы рисовых полей в низовьях реки Кубани. Автореферат, 1963. Волгоград.
- Немоловская О. В. Материалы по изучению фосфатов в сероземах. Труды Кавказской цент. агротехнической станции (Вопросы агротехники и агрохимии хлопчатника и кормовых культур), Ташкент, 1939.
- Сулакова Л. А. Поведение фосфорно-кислых и азотистых удобрений в карбонатных почвах. Азернешир, 1939.
- Тарынов К. Н. О поглощающем комплексе почвы. Изд-во Укр. хим. журн., 1929.
- Чириков Ф. В., Волкова В. В. Превращение фосфорной кислоты фосфорно-кислых удобрений в основных типах почв. «Почвоведение», № 4, 1939.

Институт почвоведения и агрохимии

Поступило 30. I 1965.

Ф. И. Ахундов

Чэлтикалты батаглашмыш торпагда фосфорун чөврилмәси

## ХУЛАСЭ

Суперфосфаты батаглашмыш торпага верәркән онуң чох һиссәси битки тәрефиндән чөтин мәнимсәнилә билән бирләшмәләрә кечир ки, бу да күбрәләрин истифадә әмсалыны азалды.

Верилмиш фосфорун чох һиссәси 0,5 N сиркә туршусу мәһлүлунда һәлл олан бирләшмәләрә кечир. Бунун мигдары тәчрүбәсин әввәлиндән соңунадәк 46,63 55,12% арасында дәјишишdir.

Суперфосфатын бир күндән соңра аммониум-карбонат мәһлүлунда кечмиш мигдары (29,37%), 150 күндә соңра 4,83% олмушdur.

Верилмиш күбрәден 0,5 N хлорид туршусу мәһлүлунда һәлл олан фосфор илк күnlәр 7%, тәчрүбәнин соңунда 36%-ә чатмышдыр.

Суперфосфатын белә күчлү удулмасына сәбәб тәдгиг етдијимиз торпагларын механики тәркибчә лил фраксијасы илә зәнкинлиji, гумусун чохлуғу вә торпағын 100% нәм шәрантә олмасы илә изаһ едилir.

А. К. АХУНДОВ

## ВЛИЯНИЕ КАЛИЯ НА КАЧЕСТВО ЗЕЛЕНОГО ЧАЙНОГО ЛИСТА

(Представлено академиком АН Азербайджанской ССР Г. А. Алиевым)

Химический состав зеленого чайного листа во многом зависит от условий питания растения, поэтому из агротехнических факторов, оказывающих влияние на качество чайного листа, решающим является применение удобрений.

В литературе немало работ [5, 7, 8, 10, 11, 12, 13], свидетельствующих об улучшающем действии калийного удобрения на качество зеленого чайного листа при совместном внесении азотного и фосфорного удобрений.

Ранее проведенные исследования [4, 7] в условиях Ленкоранской зоны показали, что наиболее заметное снижение качества чайного листа наблюдается при длительном одностороннем удобрении почв плантаций азотом и фосфором, особенно высокой дозой азота. При совместном же внесении азотного, фосфорного и калийного удобрений качество чайного листа улучшается.

Впервые в лаборатории минерального удобрения Института почвоведения и агрохимии АН Азербайджанской ССР с 1950 г. приступили к всестороннему изучению действия различных форм и доз калийных удобрений на качество зеленого чайного листа. С этой целью, в течение шести лет (1958—1963 гг.), исследовалась растительные образцы в виде трехлистных флешей, собранных с чайной плантации посадки 1938 г. на желтоземно-подзолисто-глееватой почве, с вариантов опыта в которую ежегодно вносились по 200 кг/га калия на фоне 180 кг/га азота и фосфора.

В растительных образцах, собранных в июле 1963 г., определялись основные качественные показатели чайного листа по методике, применяемой Всесоюзным институтом чая и Институтом биохимии АН СССР. Калий определялся на пламенном фотометре.

Большинство исследователей [1, 5, 6, 8, 9, 11, 18] судят о качестве чая по содержанию экстрактивных веществ и танину, считая, чем выше содержание этих веществ, тем чай выше по качеству. На рис. 1 и 2 изображены результаты наших анализов по определению экстрактивного вещества и танина во флешах. Наименьшее содержание этих веществ обнаруживается при внесении лишь азотных и фосфорных удобрений. Во всех остальных случаях, когда наряду с указанными

удобрениями внесено и калийное, тогда содержание экстрактивных веществ и танина увеличивается на 4,0%. Наибольшее увеличение этих веществ отмечается при внесении сернокислого калия, а наименьшее—при хлористом калии.

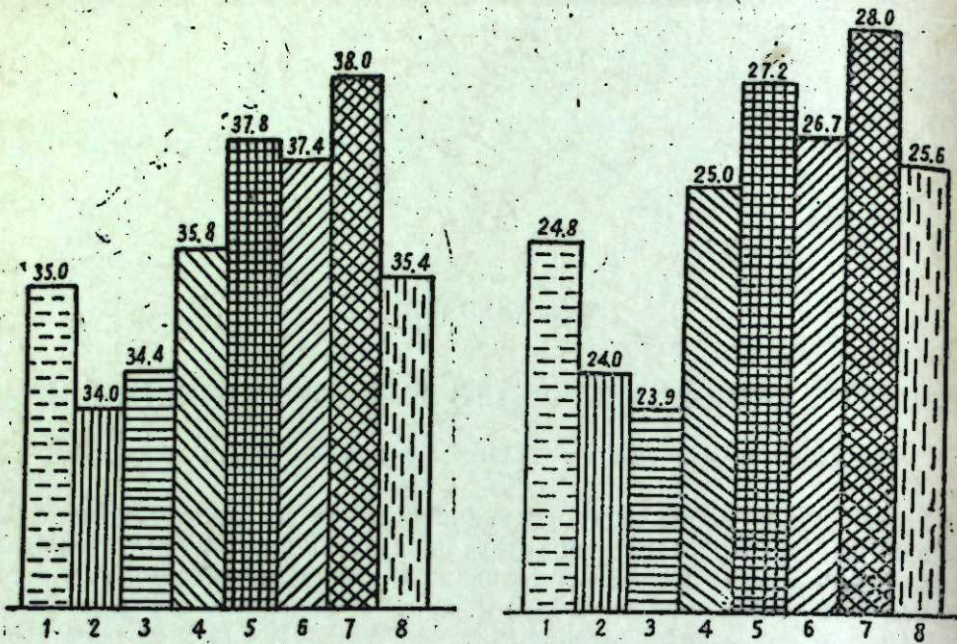


Рис. 1. Влияние различных форм и доз калийных удобрений на содержание экстрактивных веществ во флешах (%): 1—контроль (без удобр.); 2—НР (фон); 3—ФОН+КС1; 4—ФОН+KNO<sub>3</sub>; 5—ФОН+калимаг; 6—ФОН+K<sub>2</sub>SO<sub>4</sub>—100 кг/га; 7—ФОН+K<sub>2</sub>SO<sub>4</sub>—200 кг/га; 8—ФОН+K<sub>2</sub>SO<sub>4</sub>—300 кг/га.

В отношении общего азота в зеленом чайном листе известно, что его накопление является нежелательным. Работами [3, 5, 8, 10, 11, 16] установлено, что если азотное удобрение создает в почве избыток азота, тогда качество чая от этого ухудшается. Установлено, что внесение высоких доз азота (360 кг/га) вызывает также ухудшение качества чайного листа. В таком случае внесение калия устраивает отрицательное действие азота на качество листа. По мнению [3, 5, 13], поступление в чайное растение большого количества азота оказывается во время ферментации, способствуя связыванию и переводу в нерастворимые соединения определенного количества танина, тем самым вызывая некоторое ухудшение качества чая.

Результаты наших анализов (рис. 6) показывают, что при систематическом внесении в почву азотных и фосфорных удобрений без калия содержание азота во флешах наибольшее—4,53%, а при внесении калийных удобрений, независимо от формы, способствует не значительному уменьшению азота в зеленом чайном листе.

Другим, не менее важным показателем качества чая, является кофеин, правда по этому вопросу нет единого мнения среди исследователей, поскольку не всегда наблюдается корреляция между содержанием кофеина и качеством чая. Однако некоторые авторы указывают [3, 13, 14, 15], что именно благодаря громадному фармакологическо-

му значению кофеина, оказывающему возбуждающее действие на организм человека, он может считаться важным показателем качества чая.

С. М. Габуния [5] отмечает, что калий в отношении изменения содержания кофеина действия не оказывает, а О. Г. Оннани [14], наоборот, отрицает это и на основании своих экспериментальных данных отмечает, что калийные удобрения способствуют увеличению содержания кофеина в чайном листе.

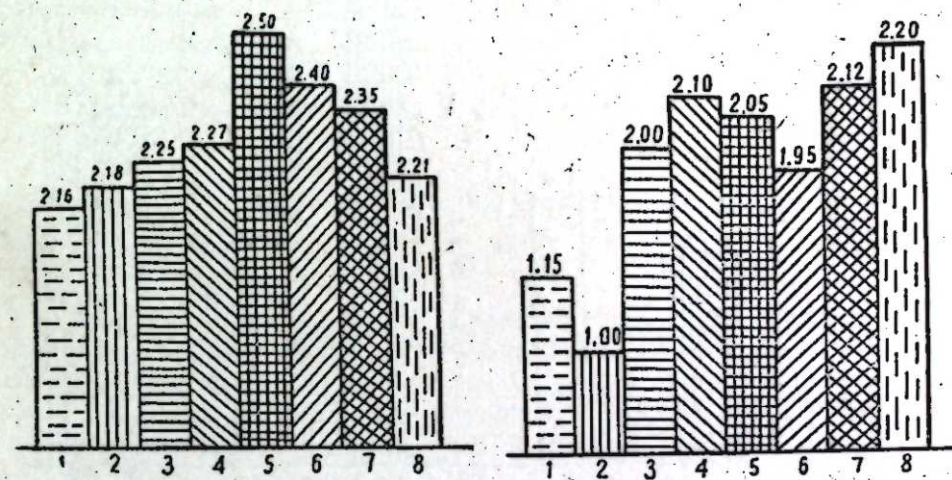


Рис. 2. Влияние различных форм и доз калийных удобрений на содержание танина во флешах (%). (См. рис. 1).

Рис. 3. Влияние различных форм и доз калийных удобрений на содержание кофеина во флешах (%). (См. рис. 1).

Результаты наших анализов, представленные на рис. 3, показали, что благодаря внесению калийных удобрений увеличивается содержание кофеина по сравнению с вариантом, где вносились только азотные и фосфорные удобрения. Увеличение содержания кофеина зависит от формы и дозы калийного удобрения. При внесении калимага количество кофеина в зеленом чайном листе наибольшее—0,32%, а при хлористом калии наименьшее—0,07% по сравнению с фоном. Сернокислый калий занимает промежуточное положение, где с увеличением дозы уменьшается содержание кофеина.

В. А. Флоста и А. В. Еловский [17] на основании обширных аналитических данных приходят к заключению, что высокое содержание клетчатки в чайном листе является отрицательным показателем, свидетельствующим о грубости сырья. Нашиими исследованиями (рис. 5) установлено, что содержание клетчатки в зеленом чайном листе в зависимости от условий питания различное: Наибольшее количество ее—5,33% отмечается в образцах, длительное время удобряемых только азотным и фосфорным удобрениями. На этом фоне в зависимости от формы внесенных калийных удобрений степень образования клетчатки различная. При внесении хлористого калия образование клетчатки наибольшее, а при сернокислом—наименьшее. Увеличение дозы сернокислого калия способствует образованию клетчатки, т. е. огрублости листа.

Определение содержания калия как в почвенных, так и в растительных образцах (рис. 4) дает возможность установить существование определенной зависимости между содержанием калия в почве и в чайном листе.

В условиях Ленкоранской зоны содержание калия во флешах с неудобрением калием варианта равно 1,0–1,15% и явно свидетельствует о недостаточной обеспеченности наших почв этим элементом. Внесение различных форм калийных удобрений резко увеличивает калий во флешах на 1,05–1,20% по сравнению с фоном. Из выше приведенных данных видно, что удобренные калием варианты в отношении всех качественных показателей стоят намного выше, чем варианты, удобренные азотом и фосфором.

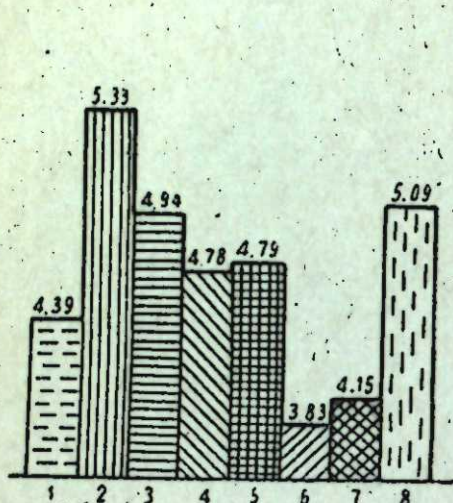


Рис. 5. Влияние различных форм и доз калийных удобрений на содержание калия во флешах (%). (См. рис. 1).

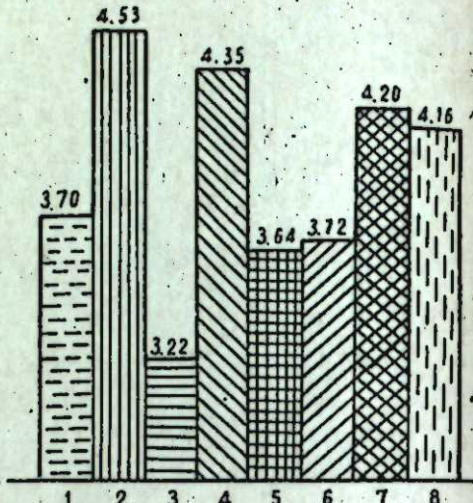


Рис. 6. Влияние различных форм и доз калийных удобрений на содержание общего азота во флешах (%). (См. рис. 1).

На основании приведенных аналитических данных мы делаем вывод об улучшении качества зеленого чайного листа от применения калийных удобрений. Увеличение содержания калия во флешах вызывает изменение биохимических свойств чайного листа, способствующее синтезу веществ, от содержания которых зависит качество чайного листа.

Ранее опубликованные нами работы по действию калия на урожайность согласуются с настоящей работой, поэтому можно сделать вывод, что наибольший экономический эффект в увеличении урожайности и улучшении качества достигается при внесении калийного удобрения в виде сернокислого калия в дозе 200 кг/га в два года один раз. Это можно рекомендовать производству.

#### ЛИТЕРАТУРА

- Бокучава М. А. Биохимический контроль чайного производства, 1958.
- Благовещенский А. В. Кофеин и дубильные вещества чайного листа. Биохимия чайного производства. Сб. 1, 1935.
- Воронцов В. Е. Биохимия чая. Пищепромиздат, 1946.
- Гусейнов Р. К. Удобрение чайных плантаций в Ленкоранской зоне Азербайджанской ССР. «Удобрение и урожай», 1958, № 12.
- Габуния С. М. Влияние калийных удобрений на качество чая. Бюллетень ВНИИЧиСК, № 4, 1948.
- Джемухадзе К. М. Дубильные вещества и качество чайного сырья. Биохимия чайного производства. Сб. 6, 1950.
- Керимова А. Д. и Иманова А. А. Влияние полива на химический состав чайного листа. ДАН Азерб. ССР, № 8, 1952.
- Карпентер П. Т. и Гаррисон С. Д. Производство чая в Северо-восточной Индии. Пер. с англ. Тифlis, 1929.
- Купер и Гаррер. Влияние удобрений на качество чая. Жур. Quart Journ Tea Ind. Ass., 1939, № 4.
- Мирзоян А. Т. Эффективность азотистых удобрений под культуру чая. Изв. АН Азерб. ССР, 1959, № 4.

1. Мани Г. Факторы, определяющие доброкачественность чаев. «Русские субтропики», № 3, 1914.

12. Мукаса Ш. и Кован С. Влияние фосфорных и калийных удобрений на химические компоненты чайного листа. «Tea Research Journal», № 8, 1956.

13. Опарин А. Н. Производственный контроль на чайных фабриках. Биохимия чайного производства. Сб. № 2, 1936.

14. Ониани О. Г. Условия эффективности калийных удобрений на чайных плантациях Западной Грузии. Бюллетень ВНИИЧиСК № 3, 1957.

15. Ониани О. Г. Диагностика потребности чайной плантации в калийных удобрениях. Бюллетень ВНИИЧиСК, № 2, 1959.

16. Урушадзе Г. Н. Основные итоги опытных работ ВНИИЧиСК по химизации чайных плантаций Западной Грузии. Бюллетень ВНИИЧиСК, № 4, 1954.

17. Флоста В. А. и Еловский А. В. Чай, 1929.

18. Шавишвили М. Н. Биохимические показатели зеленого чайного листа. Биохимия чайного производства. Сб. 4, 1940.

Институт почвоведения  
и агрономии

Поступило 23. IX 1964

Э. К. Ахундов

Калиум кубрэлэринин јашыл чај јарпағы кефийїтінә тәсіри

#### ХУЛАСӘ

Мәңсулдарлығын илдән-илә јүксәлмәси илә әлагәдар олараг, чај јарпағының кефийїтінин дә јүксөлділмәси вачиб мәсөләләрдәндір. Бу да өзлүүндә чај биткисинин гида шәраиттән асылыдыр. Әдебијаттарда калиум кубрэлэринин чај јарпағы кефийїтінә мүсбәт тәсіри нағында бир чох мә'лumatлар вардыр.

1958—1963-чү илләр әрзиндә апардығымыз тәчрүбеләр көстәрик ки, жалызы азот вә фосфор кубрэлэринин тәтбиғи јашыл чај јарпағы кефийїтінин иәзәре чарпачаг дәрәчәдә ашағы салыр. Азот вә фосфор кубрэләрилә бирликдә калиумун тәтбиғи иәтичесинде чај јарпағының кефийїті јаҳшылашыр, танин вә екстрактив маддәләринин мигдары 6,7—6,8%-дәк артыр. Белә вәзијәтдә азотуң мигдары азалыр вә кофеинин бир аз артмасы мұшақидә олунур.

Јашыл чај јарпағының кобудлуғу вә зәрифлији дә чајын эсас кефийїт көстәричиләриндәндір. Тәдгигатларымыз көстәрмишdir ки, минерал гида мәнбәји һүчејрәйни әмәләкөлмә дәрәчәсинә тәсір көстәрик. Онуң ән аз мигдары азот вә фосфор фонунда калиум кубрэситин тәтбиғи иәтичесинде әмәлә кәлмишdir. Битки вә торпаг цумунәләриндә калиумун мигдарының тә'жини қалиумун торпаг вә биткидә мигдары арасында мүәјжән асылылыг олдуғуну көстәрди. Калиум верилемәјен варианта калиумун мигдары 1,0—1,15% олур ки, бу да Ленкоран торпагларының калиум илә кифајэт гәдәр тә'мин олунмадығыны көстәрик.

ИСТОРИЯ

Л. М. АЛИЕВА

ЧИСЛЕННОСТЬ РАБОЧИХ БАКИНСКОЙ  
ТЕКСТИЛЬНОЙ ФАБРИКИ ТАГИЕВА  
(1900—1916 гг.)

(Представлено академиком АН Азербайджанской ССР Л. С. Сумбатзаде)

Во второй половине XIX в., в Азербайджане возникли и стали развиваться капиталистические отношения. Развитие капитализма вызвало коренные изменения в классовом составе населения. На арену общественной жизни вышли новые классы — буржуазия и промышленный пролетариат.

Рабочие, занятые фабричной обработкой хлопка, являлись составной частью самого многочисленного и передового отряда рабочего класса Азербайджана — пролетариата Баку.

Однако в исторической литературе данные о численности рабочих бакинской текстильной фабрики весьма недостаточны и локализованы преимущественно рубежом XIX—XX вв.

В 1897 г., когда в Баку крупным представителем азербайджанской буржуазии Г. З. А. Тагиевым было начато строительство хлопчатобумажной прядильно-ткацкой фабрики, в Бакинской губернии обработкой волокнистых веществ, по данным первой Всероссийской переписи населения, занимались всего 755 человек<sup>1</sup>. Обработкой хлопка и производством изделий из него занималось только 3 человека<sup>2</sup>. В Елизаветпольской губернии из 1707 человек, занимающихся обработкой волокнистых веществ, обработкой хлопка были заняты лишь 6 человек<sup>3</sup>.

Приведенные данные показывают, что обработка хлопка в Азербайджане до конца XIX в. не получила широкого развития, охватывая незначительное число рабочих. В 1900 г. благодаря пуску в Баку хлопчатобумажной прядильно-ткацкой фабрики, где к этому времени трудилось 268 человек<sup>4</sup>, число рабочих, занятых фабричной обработкой хлопка, значительно увеличилось.

<sup>1</sup> Численность и состав рабочих в России на основании данных первой всеобщей переписи населения Российской империи 1897 г., т. 1, табл. 1. СПб., 1906, стр. 21.

<sup>2</sup> Там же, стр. 13.

<sup>3</sup> Там же, стр. 13, 21.

<sup>4</sup> Филиал ЦГИА УССР в гор. Харькове, ф. 834, оп. 818, д. 413, лл. 14, об. —15.

Таким образом, рабочие бакинской прядильно-ткацкой фабрики Г. З. А. Тагиева, единственной в дореволюционном Азербайджане, стали, по существу, первым крупным отрядом текстильщиков Азербайджана, занятых фабричной обработкой хлопка.

Динамика численности рабочих бакинской текстильной фабрики получила отображение в таблице.

Год	По данным фабричной инспекции <sup>5</sup>	По данным «Статистики бумажно-прядильного и ткацкого производства за 1900—1910 года» <sup>6</sup>	По данным «Статистики несчастных случаев с рабочими в промышленных заведениях, подчиненных надзору фабричной инспекции...» <sup>7</sup>	По «Книгам расчета с рабочими фабрики...» <sup>8</sup>	По другим источникам
1900	268				800 <sup>9</sup>
1901		1170	815		685 <sup>10</sup>
1902	815	1080	1310		969 <sup>11</sup>
1903	1103	880	1310		1405 <sup>12</sup>
1904	1193	945	1193		1432 <sup>13</sup>
1905	1165	948	1165		1310 <sup>14</sup>
1906	986	770	986		1600 <sup>15</sup>
1907	1090	970	986		1115 <sup>16</sup>
1908	1080	965	1196		1287 <sup>17</sup>
1909	1041	900	1080		1108 <sup>18</sup>
1910	1259	975	1076	1280	1159 <sup>19</sup>
1911	1288		1488	1285	1189 <sup>20</sup>
1912	1247		1475	1213	1120 <sup>21</sup>
1913	1182				1210
1914	1069				1157
1915	1110				1086
1916	1074				1116
					ок. 2000 <sup>22</sup>

<sup>5</sup> Данные за 1900—1909 гг. и 1916 г. выявлены в фондах фабричной инспекции в архивах: ЦГИА Азерб. ССР, ф. 509, оп. 1, д. 59, л. 10; д. 113, л. 1; д. 118-а, л. 22; д. 125, лл. 10, 24, 111 об.; д. 271, л. 50; д. 596, лл. 199; д. 798, л. 4; ЦГИА СССР, ф. 23, оп. 16, л. 28, л. 38; оп. 19, л. 348, л. 2; оп. 27, л. 476, л. 41; Филиала ЦГИА УССР в г. Харькове, ф. 834, оп. 818, д. 43, лл. 14 об.—15; д. 233, л. 4; данные за 1901—1914 гг. использованы по книге: «Своды отчетов фабричных инспекторов за 1910 год», СПб., 1911, стр. 33; то же за 1911 год. СПб., 1912, стр. 88—89, то же за 1912 год», СПб., 1913, стр. 31; то же за 1913 год. Петроград, 1914, стр. 29; то же за 1914 год. Петроград, 1915, стр. 30.

<sup>6</sup> Статистика бумажно-прядильного и ткацкого производства за 1900—1910 года, СБб., 1911, стр. 38—39.

<sup>7</sup> Статистика несчастных случаев с рабочими в промышленных заведениях, подчиненных надзору фабричной инспекции за 1901 год. СПб., 1903, стр. 30—31; то же за 1902 г. СПб., 1905, стр. 48—49; то же за 1903 г. СПб., 1906, стр. 50—51; то же за 1904 г. СПб., 1907, стр. 102—103; то же за 1905 г. СПб., 1908, стр. 100—101; то же за 1906 г. СПб., 1909, стр. 100—101; то же за 1907 г. СПб., 1910, стр. 102—103; то же за 1908 г. СПб., 1911, стр. 102—103; то же за 1909 г. СПб., 1911, стр. 66—67, то же за 1910 г. СПб., 1912, стр. 68—69; то же за 1911 г. СПб., 1914, стр. 70—71; то же за 1912 г. Петроград, 1915, стр. 70—71. Данные настоящего источника, опубликованные 1912 г. Петроград, 1915, стр. 70—71. Данные настоящего источника, опубликованные фабричной инспекцией, по некоторым годам отличаются от указанных выше сведений фабричной инспекции. Это объясняется, по-видимому, тем, что, если данные фабричной инспекции, приведенные в графе 1, отображали численность рабочих фабрики на 100% инспекции, то данные в графе 2 отражают численность рабочих фабрики на 100% прядильно-ткацкого производства.

Анализ приведенных в таблице данных позволяет сделать вывод о том, что наиболее систематичными из них являются сведения фабричной инспекции. Однако, по-видимому, эти сведения отражали лишь постоянный состав рабочих. Что же касается временных рабочих, то они включались в данные некоторых других источников. Тем не менее, заметно отличающиеся своим высоким уровнем данные А. В. Погожева, «Обзора Бакинской губернии за 1902 год», статистического сборника «Весь Кавказ», газеты «Баку» и некоторые другие за 1902, 1906, 1912 гг. завышены и, видимо, включают в себя рабочих не только данной фабрики, но и хлопкоочистительных предприятий Бакинской губернии. Преувеличенными представляются и данные «Обзора Бакинской губернии за 1900 г.». Более достоверной является цифра, приведенная в списках промышленных заведений Бакинской губернии, подчиненных фабричной инспекции, так как на фабрике тогда действовали 84 ткацких станка<sup>25</sup>.

Пользуясь приведенными данными, следует помнить, что сведения зачастую представлялись промышленниками заниженными; указывалось лишь число постоянных рабочих, имеющих расчетные книжки, а поденные рабочие, которым во многих случаях книжки не выдавались, не принимались во внимание.

Господствовавшая бессистемность в сборе сведений приводила к тому, что данные, относящиеся к тому или иному месяцу, выдавались за сведения, характеризующие целый год. Поэтому особое значение имеют данные «Статистики бумагопрядильного и ткацкого производства за 1901—1910 годы», которые, в отличие от других сведений, представляют среднегодовое число рабочих фабрики.

Из приведенной таблицы видно, что число рабочих фабрики увеличилось в период 1900—1911 гг., в том числе в годы кризиса начала XX в. В период этого кризиса число рабочих на фабрике, по большинству приведенных данных, не сокращалось, а даже несколько увеличи-

конец каждого года, то в «Статистике несчастных случаев...» — на другое время года.

<sup>8</sup> Данные выявлены и подсчитаны нами на основании «Книг расчета с рабочими фабрики». ЦГИА Азерб. ССР, ф. 372, оп. 6, д. 47, лл. 1—76; д. 56, лл. 1—86; д. 72, лл. 1—87; д. 81, лл. 1—89; д. 91, лл. 1—93; д. 96, лл. 1—97. Указанные книги имеются лишь за эти годы.

<sup>9</sup> Обзор Бакинской губернии за 1900 год. Баку, 1901. Ведомость № 2.

<sup>10</sup> Обзор Бакинской губернии за 1901 год. Баку, 1902. Ведомость № 2.

<sup>11</sup> Первая в Закавказье фабрика обработки волокнистых веществ. М., 1902, стр. 20.

<sup>12</sup> Обзор Бакинской губернии за 1902 год. Баку, 1903. Ведомость № 2.

<sup>13</sup> А. В. Погожев. Учет численности и состава рабочих в России. Материалы по статистике труда. СПб., 1906, стр. 38.

<sup>14</sup> Обзор Бакинской губернии за 1903 год. Баку, 1904. Ведомость № 2; Кавказский календарь на 1905 год. Тифлис, 1904, III отд., стр. 79.

<sup>15</sup> Газ. «Баку», 15 июня 1906 г.

<sup>16</sup> Статистические сведения по обрабатывающей фабрично-заводской промышленности Российской империи за 1908 год. СПб., 1912, стр. 14; Список фабрик и заводов Российской империи. СПб., 1912, стр. 3.

<sup>17</sup> Ежегодник Баку и его районов. Баку, 1913, отд. III, стр. 205—206.

<sup>18</sup> Кавказский календарь за 1912 год. Тифлис, 1911, отд. IV, стр. 302.

<sup>19</sup> Фабрично-заводская промышленность Европейской России в 1910—1912 гг. Вып. VII. Обработка хлопка Пг., 1914, стр. 22—31.

<sup>20</sup> Там же.

<sup>21</sup> Кавказский календарь на 1913 год, отд. ст., стр. 264.

<sup>22</sup> Кавказский календарь на 1914 год. Тифлис, 1913, отд. ст. стр. 178.

<sup>23</sup> Фабрично-заводская промышленность Европейской России в 1910—1912 гг. Вып. VIII. Обработка хлопка, стр. 22—31.

<sup>24</sup> Весь Кавказ. Баку, 1914, стр. 67.

<sup>25</sup> Филиал ЦГИА Азерб. ССР в г. Харькове, ф. 834, оп. 818, д. 413, лл. 14, об.—15.

валось. Это объяснялось тем, что промышленный кризис 1901—1903 гг., как известно, в незначительной степени коснулся текстильной промышленности в целом и еще меньше оказал влияние на производство бакинской текстильной фабрики. В эти годы вводилось в действие оборудование фабрики, что вызывало увеличение производства. Фабрика временами даже испытывала нужду в рабочей силе, особенно в специалистах-ткачах<sup>26</sup>.

Число рабочих на фабрике заметно сократилось в 1906 г., когда в результате объявленного Тагиевым локаута рабочие были уволены, а после возобновления работ их число до конца года не достигло прежнего уровня.

Небольшое сокращение числа рабочих имело место в 1909 г., что было связано с промышленным кризисом.

В целом за 1900—1911 гг. число рабочих на фабрике возросло ориентировочно в 4,5—5 раз. В период же 1911—1916 гг. число рабочих фабрики сократилось примерно на 16,5%.

Количественный рост рабочих фабрики, как и данные об их составе, позволяют сделать вывод, что текстильщики в начале XX в. представляли один из значительных отрядов бакинского пролетариата.

Институт истории

Поступило 2. VII 1965

Л. М. Элијева

h. 3. А. Тағыјевин тохучу фабрики фәhlәlәrinin сајы  
(1900—1916-чы илләр)

ХУЛАСӘ

1900-чү илдә Бакыда, ингилабдан эввәлки Азәрбајчанда јеканә әјиричи-тохучу фабрикнин ишә дүшмәси илә әлагәдар олараг, памбыг е'малы илә мәшгүл олан тохучу фәhlәlәr дәстәси мејдана кәлди.

Хејли мигдарда архив вә статистик сәнәдләрин тәһлили Бакыда тохучу фәhlәlәrin артым динамикасыны көстәрмәэ имкан верди.

XX әсерин иккинчи ониллийнде Азәрбајчанда памбыг е'малы илә мәшгүл олай фәhlәlәrin сајы иккى мин нәфәрдән артыг олмушду. Онларын эксәр һиссәси, јә'ни 1,3 мин нәфәри Бакы тохучу фабрикнин шајына дүшүрдү.

<sup>26</sup> ЦГИА Азерб. ССР, ф. 509, оп. 1, д. 61, лл. 23—24.

ИСТОРИЯ

Р. Б. ТАРВЕРДИЕВ

**О КРЕПОСТИ ДЖАВАНШИРКАЛА НА ТЕРРИТОРИИ  
ИСМАИЛЛИНСКОГО РАЙОНА АЗЕРБАЙДЖАНСКОЙ ССР**

(Представлено академиком АН Азербайджанской ССР А. А. Ализаде)

Среди большого числа ценных для науки исторических памятников Азербайджана видное место занимают крепости. К их числу относится неизученная крепость высокогорной зоны, известная под названием Джаванширкала.

Первая попытка научного обследования этой крепости была предпринята в сентябре 1960 г. Институтом истории АН Азербайджанской ССР\*.

Во время этого обследования нами был сделан первый вариант общего плана крепости в глазомерной съемке (рис. 1). Для составления более точного плана путем инструментальной съемки буссолью (рис. 2) мы совершили в июле 1963 г. вторичный подъем на вершину горы, на которой расположена крепость. В составе участников этой работы были Р. Тарвердиев, Т. Байрамов, У. Байрамов и К. Мирзалиев.

Крепость Джаванширкала — одна из важнейших памятников нашей истории. Она из года в год разрушается, теряет свое очертание вследствие оползневых процессов на склоне этой вершины. Поэтому инструментальная съемка наших памятников, а в данном случае крепости Джаванширкала, приобретает определенную важность.

Джаванширкала расположена к северо-востоку от районного центра Исмаиллы, на правом берегу р. Талыстанчай на вершине горы с абсолютной отметкой более 1400 м над ур. моря.

В настоящее время территория крепости и прилегающая к ней зона имеют сплошной лесной покров. Согласно исследованиям Э. М. Шихлинского (1949, 1957), среднемноголетняя температура воздуха июля—августа для района крепости равна 18—19° тепла, а января —3,0—3,5 мороза. Количество атмосферных осадков за многолетний период составляет 900—1000 мм в год. Из них на долю теплового периода приходится примерно 400—600 мм, холодного 300—400 мм. В ряде работ [6, 8] исследователь обосновал, что за последние 2000 лет в климате Азербайджана не произошло существенных изменений. Это дает основание считать, что как ландшафтно-климатические условия, так и

\* Экспедиционная группа в составе археолога Р. М. Вайдова, историков З. М. Бунягова и З. И. Ямпольского и географа Р. Б. Тарвердиева.

в частности растительный покров прилегающей к крепости зоны остался почти неизменным.

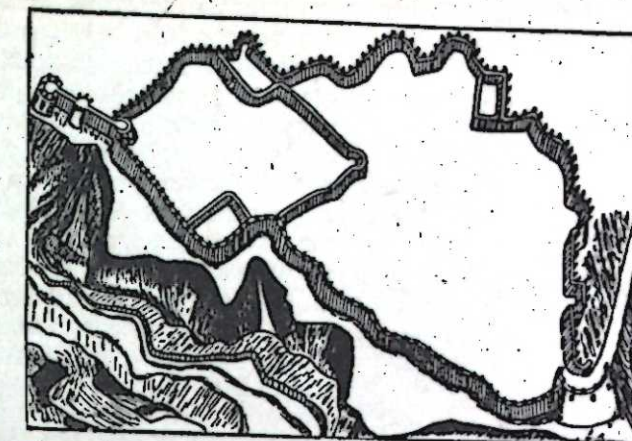


Рис. 1. Глазомерная схема крепости Джаванширкала у сел. Талыстан Исмаиллинского района. Вид с юга. (Составил Р. Б. Тарвердиев, 1960 г.).

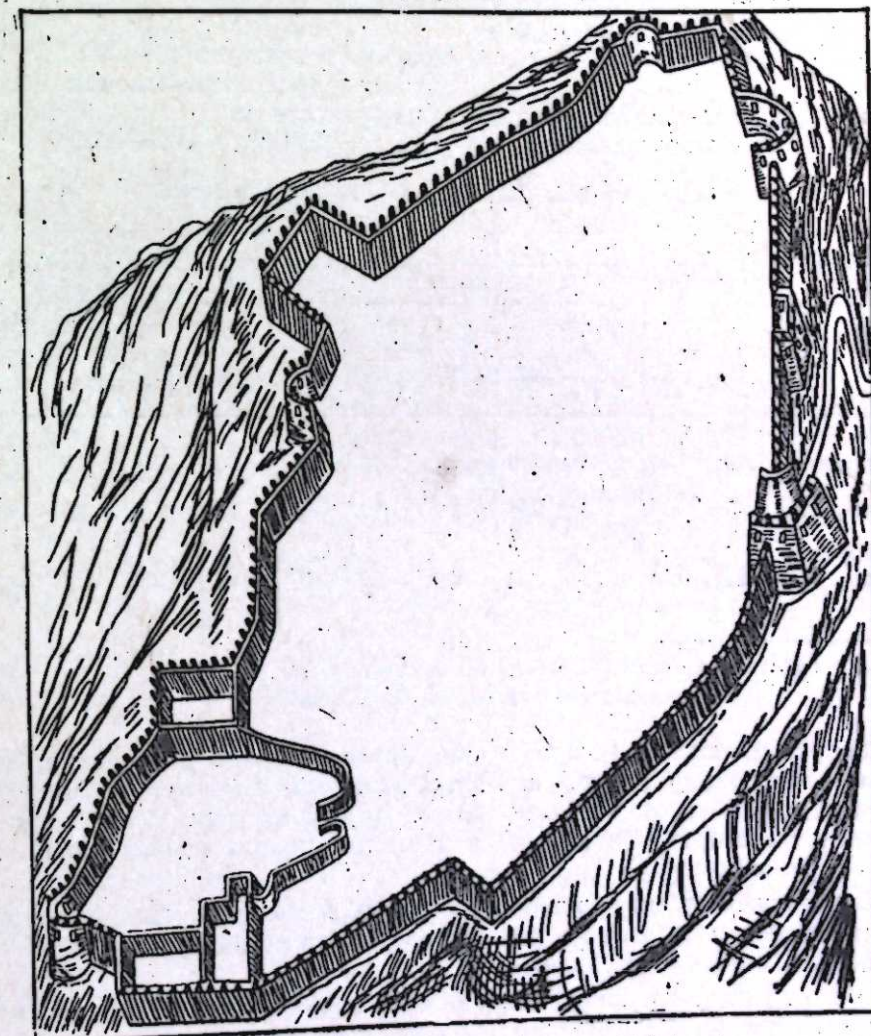


Рис. 2. План буссолльной съемки крепости Джаванширкала (Составил Р. Б. Тарвердиев, 1963 г.).

К крепости Джаванширкала от с. Талыстан идет широкая тропинка по обоим берегам Талыстанчай, переходящая на левом берегу этой реки в старинную дорогу. Около слияния правого притока реки, идущего со стороны крепости, дорога переходит на правый берег реки и ведет примерно в северо-восточном направлении по левому берегу указанного притока к крепости. Около крепости — переход на правый берег, с которого видна восточная стена крепости. Расстояние от с. Талыстан до Джаванширкала 6 км по тропинке и 4 км по прямой (рис. 3).

Джаванширкала простирается с юго-запада на северо-восток и имеет, по данным буссольной съемки, длину 210 м.

Морфометрические данные вычислялись для обоих планов крепости общепринятым методом [1, 2, 3, 4], результаты которых представлены в таблице.

Как видно из таблицы, между морфометрическими данными глазомерной и буссольной съемок значительной разницы нет. Так, если площадь крепости по буссольной съемке равна 1,49 га, то по глазомерной — 1,25 га, разница — 0,24 га.

Рис. 3. Расположение крепости Джаванширкала.

Морфометрические данные крепости Джаванширкала

Характер съемки	Площадь крепости, га		Длина стен, м		Макс. длина крепости, м		Макс. ширина крепости, м		Данные о жилищах		
	наруж- ная	внутрен- няя	наруж- ная	внутрен- няя	наруж- ная	внутрен- няя	наруж- ная	внутрен- няя	пло- щадь, га	длина, м	ширина, м
Буссольная	1,49	0,21	576	210	210	65	95	60	150	15	10
Глазомерная	1,25	0,35	516	234	180	85	105	70	240	20	12
Разница от буссольной	+0,24	-0,14	+60	-24	+30	-20	-10	-10	-90	-5	-2

Примечание: +насколько больше от глазомерной  
—насколько меньше от глазомерной

Следует отметить, что при строительстве крепости всесторонне был использован рельеф местности. Внутренняя часть крепости расположена на самой высокой части вершины. Наружная стена имеет общее понижение в сторону востока. Извилистость стены в полной мере связана с рельефом.

В настоящее время хорошо сохранились восточные стены. В других частях наблюдается сильное разрушение, местами часть стены сползла вследствие оползневых явлений.

Во внутренней крепости сохранились проемы-клетки бойниц (?). Одни из них обращены на север, другие на юг. Из последних просмат-

ривается вся долина Талыстанчай и межгорная котловина, в которой расположен районный центр Исмаиллы.

Исторические данные и наблюдения Р. М. Вайдова над керамикой дают основание историкам и археологам предварительно датировать Джаванширкала периодом VII—IX вв.

По размерам, историко-оборонительному значению Джаванширкала — один из самых выдающихся памятников этого рода в истории Азербайджана. Его всестороннее изучение и охрана необходимы.

## ЛИТЕРАТУРА

1. Волков Н. М. Принципы и методы картометрии. Изд. АН СССР, 1950.
2. Муравейник С. Д. Морфометрия глубокого озера. Тр. Лимнологич. станции в Косине, т. 13—14, 1931.
3. Ремезов М. В. Морфометрия Телецкого озера. «Изв. Гос. геогр. об-ва», т. 67, вып. 4, 1935.
4. Тарвердиев Р. Б. Морфологические элементы Мингечаурского водохранилища. «Изв. АН Азерб. ССР, серия геол.-геогр. наук и нефти», 1961, № 2.
5. Шихлинский Э. М. Атмосферные осадки Азербайджанской ССР. Изд. АН Азерб. ССР, Баку, 1949.
6. Шихлинский Э. М. Тенденция в изменении климата Каспийского моря (Гез. докл. на сов. по проблеме уровня Каспийского моря. М. — Астрахань, 1956).
7. Шихлинский Э. М. Климатические особенности Азербайджана. Сб. «10 лет АН Азерб. ССР», Баку, 1957.
8. Шихлинский Э. М. Климат (Монография «Советский Азербайджан». Изд. АН Азерб. ССР, 1958).

Институт географии

Р. Б. Тарвердиев

Поступило 31. III 1964

Азербајҹан ССР Исмајллы рајону әразисинде Чаваншир галасы һаггында

## ХУЛАСЭ

Чаваншир галасы Исмајллы район мәркәзинин шимал-шәргинде јерләшиր. Галаны тәдгиг етмәк мәгсәді илә 1960-чы илин сентябринда Азербајҹан ССР ЕА Тарих Институту тәрәфинидән экспедиција тәшкүл олунмушду. Мүәллиф бу экспедицијада иштирак етmiş вә галасын тәхмини чәкмишdir (1-чи шәкәл бах). Бу план тарихи чиләриң диггәтини чәлб етдијиндән мүәллиф 1963-чу илин августында икinci дәфә галаја галхмыш вә хүсуси чиңаз (буссол) васи-тәсилә онун дүзкүн планыны чәкмишdir (2-чи шәкәл бах).

Мәгаләдә галанын харичи көрүнүшү вә чөграфи јерләшмәси һаггында мә'лумат верилмишdir.

ШЭРГШУНАСЛЫГ

СИМА КЭРИМЗАДЭ

НАМЭ'ЛУМ ҺЭККАҚ ВЭ ХЭТТАТ СЕЙД ТАҢА ВЭ НЭЗИРИ  
ҺАГГЫНДА

(Азэрбајҹан ССР ЕА академики Э. Э. Әлизадэ төгдим етмишдир)

Орта эср Азэрбајҹан мэ'марлыг вэ епиграфикасынын икнишафы дөврүндэ бир сыра мэ'мар, һәгаш, һәккак, хэттат ады алтында көркәмли сэнэткарлар јетишмишдир. Буилардан бэ'зиләринин адына чох заман онларын өзләри тәрәфиндән Јарадылмыш вэ дөврүмүзэ гәдэр кәлиб чыхмыш мэ'марлыг вэ мэ'мориал абидаләримиз үзәриндәки китабәләрдә раст кәлирик.

XVII әсрдэ Бакы һәнәриндә јашајыб-Јаратмыш бакылы устад һәккак Сејид Таңа вэ хэттат Нэзири дә бу кими мүтәхәссисләрдәнди. Һазырда хэттат Нэзиринын адына бир, һәккак Сејид Таңанын адына исә һәләлик үч китабәдә тәсадүф едилмишдир.

Сејид Таңанын адьны дашијан биринчи китабб Абшеронун Бузовна гәсәбәсендә олан көһиә гәбиристандакы бир гәбир даши үзәриндәдир. 1963-чү илдэ һәмин гәбрин чап едилмиш китабәләринин тәһилиндән мә'лум олур ки, бу гәбир һичри 1039-чу (1629—1630) илдэ вэфат етмиш Мәһәммәд Заман Сөһраб оғлу үчүн тикилмишдир.<sup>1</sup>

Сејид Таңанын адьны дашијан икничи китабе Јенә дә һәмин гәбиристандакы башга бир гәбир даши үзәриндәдир. Дашида олан յазыларын тәһилили көстәрир ки, бу гәбир һичри 1035-чи (1616) илдэ вэфат етмиш Мовлана Мәһәммәд Салеинидир.<sup>2</sup>

Үзәриндә устад Сејид Таңанын адьны дашијан үчүнчү китабе исә Бакынын Ичәришәһәр һиссәсендә тикилмиш чүм'ә мәсчидинә айд бир фәрман китаббенди. Хэттат Нэзиринын адь да бу китабәдә һәккак едилмишдир. Һазырда һәмин китабе Ичәришәһәрдә көрдүйүмүз чүм'ә мәсчидинин јанындакы минарәнин ашағы һиссәсендә сement мәһлүлүү илә иәсб едилмишдир. Бурада бир сыра башга гәдим китабәләр дә сахланылмагдадыр. Дејиләнләрә көрә, бу китабәләр индикси Чүм'ә мәсчиди бинасынын јеринде, биринчиси XIV<sup>3</sup> вэ иккинчиси XVII әсрләр-

<sup>1</sup> Бах: М. С. Неметова. Азэрбајҹанын епиграфик абидаләри (XVII—XVIII), Бакы, 1963, сән. 84—87 (53-чү, щәкил).

<sup>2</sup> Бу китаббә дайр мә'лумата һәләлик һеч јердә тәсадүф едилмәшишдир.

<sup>3</sup> А. М. Павлинов. Бакы, материалы по археологии Кавказа, вып. III. М., 1893; И. П. Щеблыгин. Памятники Азербайджанского зодчества эпохи Низами (материалы), Баку, 1943, сән. 13 (другие памятники старого Баку); Сара Ашурбейли. Очерк истории средневекового Баку, Баку, 1964, сән. 147—149.

до тикилмиш иккى мәсчид илә әлагәдардадыр. Бу мәсчидин јанында 1437—1438-чи илләрдә Дәрбәнді сұлаләснәндән I Ҳәлилүллаһын нақимијәти дөврүндә (1417—1462) тикилмиш минарә дөврүмүзэ гәләр кәлиб чатышдыр<sup>4</sup>. Лакин мәсчидин бинасы төбии амилләр иәтичәсендә учулуб дагылымышдыр. Онун јериnde XVII әсрдә I шаһ Аббасын һөкмранлыгы (1587—1628) дөврүндә икничи бир мәсчид бинасы тикилмишдир<sup>5</sup>. Рәвајәтә көрә, икничи мәсчид бинасы да йаңын иәтичәсендә дагылымышдыр. Һазырда көрдүйүмүз Чүм'ә мәсчиди XX әсри әввәләрнинде, икничи мәсчид бинасынын јеринде бакылы һачы Шеҗәли Дадашов тәрәфиндән тикилмишдир<sup>6</sup>.

Устад-һәккак Сејид Таңанын вэ хәттат Нэзиринын адлары һәккак едилмиш үчүнчү китабе исә вахты илә һәмин икничи мәсчид бинасы үзәриндә олмушишдур. Бу китабәнин үмуми мәзмуну Бакы өилајәтнинде јашајан шиәләрин рамизан-оручлуг айнада веркиләрдән азад алуималары һаггында һичри 1024-чү (1614—1615) илдэ верилмиш бир фәрманын фарсча олан сурәтиндән ибартәдир<sup>7</sup>. Фәрман Сәфәвиләр сұлалесинин б-чи һәкмәрә. Мәһәммәд Худабәндәнин оғлу I шаһ Аббас тәрәфиндән верилмишдир<sup>8</sup>. I шаһ Аббас тәрәфиндән верилмиш фәрмандардан дикәрнин сурәти исә Ордубад һәнәриндә һичри 1012-чи (1603) илдэ тикилмиш бир Чүм'ә мәсчидинин шәрг фасадында јерләшән чатматағлы ғапынын үстүндөки китаббәдә յазылымышдыр<sup>9</sup>. Бу дөврдә тичарәт ишләри илә әлагәдар олараг, Азэрбајҹанын мүхтәлиф јерләрнинде гуру յоллар салыныр, чајлар үзәриндә көриүләр чәкилир, базарлар ачылыр, карвансара, мәсчид вэ дикәр ичтимаи биналар тикилирди.<sup>10</sup> Ичәришәһәрнин ииди мөвчүд олмајан икничи гала диварында јерләшишиш Шимал гала ғапысы,<sup>11</sup> Кәңчә һәнәриндә һичри 1015-чи (1606—1607) илдэ тикилмиш гоша минарәли бөյүк бир Чүм'ә мәсчиди<sup>12</sup> вэ башга тип биналар һәмин дөврдән галымышдыр.

Һаггында бәңс етдијимиз үчүнчү китабб 1,32×0,54 м<sup>13</sup> өлчүдә олуб әһәнкдашындан назырламышдыр. Онуң 7 сөтрлик յазылары иәсх хәтти илә յазылымышдыр. Китаббәдәки сөзләр кичик өлчүдә көтүрүлмүш вэ бир-биринә кејдирилмиш шәкилдә һәккак едилмишдир. Буна көрә дә китабәнин тәһилили илә марагланын Б. А. Дори,<sup>14</sup> А. М. Павлинов,<sup>15</sup> М. С. Неметова<sup>16</sup>, вэ башгаларынын тәшәббүсүнә бахмајараг, китабе иидијә гәдэр бүтүнлүкә охунулмамышдыр.

<sup>4</sup> Буңу минарәнин фәриз китабасында көрмәк олар. Бах: Сара Ашурбәяли. Көстәрилән эсәри, сән. 148; История архитектуры Азербайджана, М., 1963, сән. 167.

<sup>5</sup> Буңу һәмин гәзд етдијимиз үчүнчү китабдин тәһилиниң көрмәк олар.

<sup>6</sup> Мә'мар Нијази Раевин тәдгигинә эсасен верилмишдир.

<sup>7</sup> Бах: М. С. Неметова. Көстәрилән эсәри, сән. 37—42.

<sup>8</sup> Буңу китабәнин тәһилиниң көрмәк олар.

<sup>9</sup> М. Н. Khanukov Memoire sur les inscriptions musulmanes du Caucase, Journal Asiatique, пос. 1862, т. XX, сән. 15; М. С. Неметова. Көстәрилән эсәри, сән. 29—37; История архитектуры Азербайджана, М., 1963, сән. 261—262.

<sup>10</sup> В. М. Сисоев. Краткий очерк истории Азербайджана, Баку, 1925, сән. 92.

<sup>11</sup> Ниязи Раев. Северные ворота крепостных стен города Баку (Памятники архитектуры Азербайджана, Баку, 1950, т. II, сән. 30—42); В. М. Сисоев, Көстәрилән эсәри, сән. 82—92.

<sup>12</sup> А. Бакыханов. Күлустани-Ирэм. 1951, сән. 127; М. Алиев. Джума мечеть и Киронабаде (Архитектура Азербайджана, Баку, 1952), сән. 663—674; Э. В. Саламзадә. Азэрбајҹанын мә'марлыг абидаләри, Бакы, 1958, сән. 61—65; История архитектуры Азербайджана, М., 1963, сән. 260—261.; М. С. Неметова. Көстәрилән эсәри, сән. 147—153.

<sup>13</sup> Бу өлчү յапыны олараг 2,32×0,54 м верилмишдир. Бах: М. С. Неметова. Көстәрилән эсәри, сән. 37.

<sup>14</sup> Б. А. Дори. Отчет о научном путешествии по Кавказу и Южному берегу Каспийского моря, СПб, 1861, сән. 59.

<sup>15</sup> А. М. Павлинов. Көстәрилән эсәри, сән. 91.

<sup>16</sup> М. С. Неметова. Көстәрилән эсәри, сән. 37—42.

Китабэни 7-чи сәтринин ахырында ону јазан хәттатын вә һәккедән сәнәткарларын ады јазылышыр (1-чи шәкил).



«كتبه العبد الأقل نديري عمل استاد سيد طاهما<sup>17</sup> بن سيد امير باد كوفي»

Тәрчүмәси: «Буну ән кичик гул Нәзири јазды, Бакылы Сейид Эмириң оглу устад Сейид Таһаның ишидир.» Бурадан айын олур ки, китабәниң јазыларыны јазаң хәттат Нәзиридир. Лакин китабәни һәккедән исә бакылы Сейид Эмириң оглу устад Сейид Таһадыр.<sup>18</sup>

Бузовна гәбиристанындакы ики гәбир даши үзәринде дә «عمل استاد سيد طاهما» сөzlәri јазылышыр. Бұ оны сүбут едир ки, һәмин гәбирләrin китабәләrinin јазылmasы вә һәkк olunmasы иши ustad Сейид Taħħaja məxsusdur. Onu da gejd edək ki, orta əsrلərdə jašamış bə'zi savadlı həkkaklar həttatlyarı bəcharılgalar kimi, həttatlar da bə'zi ńallarda həkkaklıq iшини aparırdılar.

Orta əsrلərdə şahlarын, həkimlərin verdikləri fərmənləri səvadlı katiblər jazardılar. Əkər belə fərmənləri sərətinin həkк etmək lazımlı kəliydisə, onu jenə də bəcharıgları həkkaklara tapşırırdılar. Uçunçü kitabéniñ təħħiliñdən kərūnūr ki, Nəziri o dəvrün mə'təbər həttatlarыndan biri saýldyfы kimi, ustad Сейид Taħħa da kəzəl həkkaklardan biri olmuşdur. Məhəz buna kərə də dəvrün həkimi (I şah Abbas) tərəfinən verilimiş mə'sul bir fərmənəni sərətinin dash materialı үzəriñdə јazylыb həkк eidləməsinin həttat Nəzirija və həkkak Сейид Taħħaja tapşırımyşlар.

Gejd etmək lazımdır ki, kitabəni təħħili etmək istəjən B. A. Dorin kitabéniñ həkkolunma tarixini düzkün kəstərсə də ustad Сейид Taħħanıñ adınyı јanlısh olarag „Taħħir və ja Taħħir“ kimi oxumushdur.<sup>19</sup> Uzun müddət keçəndən sonra bu јanlısh təħħili 1956-chy ildə dərç olunmuş bir məgalədə eñnilə təkrar eidləməsi.<sup>20</sup> Kitabəni bütün lükə təħħili edən M. C. Ne'mətova onun 7-chi sətrinini ахыrlarыny belə oxumushdur:

«كتبه . . . عمل استاد سلطان سيد ابن امير باد كوفي»

„Ону јазды . . . бакылы Эмириң оглу устад Солтан Сейидин ишидир“.<sup>21</sup>

Beləliklə, kərūrık ki, M. C. Ne'mətova «كتبه» səzündən sonra kələn «العبد الأقل نديري», jə'nii kitabəni јазan Nəziri ilə əlagə-

дар hissəni tamamılə oxumamışdır. Lakin «عمل استاد سوزلәri» dən sonra kələn, jə'nii kitabéni һəkkakы Сейид Taħħa ilə əlagədar hissəni исә јanlısh oxumushdur. Məsələn, «سید طاهما بن سید امیر باد کوئی» bad kouyi kimi verilişdir.<sup>22</sup>

İaggynıda bəhc eidlən kitabələrin təħħiliñdən mə'lum olur ki, XVII əsrin əvvəllərinde jašaýb-jaratmyş ustad Сейид Taħħa əz dəvrün bəcharıgları və həm də hərmətli həkkakəs saýldyfы kimi, Nəziri də o dəvrün bəcharıgları həttatlarыndan olmuşdur.

Шərguşunaslig institutu

Алынышыр 20. IX 1965

Сима Керим-заде

Неизвестный резчик устад Сейид Таха и каллиграф Назири

#### РЕЗЮМЕ

Устад (мастер) Сейид Таха был одним из известных резчиков XVII в. Он жил и творил в г. Баку. Как грамотному резчику ему поручали самые ответственные заказы по Ашхерону. Пока нам известны три его работы, выполненные на камне-известняке.

Первая надпись, выполненная в 1629/30 г. на надгробном камне, находится на старом кладбище в сел. Бузовны. Ее текст впервые был опубликован в 1963 г. Там же находится вторая надгробная надпись, относящаяся к 1616 г.

Третья надпись, выполненная резчиком Сейид Таха, находится в Джума-мечети в крепости гор. Баку. Она вмонтирована в специальную стену, устроенную в нижней части минарета. Дата надписи — 1614 г. В ней выгравирован указ Шах-Аббаса I о налогах.

В разных публикациях допускали ошибки при расшифровке имени мастера. В третьей надписи вместо Таха писали „Taħħir“ (Дори и последователи) и Султан Сейид (М. С. Нейматова).

Резчик Сейид Таха работал совместно с каллиграфом Назири. Именно текст третьей надписи великолепно написан Назири. Но, к сожалению, ни в одной из публикаций имя каллиграфа Назири не упоминается.

<sup>17</sup> «طاهما» сөзу Allaһын Məhəmməd pejğəmbərə verdiyi kүniјələrdən biridir.

<sup>18</sup> Bu ad јanlısh olarag Sultən Сeyid\* јazylыр. Bah: M. C. Ne'mətova. Kestərilən esəri, cəh. 37.

<sup>19</sup> B. A. Dorin. Kestərilən esəri, cəh. 59.

<sup>20</sup> L. Bretanitski, Ə. Salamzadə. Orta əsr Azərbaycan mə'marlary və mə'marlıqla əlagədar sənətkarlar (İskusstva Azərbайджана), t. V, Bakı, 1956, cəh. 48.

<sup>21</sup> M. C. Ne'mətova. Kestərilən esəri, cəh. 39–40.

<sup>22</sup> M. C. Ne'mətova. Kestərilən esəri, cəh. 39–40.

ИСТОРИЯ ЛИТЕРАТУРЫ

А. А. СЕЙД-ЗАДЕ

НЕКОТОРЫЕ НОВЫЕ ДАННЫЕ О БАКИХАНОВЕ

(Представлено академиком АН Азербайджанской ССР М. А. Ширазиевым)

Жизнь и деятельность Бакиханова, с тех пор как он оставил пределы Азербайджана (1845 г.), для нас оставались почти совершенно неизвестными. Исключением в этом отношении являлись лишь следующие два источника, из которых последний, к тому же, нуждается в самой тщательной проверке.

Из них первым следует упомянуть о турецком богослове, оставившем также солидный труд по турецкому языку, Халиле Шараф-Эфенди Хаяти-заде (умер в 1851 г.), который лично виделся с ним в Истанбуле, в обществе турецкого шейх-уль-ислама Ариф Хикмета Харсекли (1786—1859). Свои сведения о Бакиханове Хаяти-заде включил в книгу Бакиханова „Асрар-ал-Мелекут“, которую тот представил на арабском языке турецкому султану Абдул-Меджиду и которую Хаяти-заде по поручению султана перевел на турецкий язык с комментариями и издал тогда же в „Амире“ под названием „Эфкир-ал-Джеберут“, сохранив в ней также и арабский текст Бакиханова.

Другим, менее ценным источником, было сообщение истанбульского корреспондента немецкой газеты „Augshurger Allgemeine Zeitung“. Указание на него уже было включено в мою статью: „О рассмотрении „Гюлистан-Ирем“ Бакиханова в Академии наук в 1844—1845 гг.“ (Труды Азерб. госуд. ун-та им. С. М. Кирова, серия филологическая, т. II, вып. 1, 1940, стр. 47). В настоящее время нами установлено, что этим корреспондентом был Фр. Боденштедт.

Но о пребывании Бакиханова в Иране, в стране, которую он посетил еще до Турции, ничего достоверного не было известно, кроме того, что персидским шахом он был награжден орденом Льва и Солнца.

К счастью, однако, сохранился фирман (рескрипт) персидского Мухаммед-шаха и таким образом, благодаря сведениям, содержащимся в этом фирмане, указанный пробел в значительной степени восполняется, причем сопоставление сведений, данных Хаяти-заде о его пребывании в Турции, со сведениями фирмана позволяет провести определенную параллель между пребыванием Бакиханова в обеих этих мусульманских странах.

О том, что Бакиханов иранскому шаху также представлял какую-то свою книгу, отдаленные сведения имелись, но до сих пор, к сожалению, не удалось установить, какую именно.

Турецкому султану Бакиханов представил еще и два стихотворения, из которых в одном, небольшом по объему, имеются явные следы хуруфитских (буквалистических) вычислений.

Можно не сомневаться в том, что он и персидскому шаху представил какие-либо свои стихотворения на персидском или азербайджанском языках.

Далее, Хаяти-заде отмечает одну, в высшей степени интересную деталь: Бакиханов в обществе турецкого шейх-уль-ислама тщательно избегал касаться темы об астрономии и ни разу не упомянул о своей книге „Асрар-аль-Мелекут“ („Тайны обиталища ангелов“).

Нет никаких сведений о подобных его беседах и в Иране.

Но персидский фирманс содержит одну чрезвычайно важную деталь, которая также проливает много света и на вопрос о его пребывании в Турции.

Дело в том, что в фирманде сказано, что после приема Бакиханова шахом в Тегеране, он предпринимает путешествие по Ирану и посетит, в частности города: Исфаханъ, Иезд, Фарс, Керман и Керман-шахан. В фирманде два раза, самым настоятельным образом, вменяется в обязанность местным персидским властям: когда Бакиханов (в фирманде он назван: „Аббас-Кули-Ага Бакуйе“), который после путешествия по Ирану „отправится в Мекку, с сопровождающими его лицами остановится в указанных городах или вообще в любой местности, предоставить в его распоряжение лучшие здания, достойные его сана, выказывая ему при этом все необходимое уважение и почитание“, причем отдельно подчеркивается, что „в опасных местностях указанного высокочтимого должны сопровождать всадники, вооруженные огнестрельным оружием, и довести благополучно до места его остановки.“

Теперь несколько слов о тексте Фирмана. Ниже мы воспроизводим его точный текст на персидском языке. Перевода мы не даем, так как все существенное из него мы уже привели выше, в необходимых случаях в буквальном переводе. Переводить теперь осталось бы только тяжелый и непомерно торжественный язык шахской канцелярии.

На Фирмане имеется хорошо сохранившаяся печать Мухаммед-шаха со следующим двустишием:

محمد شاه غازی صاحب تاج و نگین آمد  
شکوه و رو نق آیین دین آمد

Дата не особенно точная: указан 1262 год хиджры, месяц Джумади сани, но не указано число месяца и место написания фирманды.

Место написания фирманды может считаться указанным по контексту самого фирманды (Дар-иль-Хилафе-Тегеран), где он был принят шахом и откуда он отправился в другие города Ирана, а число месяца, с колебанием на два-три дня, можно восстановить по письму Хаджи-Мирза-Агаси к российскому послу князю В. Долгорукову от 29 Джумади-Сани (приблизительно 20—22 июня 1846 г.) о награждении Бакиханова персидским орденом.

К указанному времени Бакиханов просил уже однажды кавказского наместника о продлении срока его отпуска, а ведь он в июне 1846 г. только начинал свое путешествие по Ирану. (Судя по тому, что первые сведения о Бакиханове в Турции мы находим в сообщении немецкого корреспондента от ноября 1846 г., можно сказать, что Бакиханов пробыл в Иране не менее 5 месяцев). Но пока не известно, сколько времени он провел в Турции. По-видимому, гораздо меньше, чем в Иране.

В письме Хаджи-Мирза-Агаси говорится: „Так как полковник Аббас-Кули-Ага известен шаху по своей искренности и заслугам, оказанным обеим великим державам, то теперь будучи удостоен чести быть представленным е. в. падишаху, на основании совершенного единодушия обоих государств и во уважение прежних его заслуг ему всеми лояльнейше пожалован орден . . .“ и т. д. (Архив МИД, перевод старый).

#### Сектор философии

Поступило 11. XII 1965

آنکه عالیجاهان رفیعجا یکا هان مجلت و کثرت همراهان فخامت و مناعت اکتنا هان اخلاص و ارادت آگا هان حکام دولات و ضباط و مبادرین منازل عرض زاه از دارا فخلافه الی دارا سلطنه اصفهان و یزدوفارس و کرمان و کرهانشاهان مباھی بوده اند که چون در بنویت عالیجاه مجلت و نجدت همراه شهامت و فخامت اشباح فطانت و درایت آگاه مخلاص ارادت کمیش دولتخواه عبا سقلی اقا با کویه متعلق دولت بوبه روسيه به تقبیل آستان عرش نشان اقدس هلو کانه مشرف و رخصت انصراف یافت که بعد از سیاحت و لایات هملاک محروسة پادشاهی عازم زیارت حرم کعبه معظمه زاد ها الله شرف و تعظیماً شود لهذا ما بعالا . . . امرو مقرر میفر ما تم که بعد از زیارت حکم همایون و ورود عالیجاه مشارالیه در هریک ازو لایات و منازل جا و مکان شایسته خوب از برای عالیجاه مشارالیه معین و در کمال احترام و توقیر و مر اتب و مو اطلب عالیجاه مشارالیه بوده از کسی خلاف قاعده حرکتی نسبت بعالیجاه مشارالیه صادر و ناشی نشود در هر منازل و مکان مخوف تفکیچی و سواره همراه عالیجاه مشارالیه نموده سالمان بمنزل بر سانند و در هر حال احترام و توقیر اورالازم دانسته حسبه المقدار معمول . . . و تخلف و تجاوز از . . . حکم . . . شمول جائز ندانند و در عهده شناسند

تحريراً في شهر جمادی الثاني سنہ ۱۲۶۲

Ә. Ә. Сәидзәде

Бакыханов һагында бә'зи јени мә'lumatlar

#### ХУЛАСӘ

1845-чи илдә Бакыханов Русија һекуметинин ичазәси илә Мәккәни зијарәт етмәк үчүн Азәрбајҹандан чыхыб кетмишди. Лакин онун бу «зијарәти»нә 2 илә јаҳын бир ваҳт сәрф олунмушду. Иди мә'lум олур ки, о, ади зијарәтдән габаг Иран вә Түркијәдә олмуш вә ваҳтынын чохуну да. һәминиң сәјаһәтләре сәрф етмишdir.

Бакыхановун о ваҳткы һәјат вә фәалијәти һагында бизим мә'lumatымыз чох аз иди. Һәлә Иранда олдуғу барадә демәк олар ки, һеч бир мә'lumatымыз јох иди. Сен илләрдә биз Бакыхановун Иранда олmasына аид Иран шаһы Мәһәммәд Гачарын бир фәрманыны тапмышыг. Фәрман Бакыхановун Иранда олмасына даир чохлу мә'lumat верир.

Мәгаләдә, фәрманын мәтни олдуғу кими (фарс дилиндә) чап едил, мишdir.

\* Одно слово не разобрано. С.-3.

#### МҮНДӘРИЧАТ

##### Ријазијјат

С. Ж. Жагубов. Банах фәзасында һиперболик тип дифференциал тәнликләр	3
үчүн Коши мәсәләсүнин һәллүү	8
Р. А. Бајрамов. Ики нәэзәри-групп теорем	11
А. Ч. Чәбрајылов. Дифференциалланган функцияларын бә'зи хассаләри	11

##### Нефт вә газ јатагларынын ишләнилмәси

М. Т. Абасов, Ф. Н. Нәсәнов, Ф. Н. Оручәлиев. Газконденсат	14
гарышыгынын һәрәкәттөн дайр	21
Ш. Н. Элијев. Бору майләйинин ишлек акентий хүсуси сәрфнә тә'чири	21

##### Физика

Н. Б. Абдуллаев, Ж. Н. Нәсиров, Т. К. Османов. SnTe—Cu (As, Sb, Bi) Te <sub>2</sub> бәрк мәһлүлларынын термоелектрик хассаләринин тәдгиги	26
---	----

##### Електрокимја

З. И. Ашурлы, В. Г. Бабаев, М. Э. Бағыров, Ч. А. Фәтәлиев. Електрик бошалмасынын тә'чири илә пропиленин полимерләшмәси	29
--	----

##### Узи кимја

Н. М. Сејидов, С. М. Најберг, М. А. Далин. Етилен-пропилен еластомеринин хлорлашдырылмасы	34
---	----

##### Физики кимја

С. Э. Эләкбәрова, С. П. Чавадов, Ж. С. Никитин. Азәрбајҹан килләрниң бә'зиләrinин структур-сорбсија хүсусијәтләри	38
---	----

##### Литолокија

Ч. М. Сүлејмаев. Минкәчевир су һөвзәси диг чөкүтүләрниң кил, минералларынын јаялмасы вә кенезисин өјрәнилмәси һагында	43
---	----

##### Фајдалы газынтылар

А. Н. Сејидов, И. Ч. Элијев, М. Б. Хејиров. Азәрбајҹаның каолин јатагларында алюнитин олмасы һагында	46
--	----

##### Нефт қеолокијасы

Э. Ч. Элијев. Дарвин Банкасы—Күркән дәнизи антиклинал зонасынын Мәңсүлдар гатыны өртән чөкүтүләрдә нефт вә газ јатагларынын ахтарышлары мәсәләсүнә дайр	51
---	----

##### Мұнәндиси-кеолокија

Т. Э. Йсмајылов. Абшeron јарымадасында сүрүшмәләрни тәсніфаты на дайр	56
	93

## Бајтарлыг

- М. Г. Гәнијев, М. Ш. Гафаров. Көвшәјен һејванларын мә'дә өилүклөрнің карбамидин һәзмі . . . . . 61

## Микробиология

- М. Э. Мусајев, Ф. А. Абушев, С. Х. Јудитскаја. Виноградов, Иран, Кичик Асија гүм сичайлары вә аді тарла сичанының гараяра төрәдичи-сина һәссаслығы . . . . . 66

## Агрокимия

- Ф. Ахундов. Чәлтикалты баталашмыш торлагда фосфоруң чөврилмәсі . . . . . 69

## Биокимия

- Ә. К. Ахундов. Калиум күбрәләринин јашыл чај јарпағы кејфијеттің тәсирі . . . . . 73

## Тарих

- Л. М. Элијева, І. З. А. Тағыјевин тохучу фабрики фәhlәләринин сајы (1900—1916-чы илләр) . . . . . 78

- Р. Б. Тарвердиев. Азәрбајҹан ССР Исмаїллы рајону әразисиндең Чаваншир галасы нағында . . . . . 82

## Шәргшүнаслыгъ

- Сима Қәримзадә. Намә'lум һәккак вә хәттат Сејид Таһа вә Нәзири нағында . . . . . 86

## Тарих

- Ә. Э. Сәидзадә. Бакыханов нағында бә'зи јени мә'lumatлар . . . . . 90

## СОДЕРЖАНИЕ

### Математика

- С. Я. Якубов. Исследование задачи Коши для дифференциальных уравнений гиперболического типа в Банаховом пространстве . . . . . 3  
Р. А. Байрамов. Две теоретико-групповые теоремы . . . . . 8  
А. Д. Джабраилов. Некоторые свойства дифференцируемых функций . . . . . 11

### Разработка нефтяных и газовых месторождений

- М. Т. Абасов, Ф. Г. Гасанов, Ф. Г. Оруджалиев. О фильтрации газоконденсатной смеси . . . . . 14

- Ш. Н. Алиев. Влияние угла наклона подъемной трубы на показатели работы воздушного подъемника . . . . . 21

### Физика

- Г. Б. Абдуллаев, Я. Н. Насиров, Т. Г. Османов. Исследование термоэлектрических свойств некоторых твердых растворов SnTe — Cu (As, Sb, Bi) Te<sub>2</sub> . . . . . 26

### Электрохимия

- З. И. Ашурлы, В. Г. Бабаян, М. А. Багиров, Ч. А. Фатализаде. Полимеризация пропилена в электрическом разряде . . . . . 29

### Органическая химия

- Н. М. Сейдов, Ц. М. Найберг, М. А. Далин. Хлорирование этилен-пропиленового эластомера . . . . . 34

### Физическая химия

- С. А. Алексперова, С. П. Джавадов, Ю. С. Никитин. Структурно-сорбционная характеристика глин некоторых месторождений Азербайджанской ССР . . . . . 38

### Литология

- Д. М. Сүлеймәнов. К вопросу распределения и генезиса глинистых минералов в донных осадках Мингечеурского водохранилища . . . . . 43

### Полезные ископаемые

- А. Г. Сенцов, И. Д. Алиев, М. Б. Хеиров. О присутствии алюнита в каолиновых месторождениях Азербайджана . . . . . 46

### Геология нефти

- А. Д. Алиев. К вопросу поисков залежей нефти и газа в подстилающих продуктивную толщу отложениях антиклинальной зоны б. Дарвина — Гюргиены-море . . . . . 51

## Инженерная геология

- Т. А. Исмайлова. К вопросу типизации оползней Апшеронского полуострова . . . . . 56

## Ветеринария

- М. К. Ганиев, М. Ш. Кафаров. Метабализм карбамида в поджелудочках жвачных животных . . . . . 61

## Микробиология

- М. А. Мусаев, Ф. А. Абушев, С. Х. Юдицкая. Чувствительность песчанок (Виноградова, персидских и малоазийских) к полевок обычайенных к возбудителю сибирской язвы . . . . . 66

## Агрохимия

- Ф. Г. Ахундов. Превращение фосфора в болотной почве, занятой под культуру риса . . . . . 69

## Биохимия

- А. К. Ахундов. Влияние калия на качество зеленого чайного листа . . . . . 73

## История

- Л. М. Алиева. Численность рабочих бакинской текстильной фабрики Тагиева (1900—1916 гг.) . . . . . 78

- Р. Б. Тарвердиев. О крепости Джаванширкала на территории Исмаиллинского района Азербайджанской ССР . . . . . 82

## Востоковедение

- Сима Керим-заде. Неизвестный резчик устад Сейид Таха и каллиграф Назир . . . . . 86

## История литературы

- А. А. Сейд-заде. Некоторые новые данные о Бакиханове . . . . . 90

Подписано к печати 16/VI-1966. Формат бумаги 70×108<sup>1/16</sup>. Бум. лист. 3,00.

Печ. лист. 8,22. Уч.-изд. лист. 7,02. ФГ 05185. Заказ. 81.

Тираж 820. Цена 40 коп.

Типография «Наука» Комитета по печати при Совете Министров  
Азербайджанской ССР. Баку, Рабочий проспект, 96.